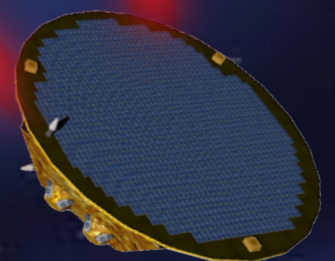


Cours LISA

Introduction à LISA

H. Halloin
07.01.2021



 Quelques mots sur les OG

 La science de LISA

 LISA Pathfinder

 Profil mission LISA

 Organisation LISA



Université de Paris



LISA France

Quelques mots sur les ondes gravitationnelles

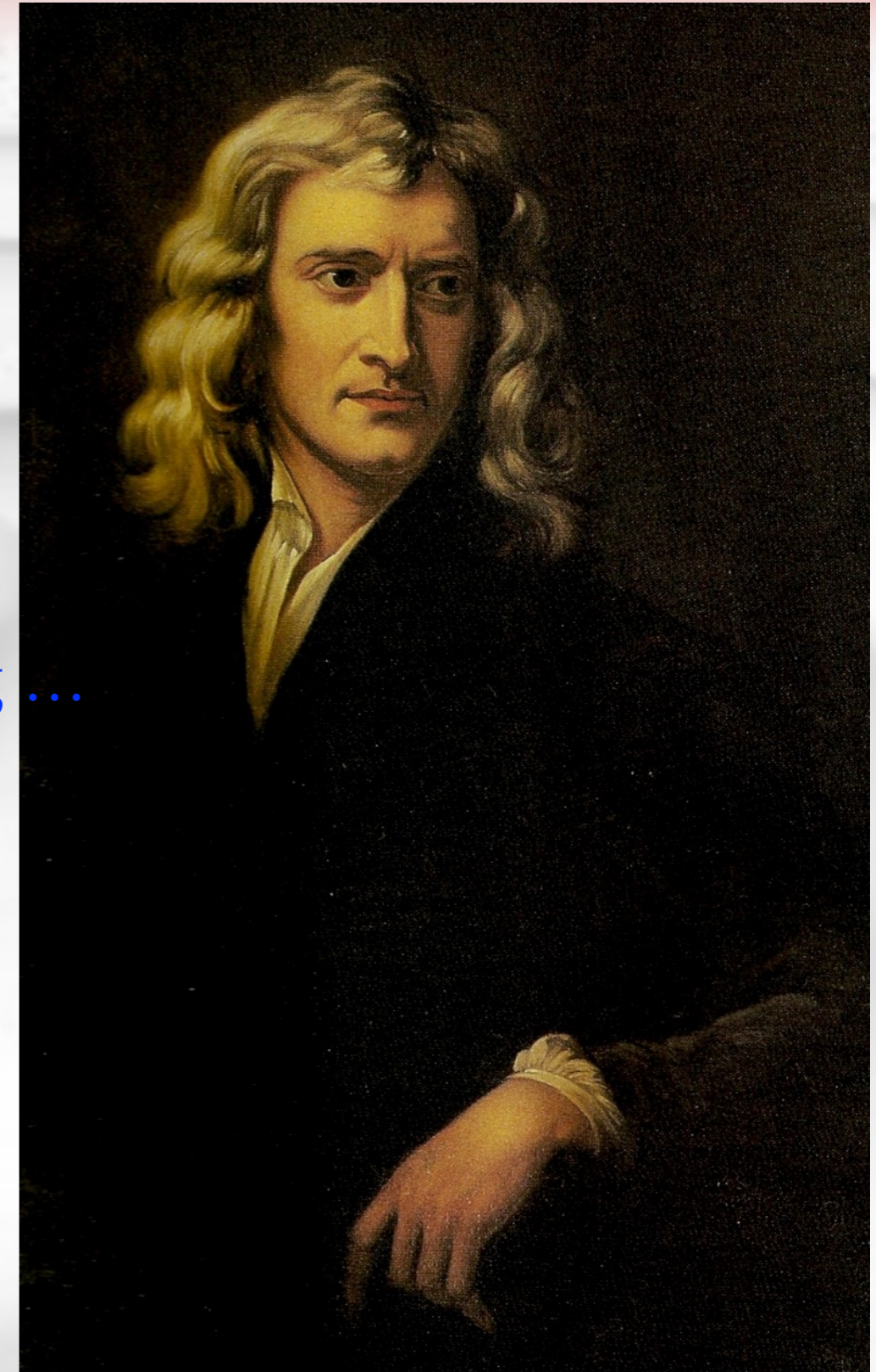
Some history ...

- 🌀 Isaac Newton (1687) : gravity is a instantaneous central force
- 🌀 conservation of energy,
- 🌀 separation of space and time,
- 🌀 orbit = ellipse repeated infinitely,
- 🌀 simple but precise theory,
- 🌀 idea of instantaneous force is disturbing ...


$$\nabla^2 \phi = 4\pi G \rho$$

Spatial fluctuations of
potential

Mass distribution



Some history ...

 Isaac Newton (1687) : gravity is a instantaneous central force

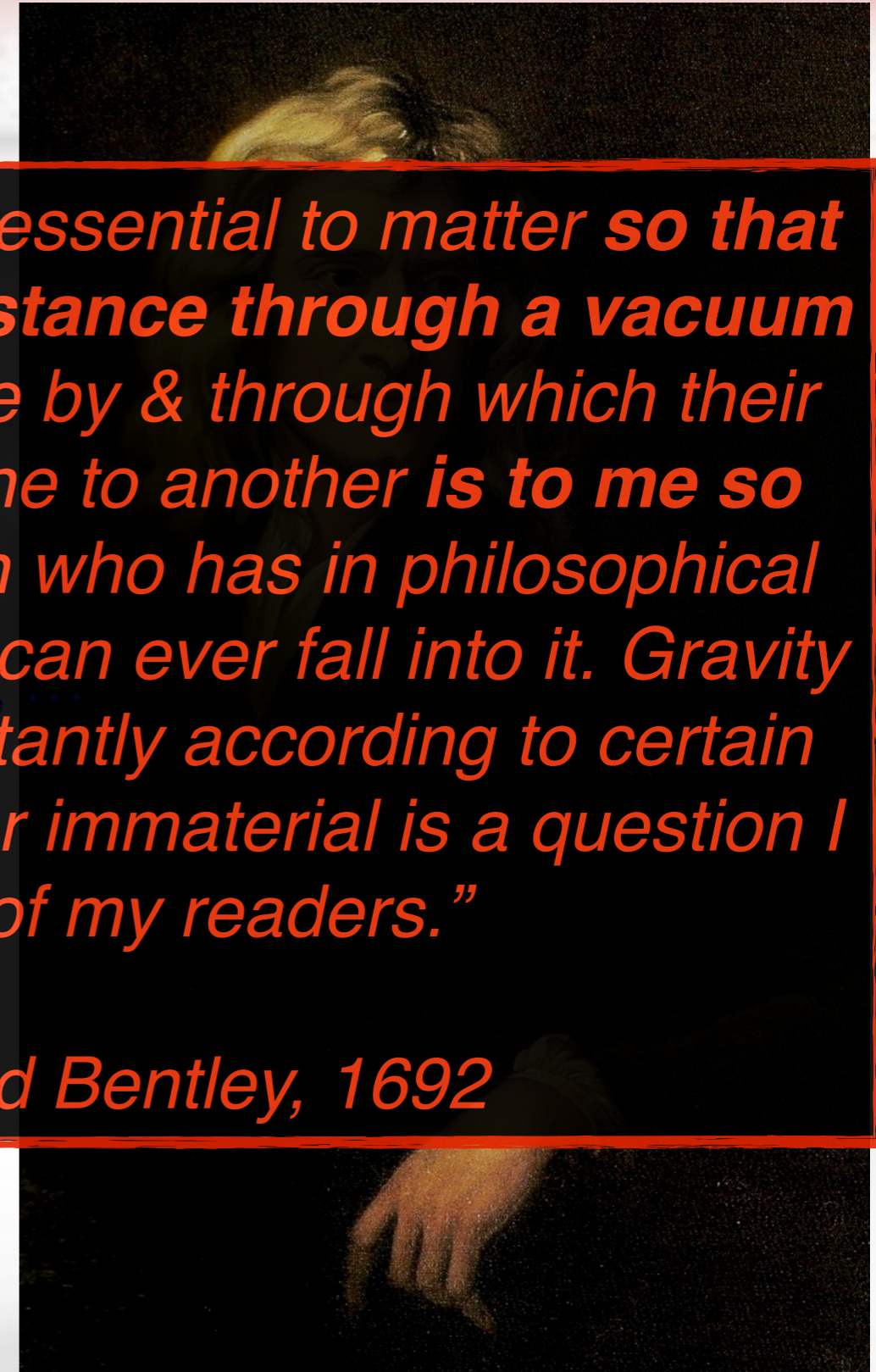
“That gravity should be innate inherent & essential to matter so that one body may act upon another at a distance through a vacuum without the mediation of any thing else by & through which their action or force may be conveyed from one to another is to me so great an absurdity that I believe no man who has in philosophical matters any competent faculty of thinking can ever fall into it. Gravity must be caused by an agent acting constantly according to certain laws, but whether this agent be material or immaterial is a question I have left to the consideration of my readers.”




$$\nabla^2 \phi = 4\pi G \rho$$

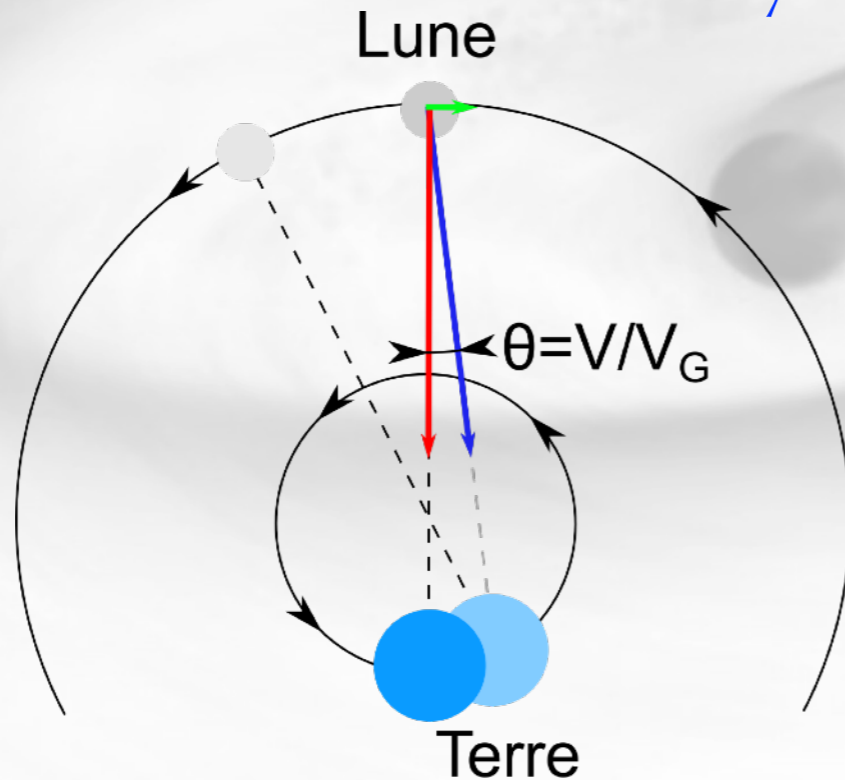
Isaac Newton, Letter to Richard Bentley, 1692

Spatial fluctuations of potential

Mass distribution



-  Pierre Simon de Laplace (1805) : What if gravity is not instantaneous ?
 -  dissipation of energy ("friction")
 -  incompatible with observational constraints
good intuition but bad theory !



$$\nabla^2 \phi - \frac{1}{c^2} \frac{\partial^2 \phi}{\partial t^2} = 4\pi G \rho$$

Spatial and time fluctuations of potential (waves !)



🌐 Pierre Simon de Laplace (1805) : What if gravity is not instantaneous ?

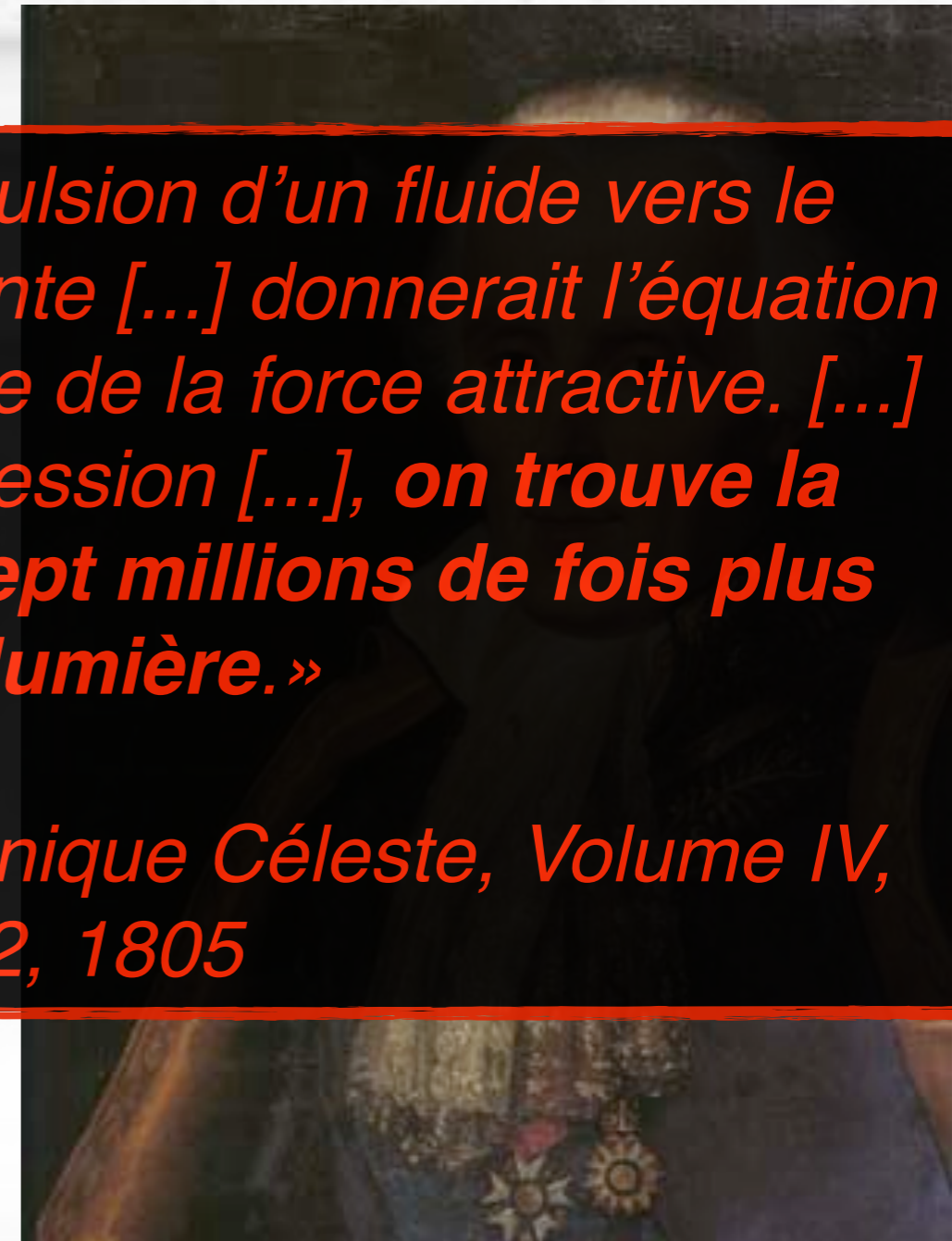
« Si la gravitation était produite par l'impulsion d'un fluide vers le centre du corps attirant, l'analyse précédente [...] donnerait l'équation séculaire due à la transmission successive de la force attractive. [...] En appliquant les nombres à cette expression [...], on trouve la vitesse du fluide gravifique environ sept millions de fois plus grande que celle de la lumière. »

Pierre Simon de Laplace, Traité de Mécanique Céleste, Volume IV, Livre X, Paragraphe 22, 1805





Terre

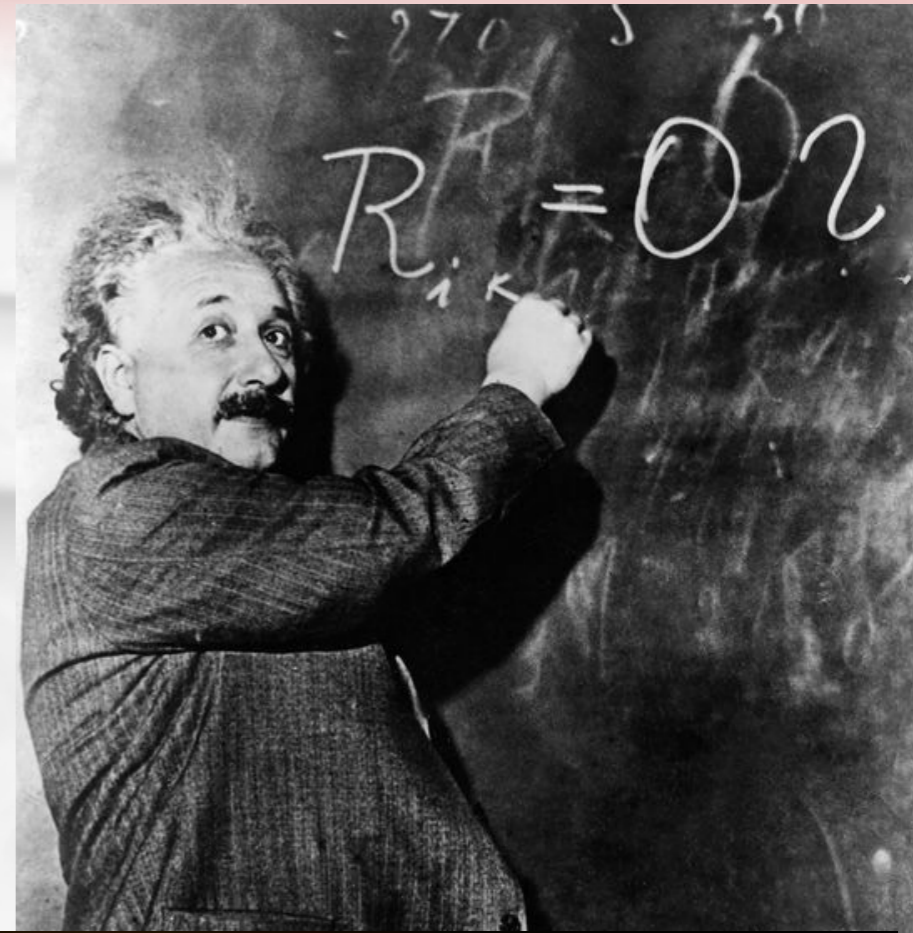
$$\nabla^2 \phi - \frac{1}{c^2} \frac{\partial^2 \phi}{\partial t^2} = 4\pi G \rho$$

Spatial and time fluctuations of potential (waves !)



 Albert Einstein (1915) : Gravity is not a force ...

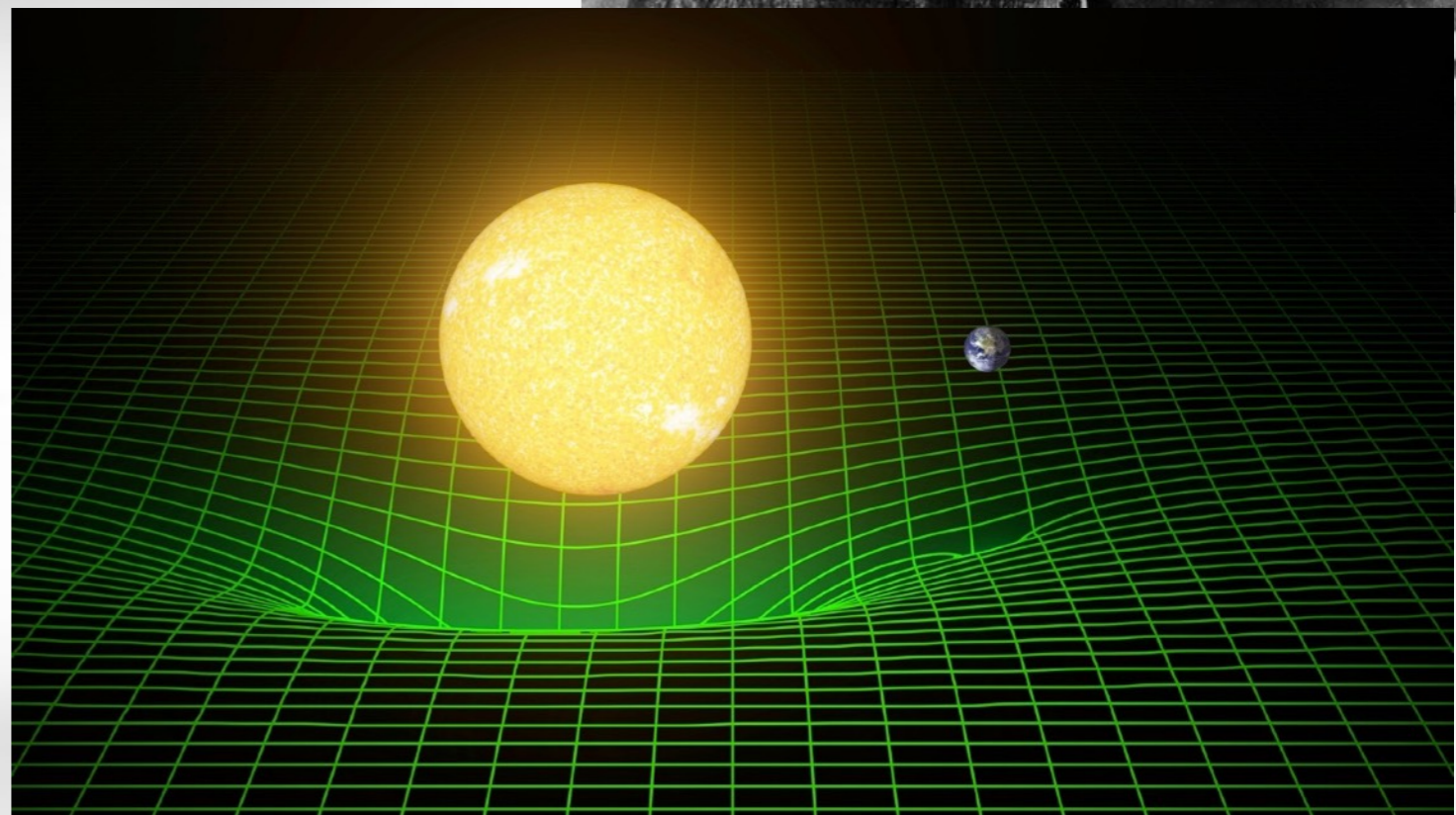
-  Mass deforms geometry of space-time.
-  Bodies are moving in a curved space.
-  Gravitational information propagates at the speed of light.
-  Dissipation of energy through deformation of space-time => gravitational waves



$$G_{\mu\nu} = \frac{8\pi G}{c^4} T_{\mu\nu}$$

Geometry
of space-time

Energy
distribution



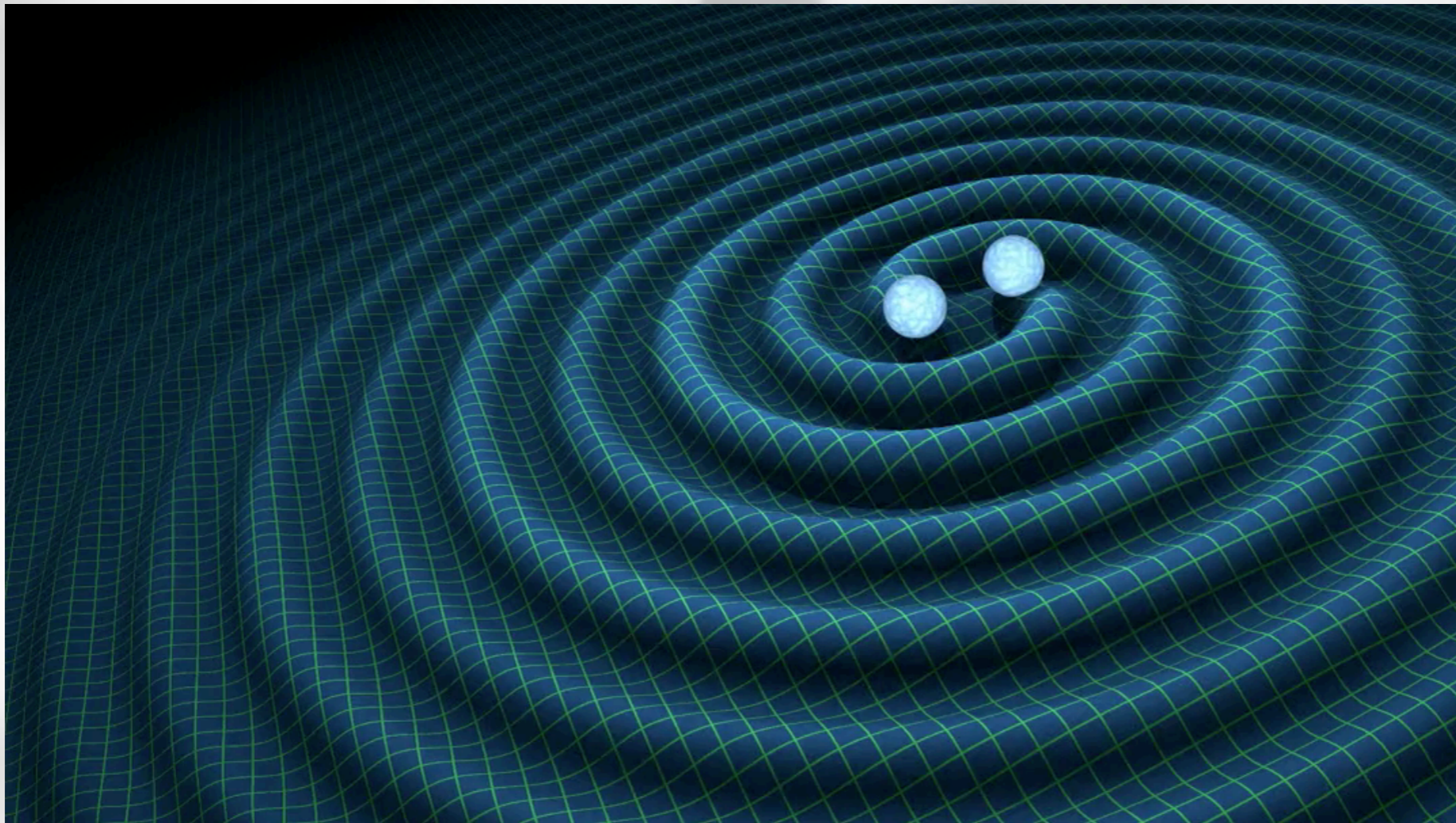
Gravitational waves ?

What are GW ?

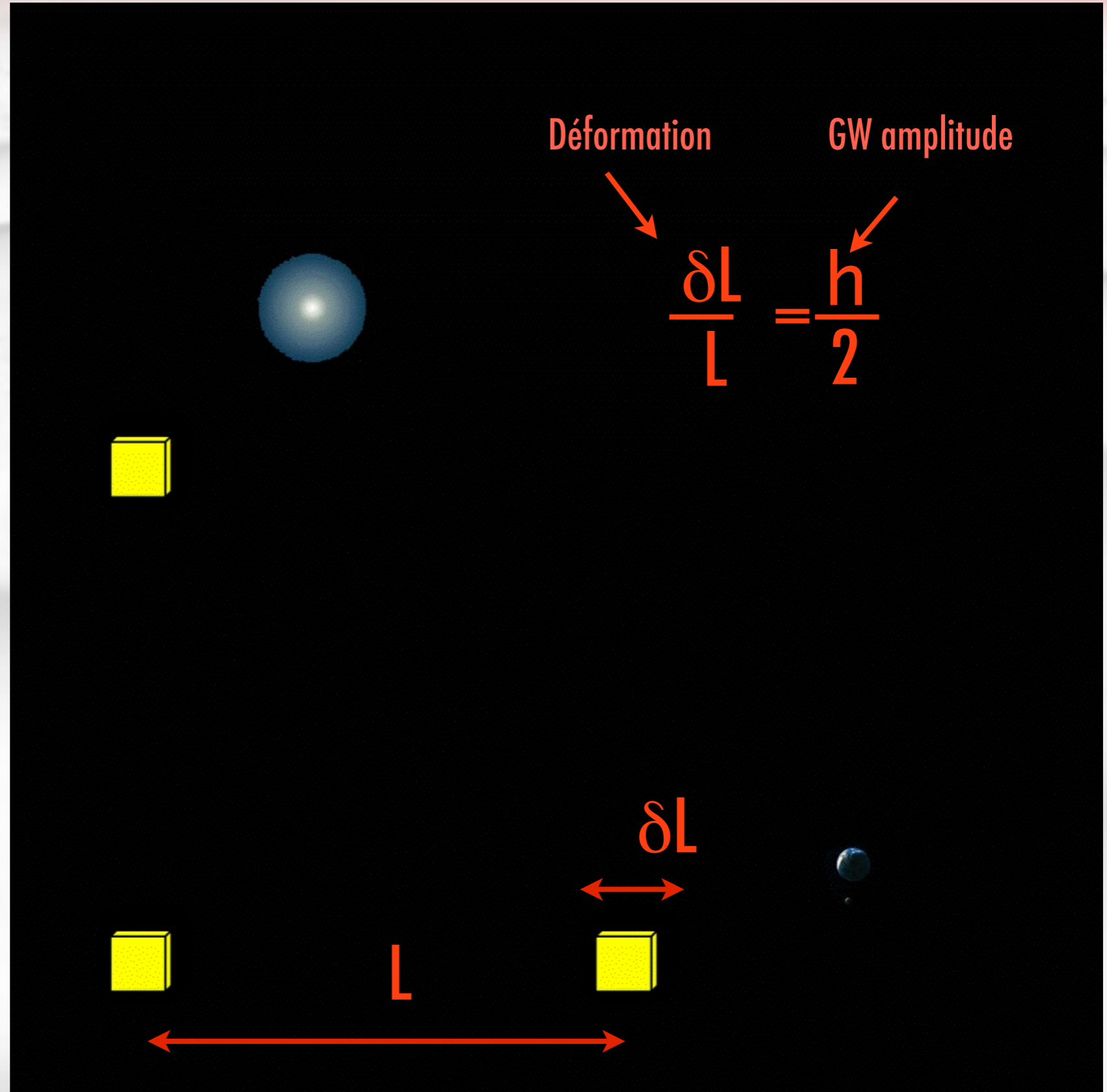
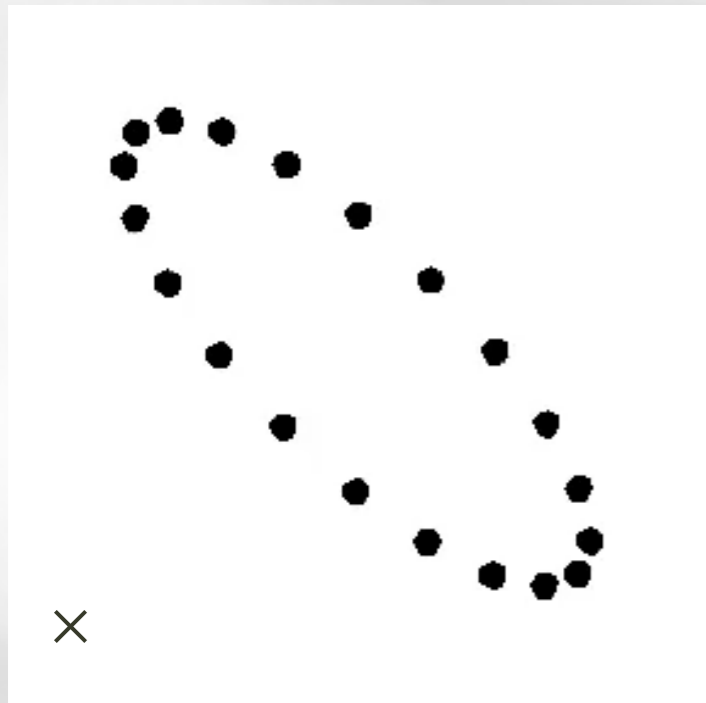
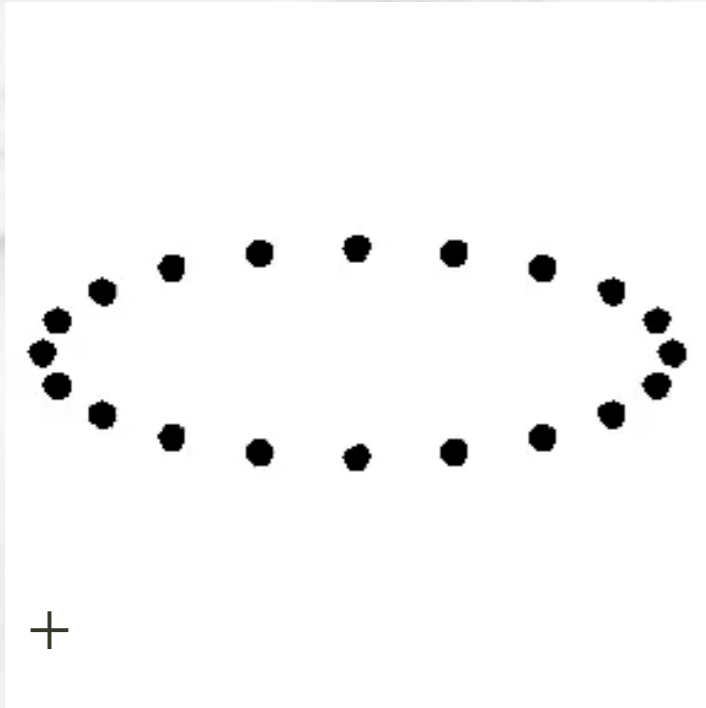
- The GW are elastic deformations of the space-time metric
- Transverse, quadrupole waves
- Observational effect : Variation of the light-distance between 2 masses at rest.

Requires non spherical acceleration of massive objects

- No GW emission : isolated bodies, even rotating
- GW emission : binary systems, asymmetric star explosion /core collapse, etc.



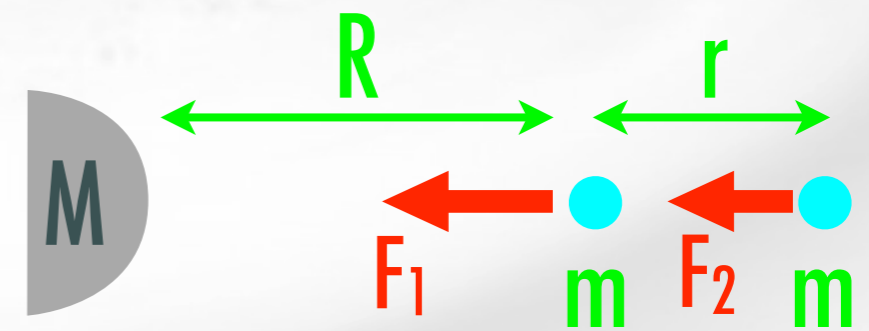
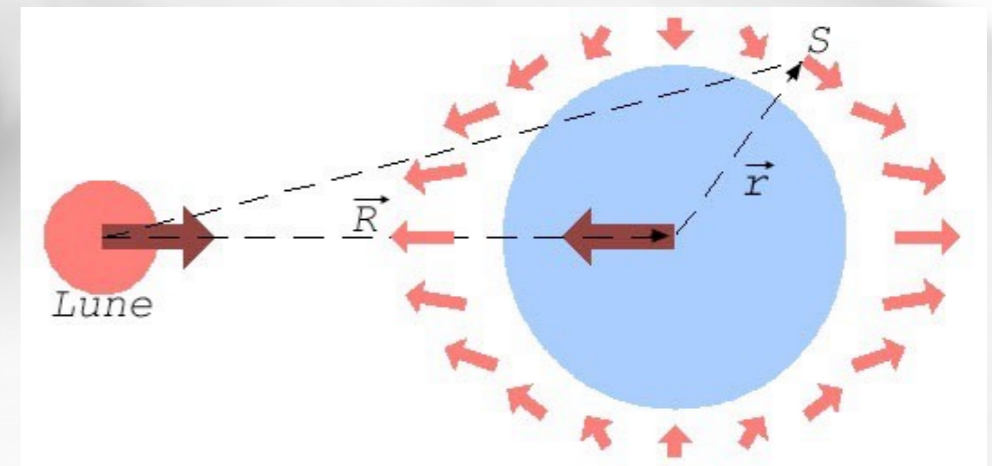
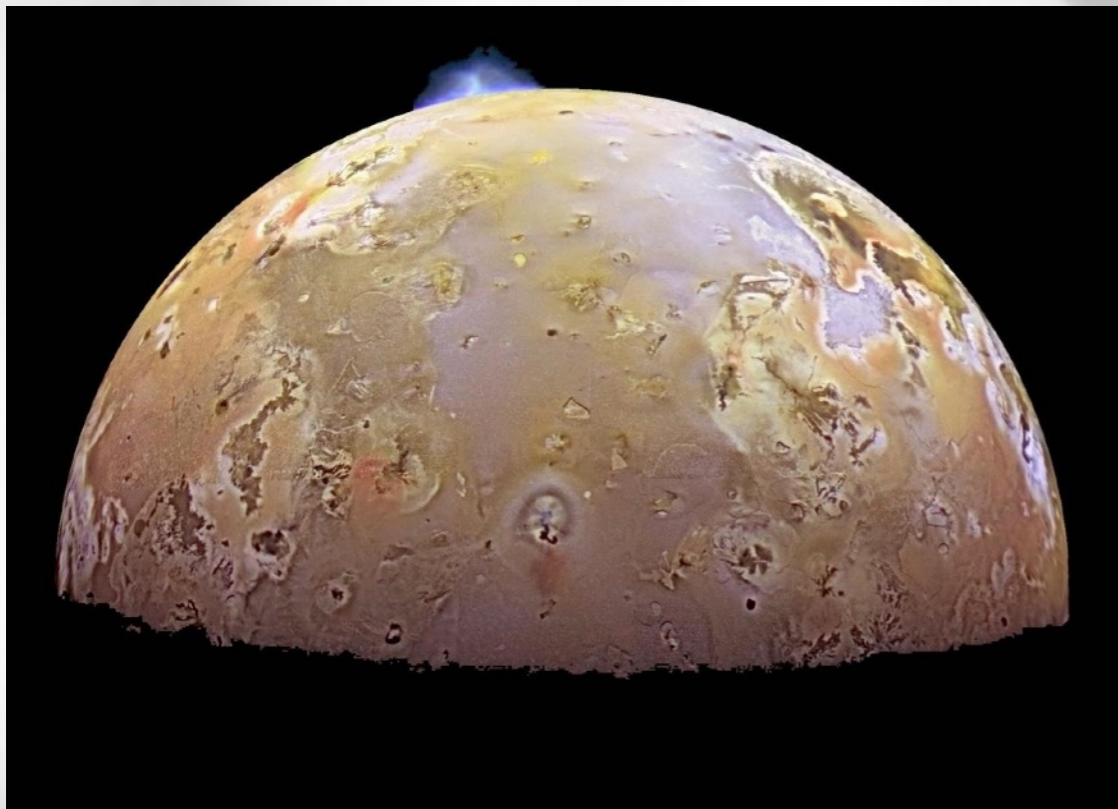
Gravitational waves ?



Ne pas confondre les ondes gravitationnelles avec :

Les forces de marée / gradient de gravité :

- différence d'attraction gravitationnelle en fonction de la distance à la masse centrale
- explique les marées, l'aplatissement terrestre, les volcans d'Io et le pointage de certains satellites

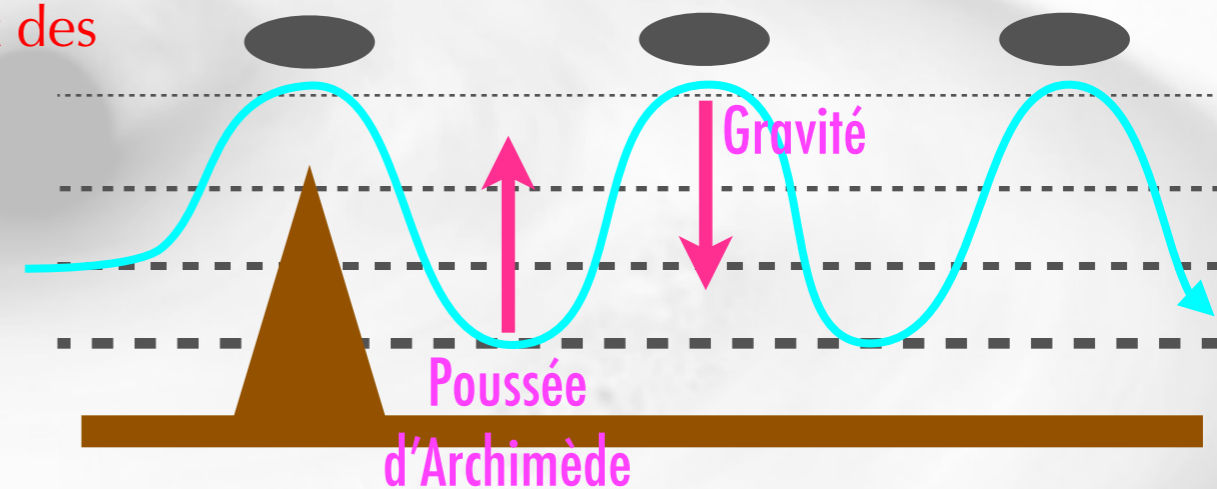


$$\Delta F = F_1 - F_2 \approx GMm \frac{2r}{R^3}$$

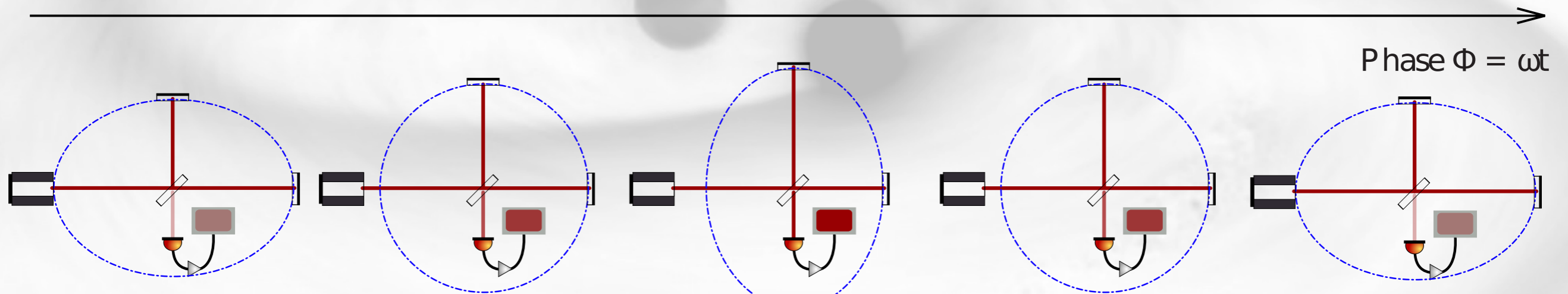
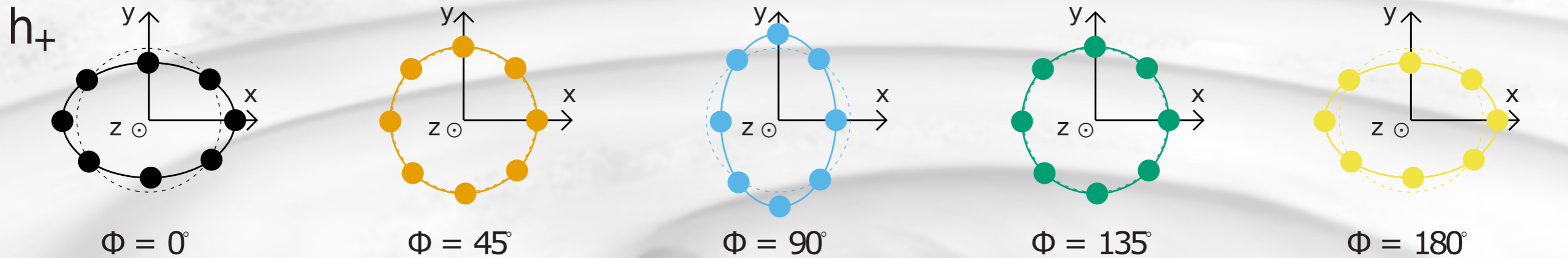
Ne pas confondre les ondes gravitationnelles avec :

Les ondes de gravité

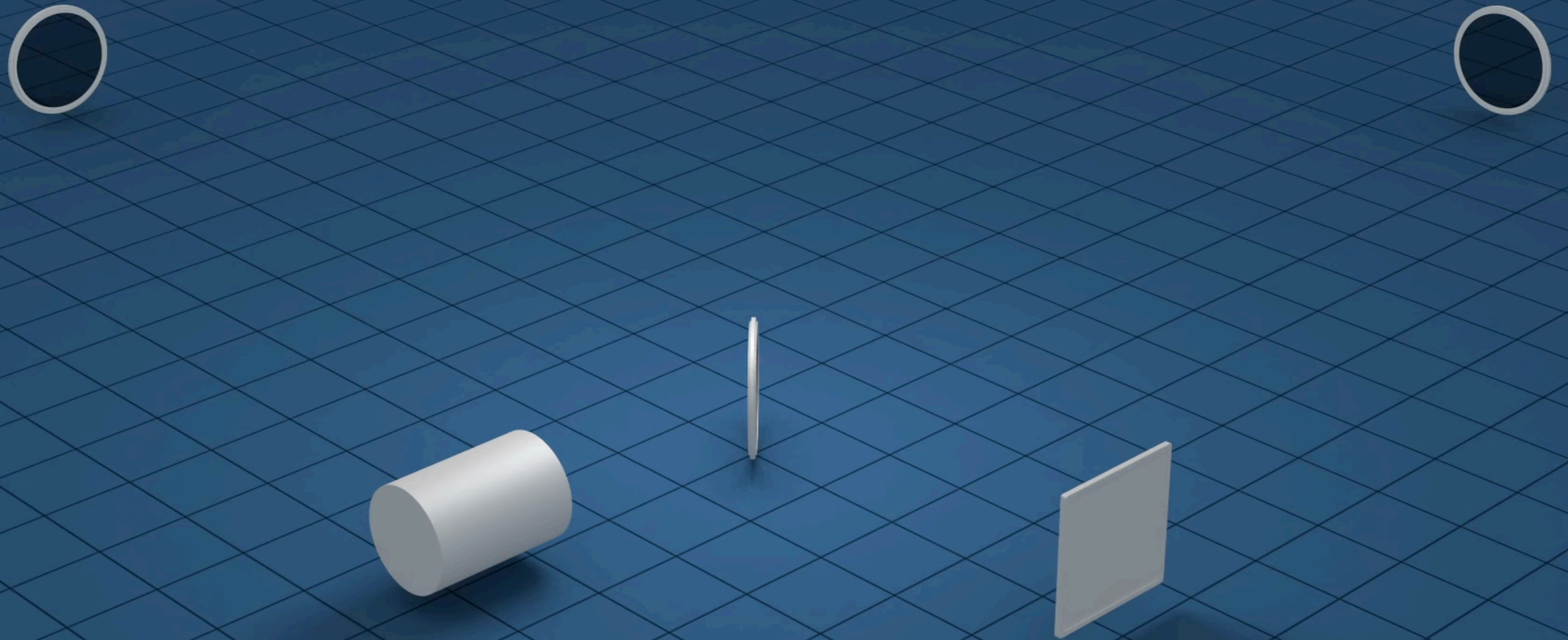
- Oscillations périodiques dans (ou à la surface) d'un fluide lorsque la force de rappel est la gravité (analogue au rappel exercé par un ressort)
- Responsables de la houle, de courants atmosphériques ascendants / descendants et des oscillations de certaines étoiles




Interferometric detectors



Interferometric detectors



Pour fixer les idées ...


 Considérons une source de masse M , soumise à une vitesse v (composante non sphérique), observée à une distance r

amplitude de la déformation observée :

G : constante de gravitation ($\approx 6,7 \cdot 10^{-11} \text{ m}^3 \cdot \text{kg}^{-1} \cdot \text{s}^{-2}$)

c : vitesse de la lumière ($\approx 3 \cdot 10^8 \text{ m} \cdot \text{s}^{-1}$)

$$h = 2 \frac{\delta L}{L} \approx \frac{2GMv^2}{rc^4}$$

3x distance Terre-Lune

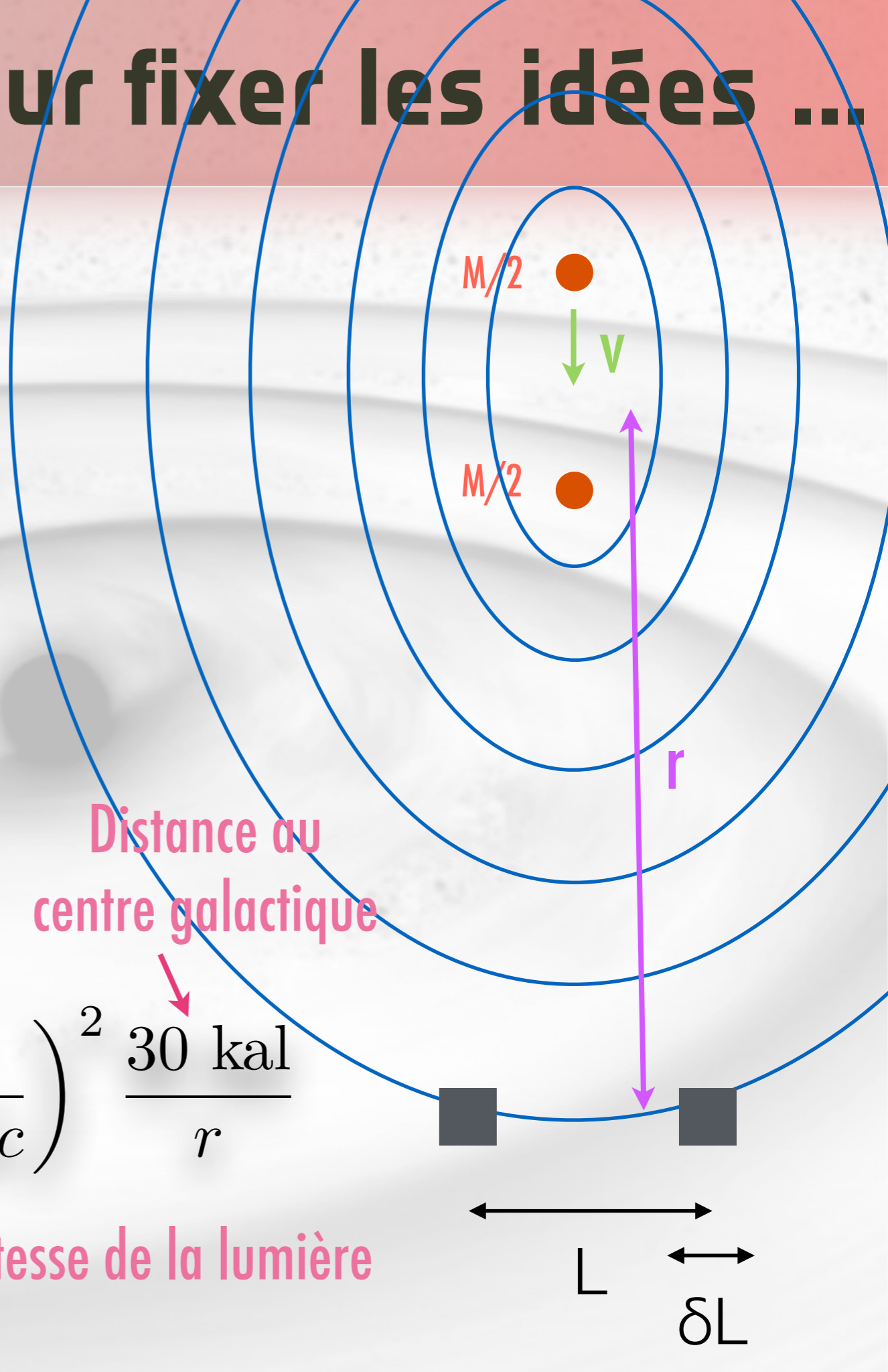
Distance au centre galactique

$$\approx 1 \text{ pm/Mkm} \frac{M}{M_{\text{Soleil}}} \left(\frac{v}{0,01c} \right)^2 \frac{30 \text{ kal}}{r}$$

Diamètre

d'un atome / 100

1% vitesse de la lumière



Pour fixer les idées ...

Considérons une source de masse M , soumise à une vitesse v (composante non sphérique), observée à une distance r

Les sources possibles doivent donc être :

- ✓ très rapides (proches de la vitesse de la lumière)
- ✓ très massives (donc denses)
- ✓ proches ?

amplitude de la déformation observée :

G : constante de gravitation ($\approx 6.67 \times 10^{-11} \text{ m}^3 \text{ kg}^{-1} \text{ s}^{-2}$)

c : vitesse de la lumière ($\approx 3 \cdot 10^8 \text{ m.s}^{-1}$)

$$h = 2 \frac{\delta L}{L} \approx \frac{2GMv^2}{rc^4}$$

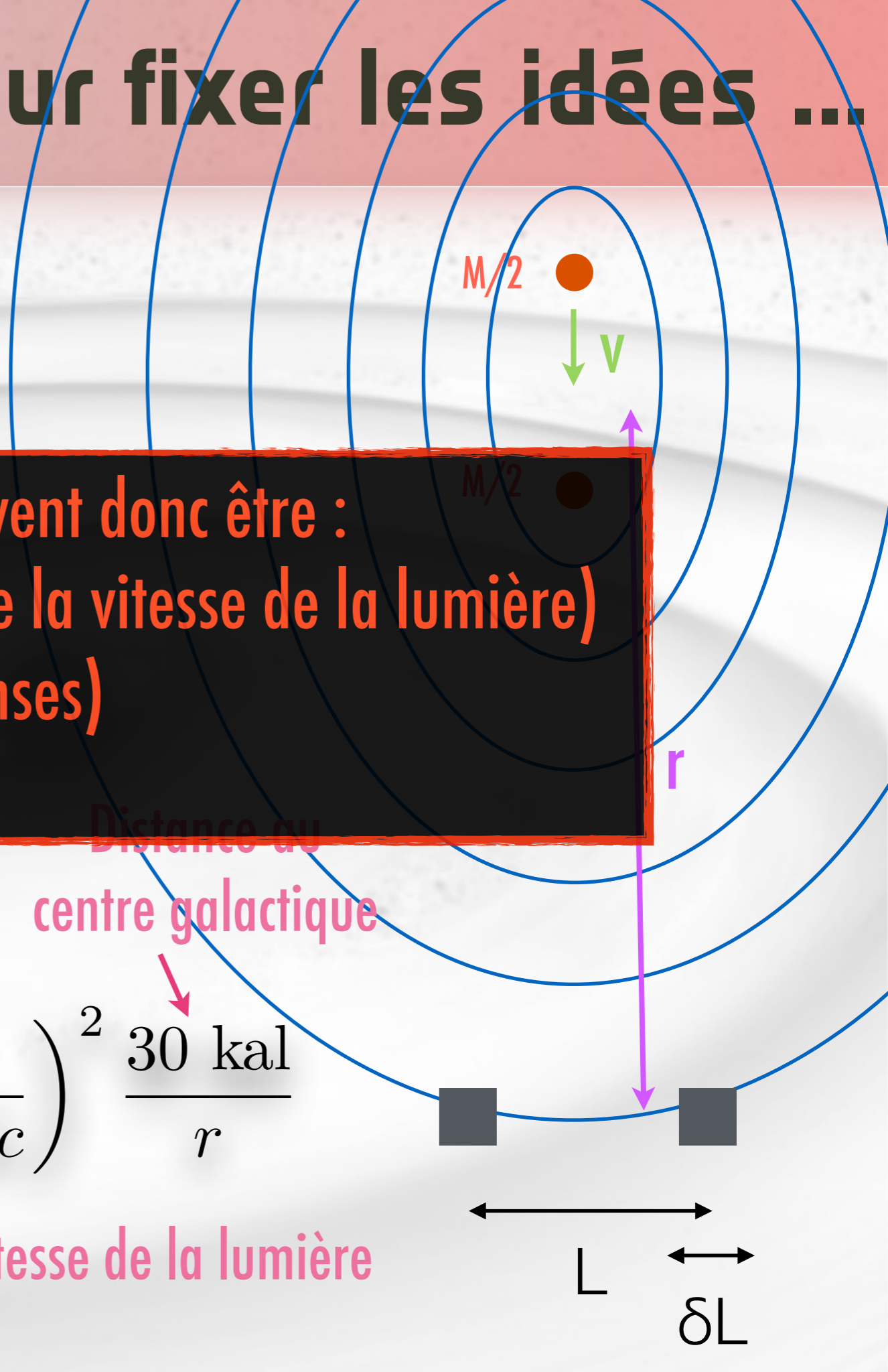
$$\approx 1 \text{ pm/Mkm} \frac{M}{M_{\text{Soleil}}} \left(\frac{v}{0,01c} \right)^2 \frac{30 \text{ kal}}{r}$$

Diamètre d'un atome / 100

5x distance Terre-Lune

Distance au centre galactique

1% vitesse de la lumière



$M/2$

v

$M/2$

r

L

δL

Existe-t-il des sources observables ?

Des sources artificielles (humaines) détectables sur Terre ?

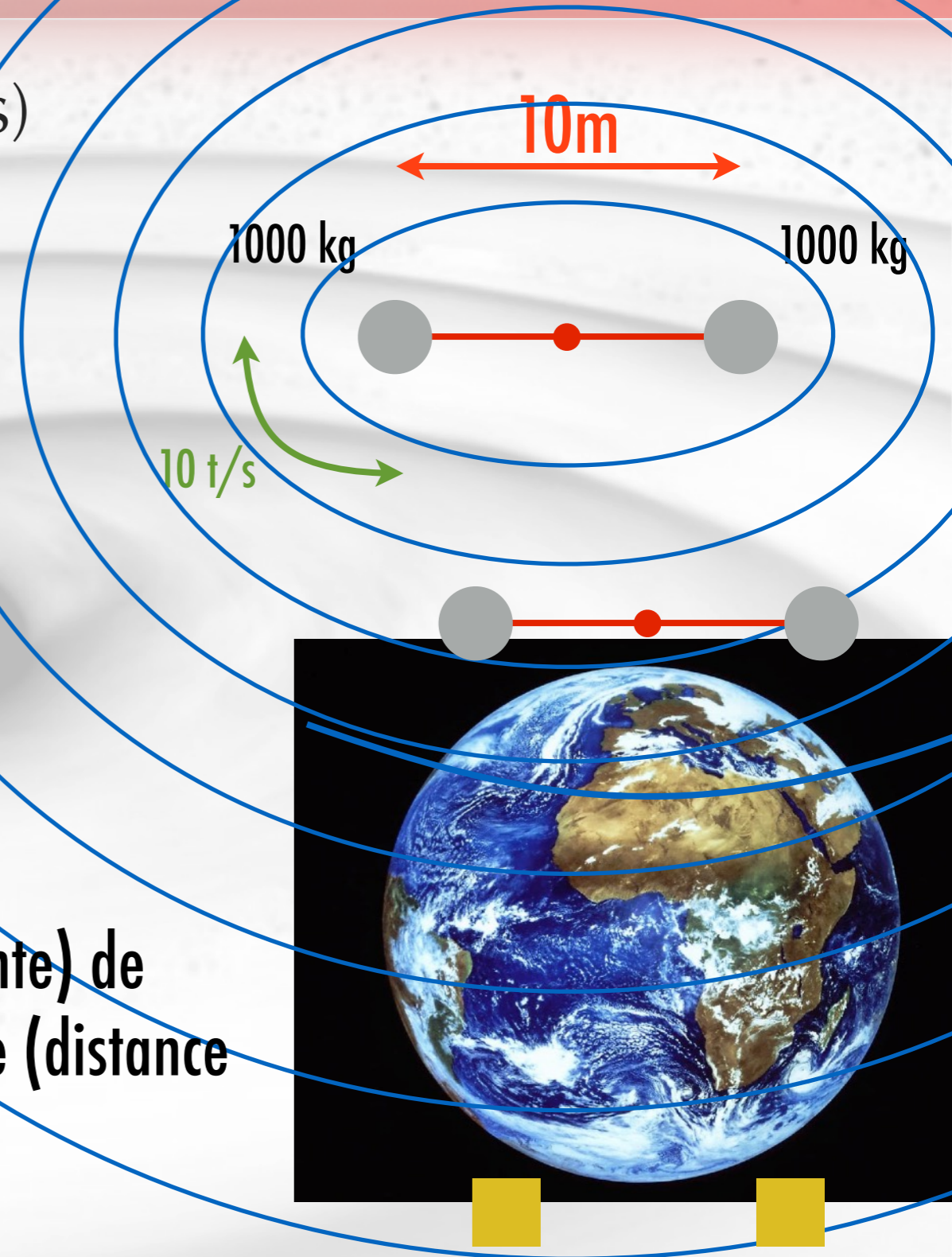
considérons l'expérience (extrême) suivante :
2 masses de 1t chacune sur un bras de 10m tournant à 10 tours/s.

La période de l'onde gravitationnelle créée est de 0,05 s, soit une longueur d'onde de 15 000 km (~diamètre de la Terre)

Supposons un détecteur de longueur (équivalente) de 1000 km à une distance d'une longueur d'onde (distance minimale)

$$\delta L \approx 5 \cdot 10^{-37} \text{ m !}$$

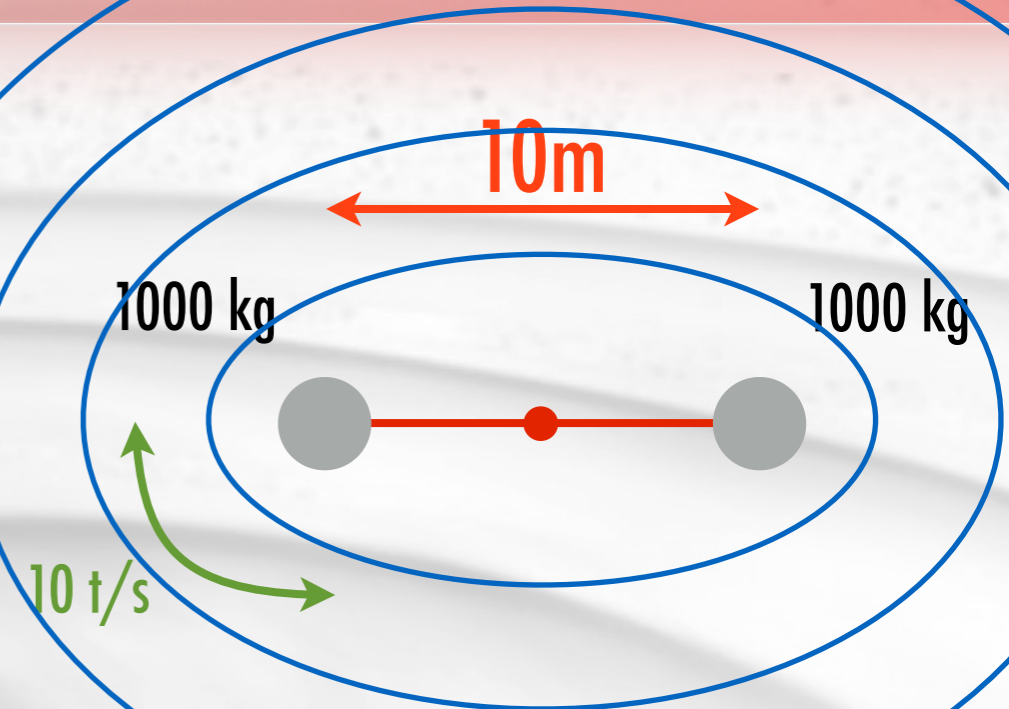
↑
Longueur de Planck / 100



Existe-t-il des sources observables ?

Des sources artificielles (humaines) détectables sur Terre ?

considérons l'expérience (extrême) suivante :
2 masses de 1t chacune sur un bras de 10m tournant à 10 tours/s.



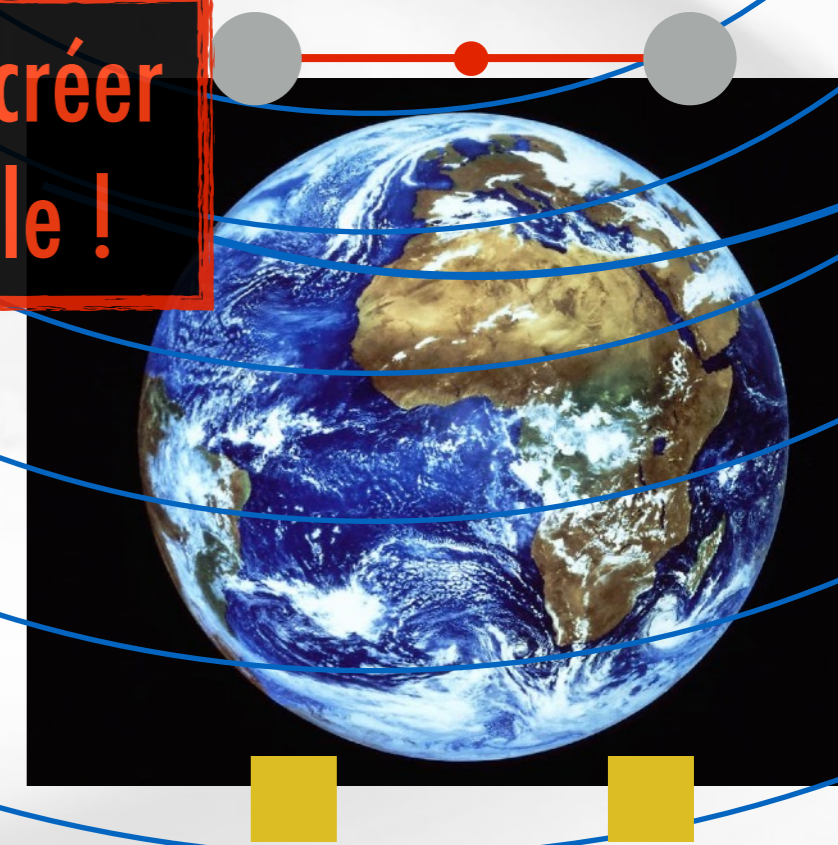
La période de l'onde gravitationnelle est de 0,05 s, soit une longueur d'onde de 1500 km (~diamètre de la Terre)

Aucune activité humaine ne peut créer d'onde gravitationnelle détectable !

Supposons un détecteur de longueur (équivalente) de 1000 km à une distance d'une longueur d'onde (distance minimale)

$$\delta L \approx 5 \cdot 10^{-37} \text{ m !}$$

↑ Longueur de Planck / 100



Existe-t-il des sources observables ?

Et des source astrophysiques ?

soumise à la gravité un système de taille R atteint une vitesse typique v

$$v \approx \sqrt{\frac{GM}{R}}$$

un objet astrophysique est relativiste si sa vitesse est proche de c :

$$v \lesssim c \Leftrightarrow \kappa = \left(\frac{v}{c}\right)^2 = \frac{GM}{Rc^2} \lesssim 1 \quad \kappa = \text{compacité}$$

amplitude et fréquence de l'onde :

$$h \approx 2\kappa \frac{GM}{rc^2} \approx \boxed{10 \text{ pm/Mkm}} \frac{M}{M_{\text{Soleil}}} \frac{30 \text{ kal}}{r} \frac{\kappa}{0,001}$$

$$f \approx \sqrt{\frac{G\rho}{\pi}} \approx \boxed{2 \text{ Hz}} \frac{M_{\text{Soleil}}}{M} \left(\frac{\kappa}{0,001}\right)^{3/2} \quad \rho = 3M/(4\pi R^3) : \text{densité moyenne de la source}$$

Existe-t-il des sources observables ?

Et des source astrophysiques ?

soumise à la gravité un système de taille R atteint une vitesse typique v

$$v \approx \sqrt{\frac{GM}{R}}$$

- ✓ Les objets astrophysiques sont les seules sources observables d'ondes gravitationnelles
- ✓ Il faut des objets très massifs et très denses (relativistes)
- ✓ Les ondes gravitationnelles permettent «d'entendre» des objets très lointains
- ✓ Les ondes gravitationnelles couvrent un domaine de fréquences très large
($M \sim 1 - 10^9 M_{\text{Soleil}}$, $\kappa \sim 0 - 1$)

$$h \approx 2\kappa \frac{GM}{rc^2} \approx \frac{10^{-21}}{M_{\text{Soleil}}} \frac{M}{r} \frac{\kappa}{0,001}$$

Les effets sont toujours faibles !!

$$f \approx \sqrt{\frac{G\rho}{\pi}} \approx \boxed{2 \text{ Hz}} \frac{M_{\text{Soleil}}}{M} \left(\frac{\kappa}{0,001} \right)^{3/2}$$

$\rho = 3M/(4\pi R^3)$: densité moyenne de la source

❁ Question difficile en RG : les ondes gravitationnelles transportent-elles effectivement de l'énergie ?

❁ réponse définitive dans les années 50 et 60 : oui .. et cette énergie est importante !

❁ Luminosité pour un système gravitationnel de masse M et taille R :

$$L \lesssim \frac{\pi c^5}{G} \cdot \kappa^5 \approx \boxed{10^{38} \text{ W}} \left(\frac{\kappa}{0,001} \right)^5$$

❁ $10^{38} \text{ W} \approx 7 \cdot 10^{11} L_{\text{soleil}}$! : un système compact peut perdre énormément d'énergie par émissions d'ondes gravitationnelles

❁ Flux reçu au niveau de la terre (distance r) :

$$F \lesssim \boxed{0,1 \text{ mW/m}^2} \left(\frac{\kappa}{0,001} \right)^5 \left(\frac{30 \text{ kal}}{r} \right)^2$$

$$\lesssim \boxed{3 \text{ mW/m}^2} \left(\frac{h}{10 \text{ pm/Mkm}} \right)^2 \left(\frac{f}{10 \text{ Hz}} \right)^2$$

- Question difficile en RG : les ondes gravitationnelles transportent-elles effectivement de l'énergie ?
 - réponse définitive dans les années 50 et 60 : oui .. et cette énergie est importante !

- Luminosité pour un système gravitationnel de masse M et taille R :
 - La dissipation d'énergie par ondes gravitationnelles peut être très efficace et affecte la dynamique du système
 - La coalescence d'un système binaire compact peut être la source la plus «brillante» du ciel (flux reçu de la pleine lune $\approx 3 \text{ mW/m}^2$, Sirius $\approx 0,1 \text{ }\mu\text{W/m}^2$)
 - Il faut une énergie considérable pour une déformation infinitésimale : l'espace-temps est extrêmement rigide ...

$$F \lesssim 0,1 \text{ mW/m}^2 \left(\frac{\kappa}{0,001} \right)^5 \left(\frac{30 \text{ kal}}{r} \right)^2$$

$$\lesssim 3 \text{ mW/m}^2 \left(\frac{h}{10 \text{ pm/Mkm}} \right)^2 \left(\frac{f}{10 \text{ Hz}} \right)^2$$

Quelques exemples

Paramètres	Binaire de naines blanches (quasi-monochromatique)	Binaire de naines blanches (à la coalescence)	Binaire d'étoiles à neutrons	Binaire de trous noirs stellaires	Binaire de trous noirs super-massifs
compacité κ [1]	10^{-5}	0,01	0,15	0,5	0,5
Masse M [M_{Soleil}]	0,5	0,5	2,8	20	$2 \cdot 10^6$
Distance [Ma]	0,03	0,03	66	3	22 000 ($z \approx 1$)
amplitude h [pm/Mkm]	0,05	50	2	1 000	14 000
fréquence [Hz]	0,004	100	1 200	1 000	0,01
Temps d'évolution	$2 \cdot 10^6$ années	1 ms	10 ms	0,5 ms	50 s

Ground based detectors


 LIGO : 4 km long arms

Hanford, Washington

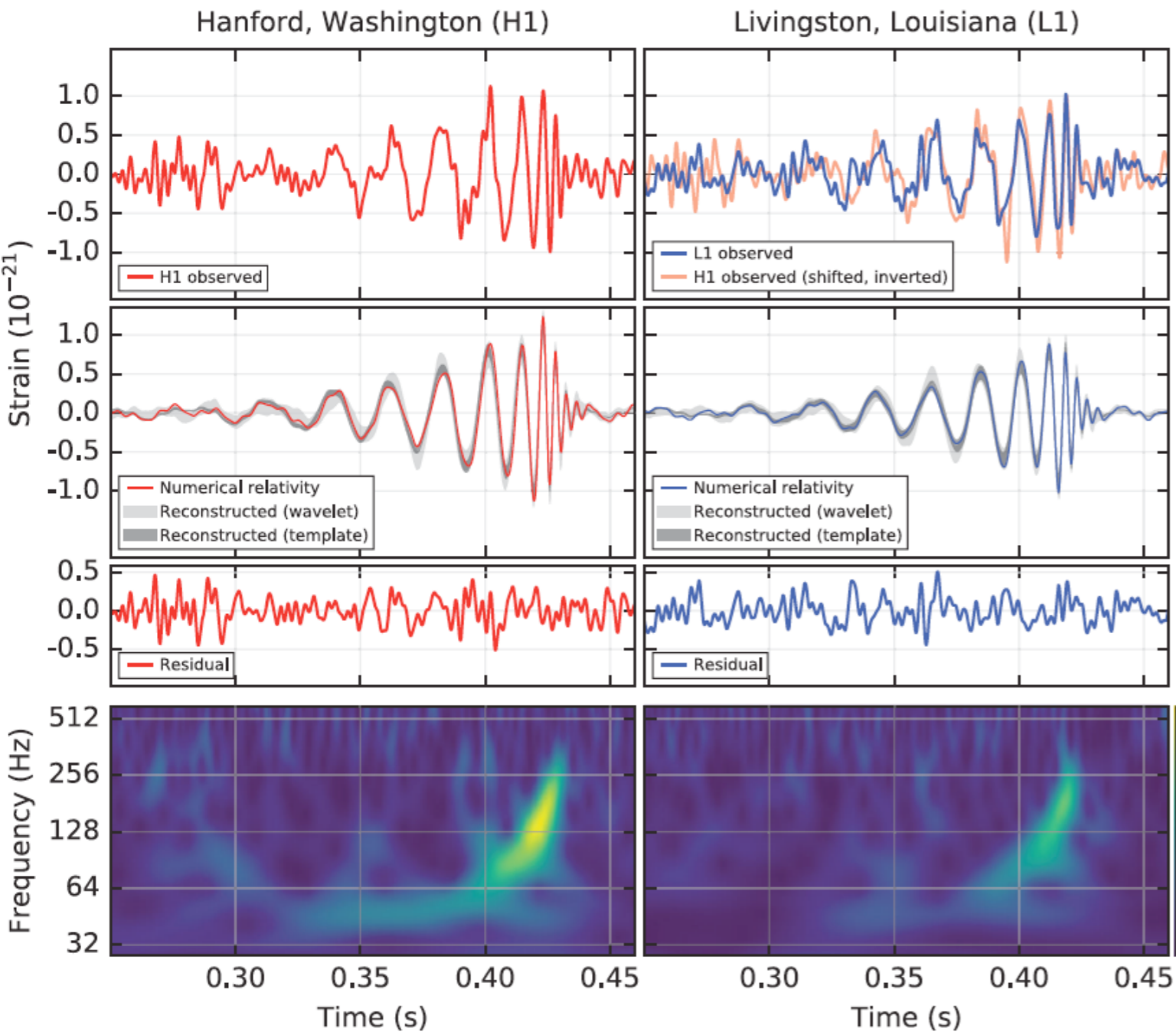


Livingston, Louisiane

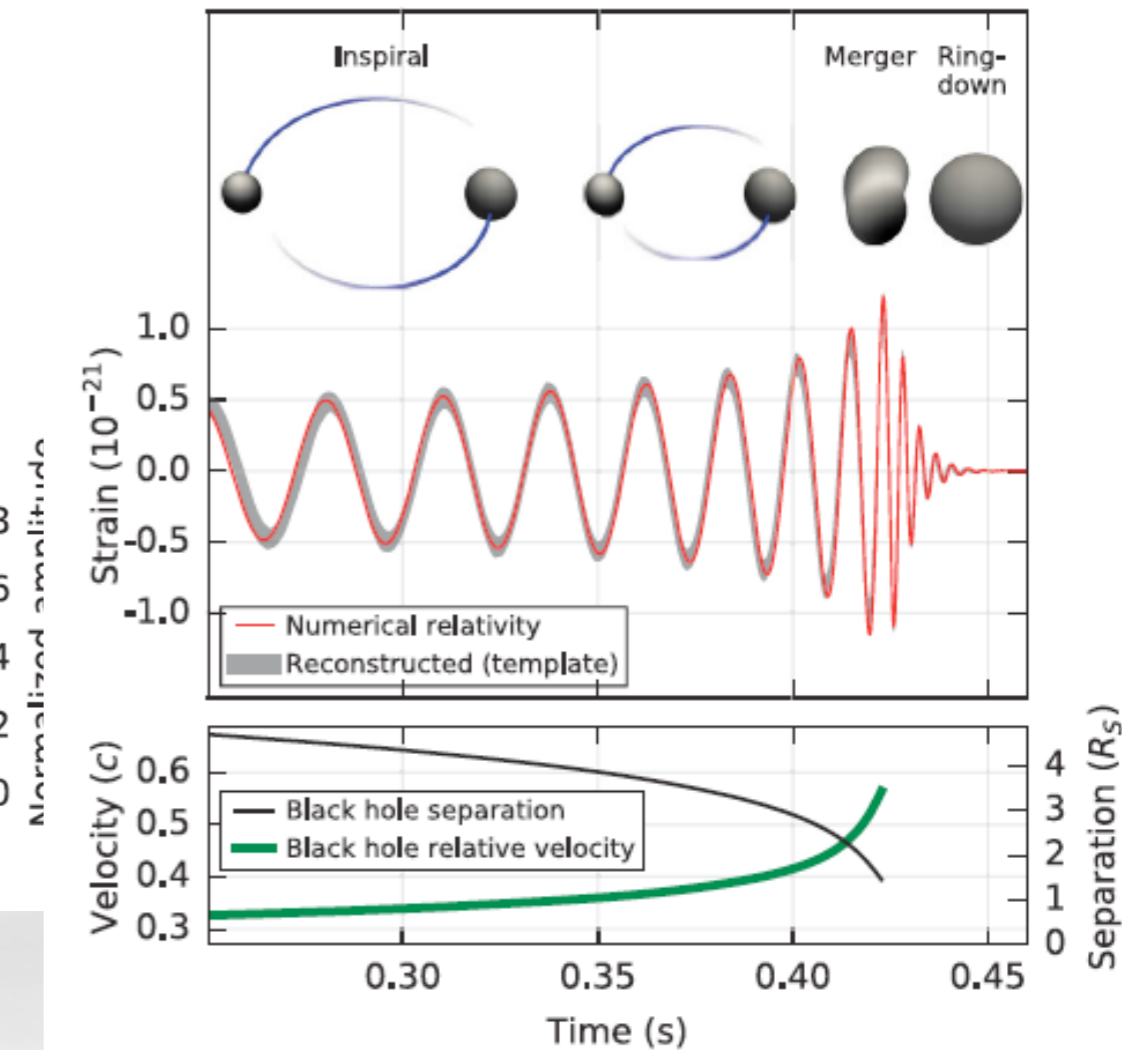
Ground based detectors

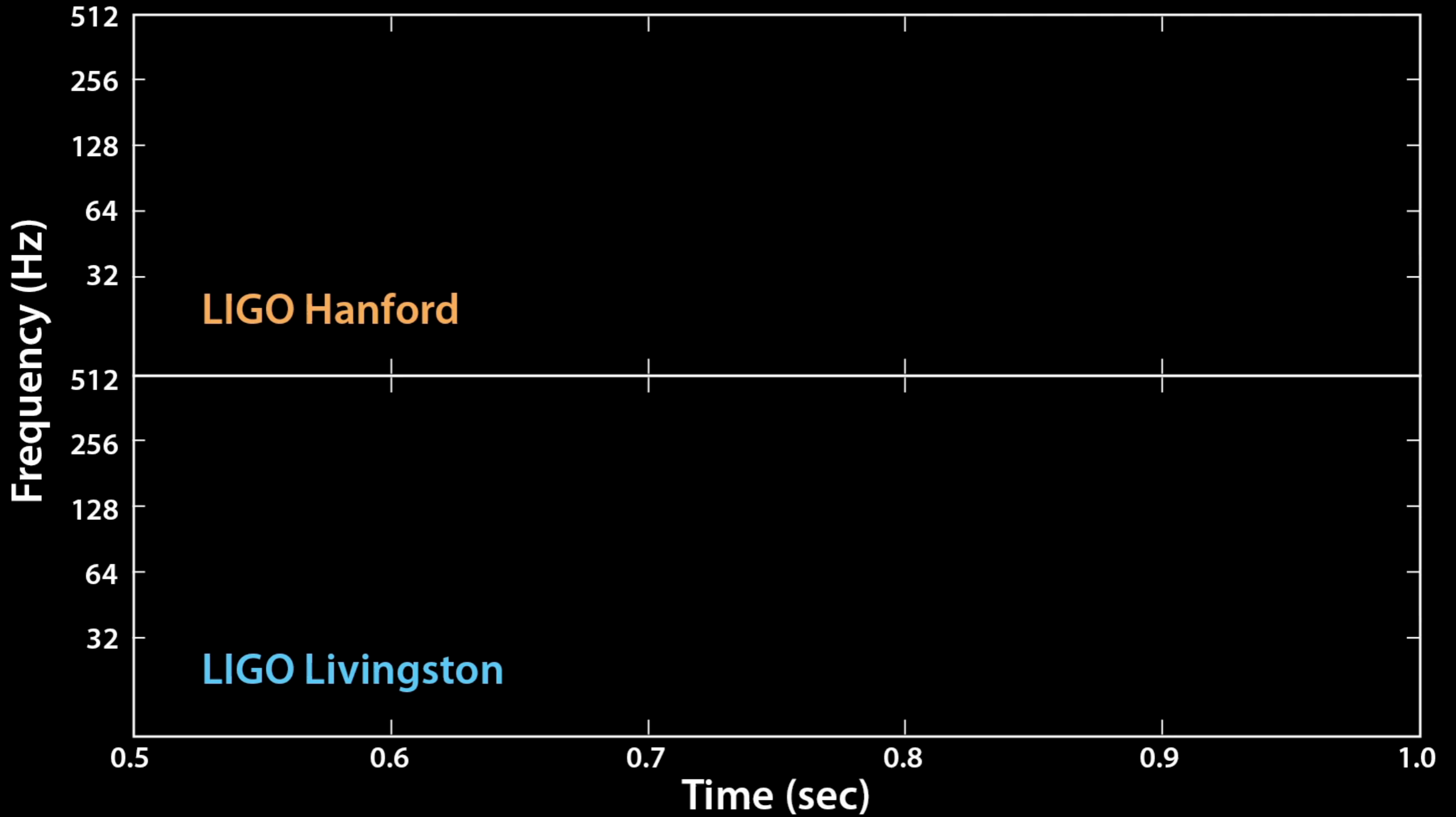
 VIRGO : 3-km long arms





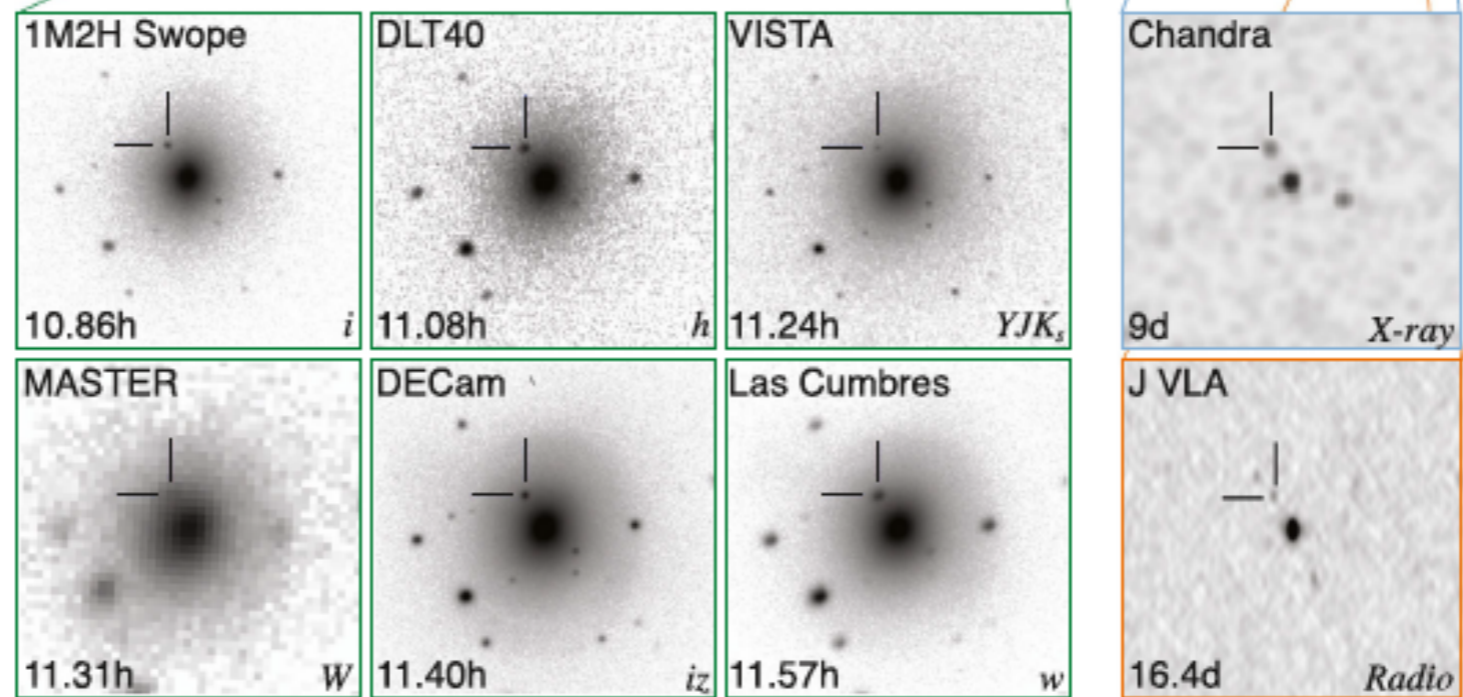
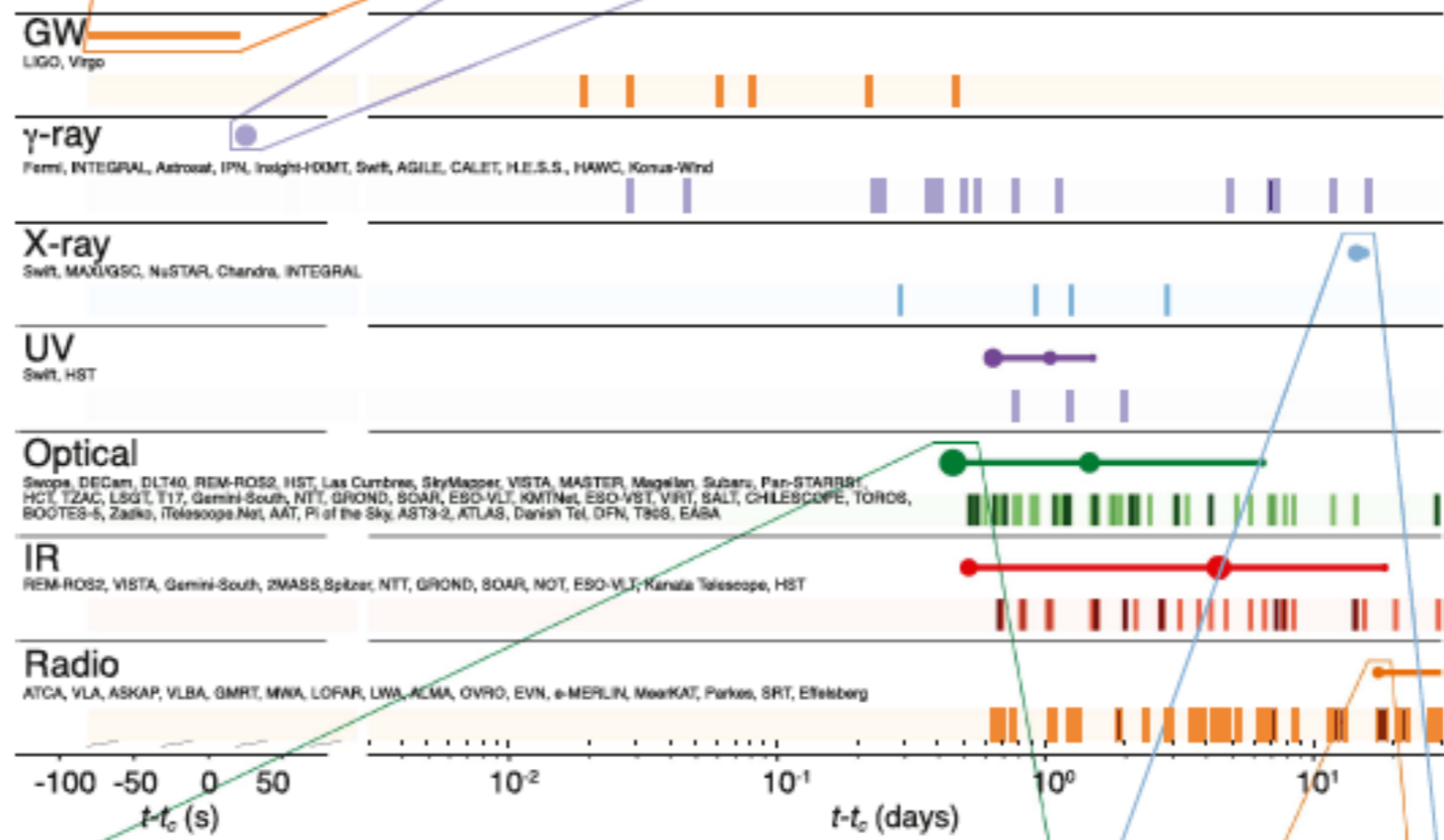
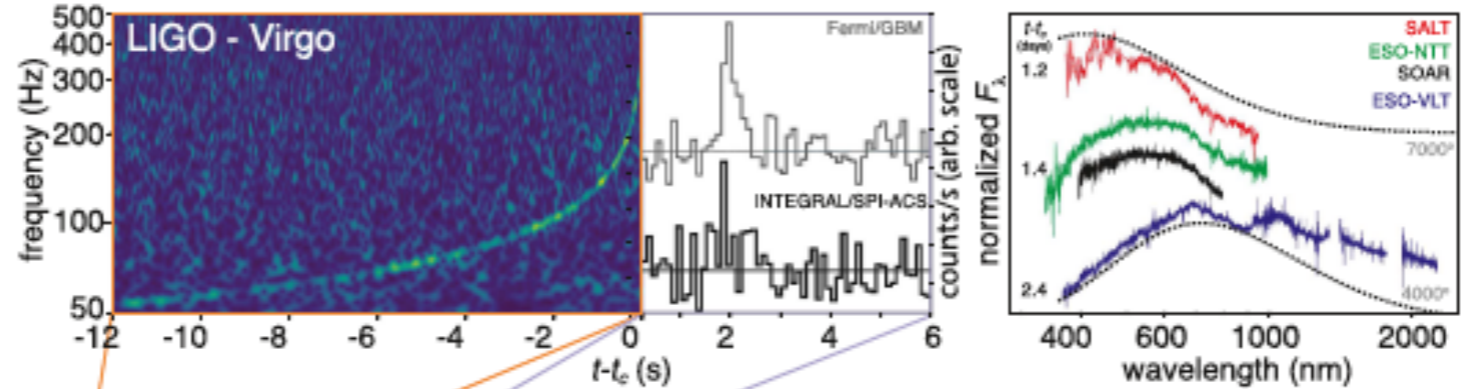
Primary black hole mass	$36^{+5}_{-4} M_{\odot}$
Secondary black hole mass	$29^{+4}_{-4} M_{\odot}$
Final black hole mass	$62^{+4}_{-4} M_{\odot}$
Final black hole spin	$0.67^{+0.05}_{-0.07}$
Luminosity distance	410^{+160}_{-180} Mpc
Source redshift z	$0.09^{+0.03}_{-0.04}$







August 17th, 2017 : Kilonoua !

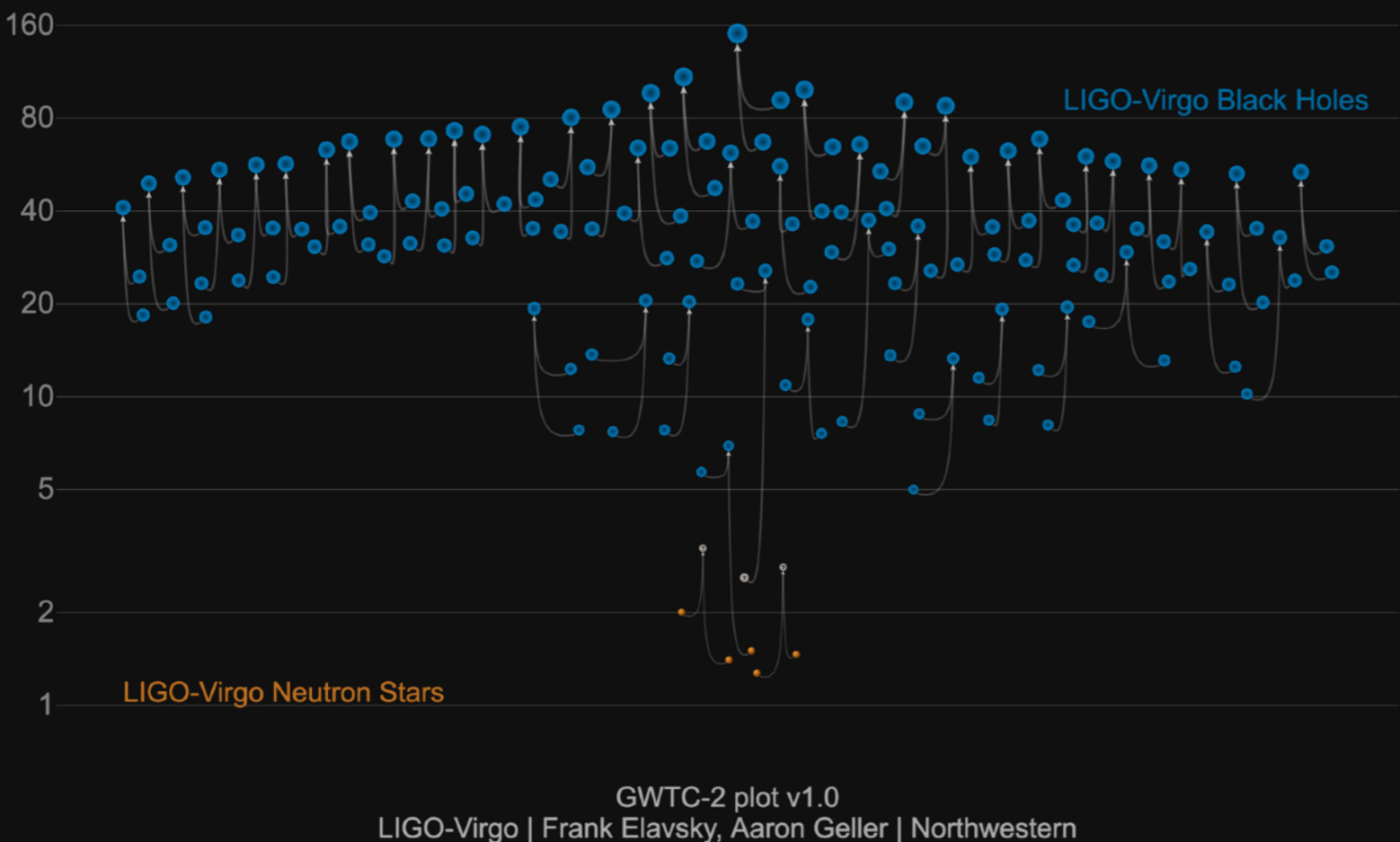


onova !

Detections LIGO/VIRGO

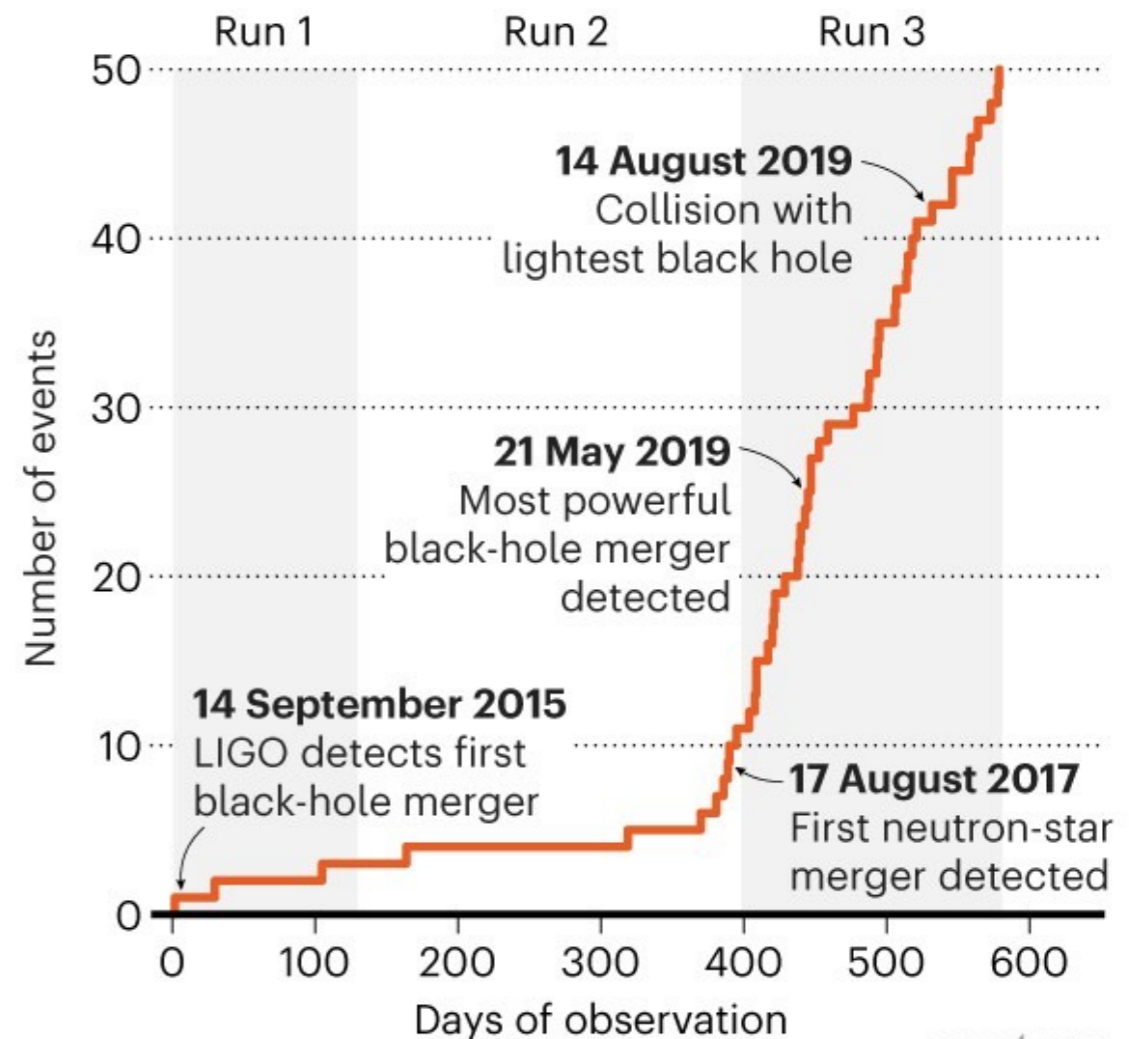
- >50 détections confirmées depuis 2015
- ~1 évènement / semaine en O3

Masses in the Stellar Graveyard *in Solar Masses*



COSMIC CLASHES

Gravitational-wave detectors have identified 50 collisions between black holes and other cosmic objects in the distant Universe. The US-based detector LIGO made the first discovery after a major upgrade in 2015; Italy-based Virgo joined the hunt in 2017.

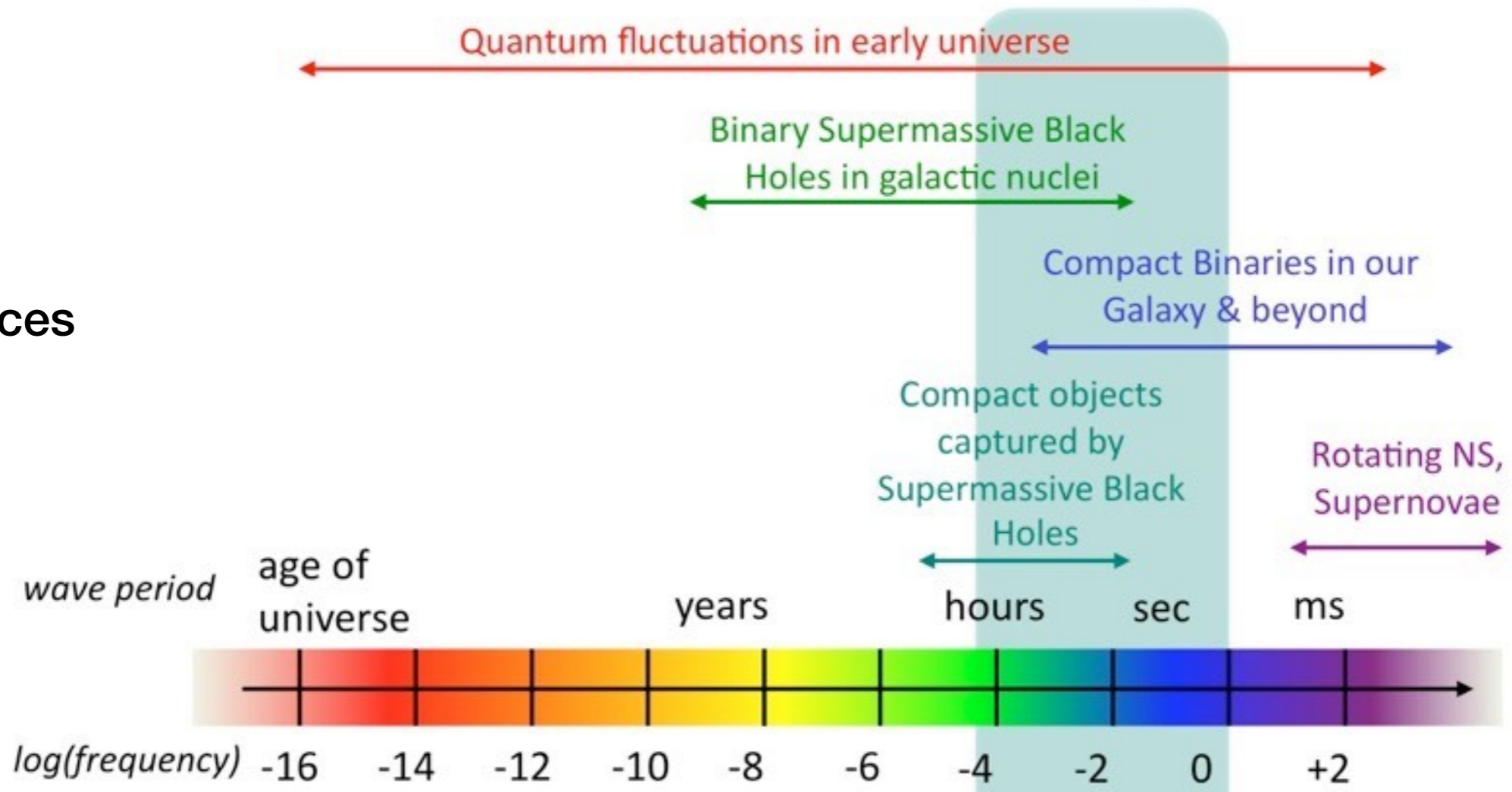




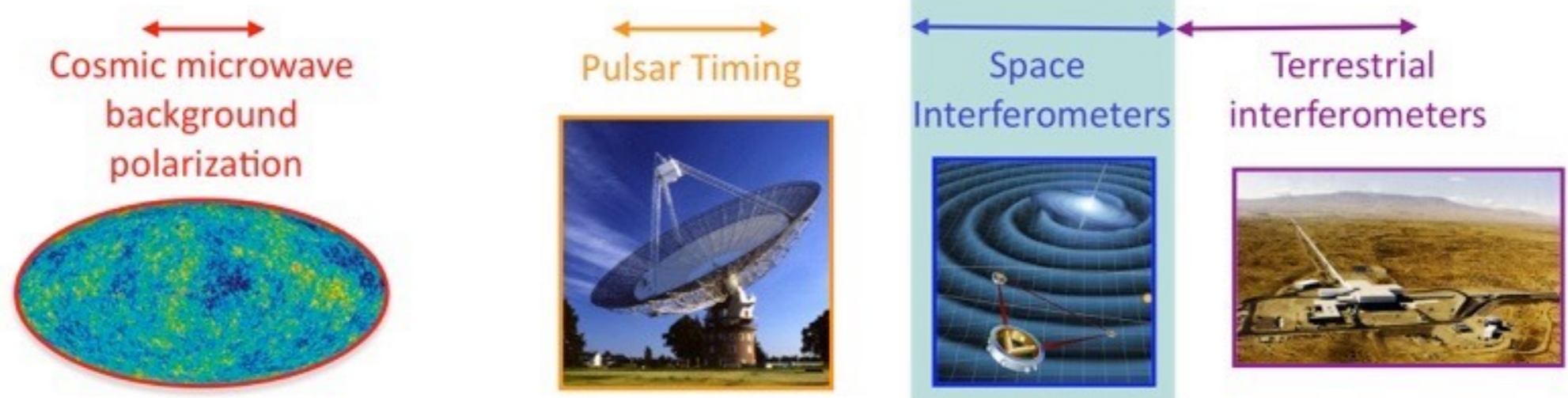
LISA France

La science de LISA

Sources



Detectors



Study the formation and evolution of compact binary stars in the Milky Way Galaxy.

- Large number of stars are in binary systems

- Evolution in white dwarf (WD) and neutron stars (NS).

- Existence of WD-WD NS-WD and NS-NS binaries

- Estimated population for the Galaxy : $\sim 10^7$.

- Monochromatic sources for LISA (far from coalescence)

- Three categories

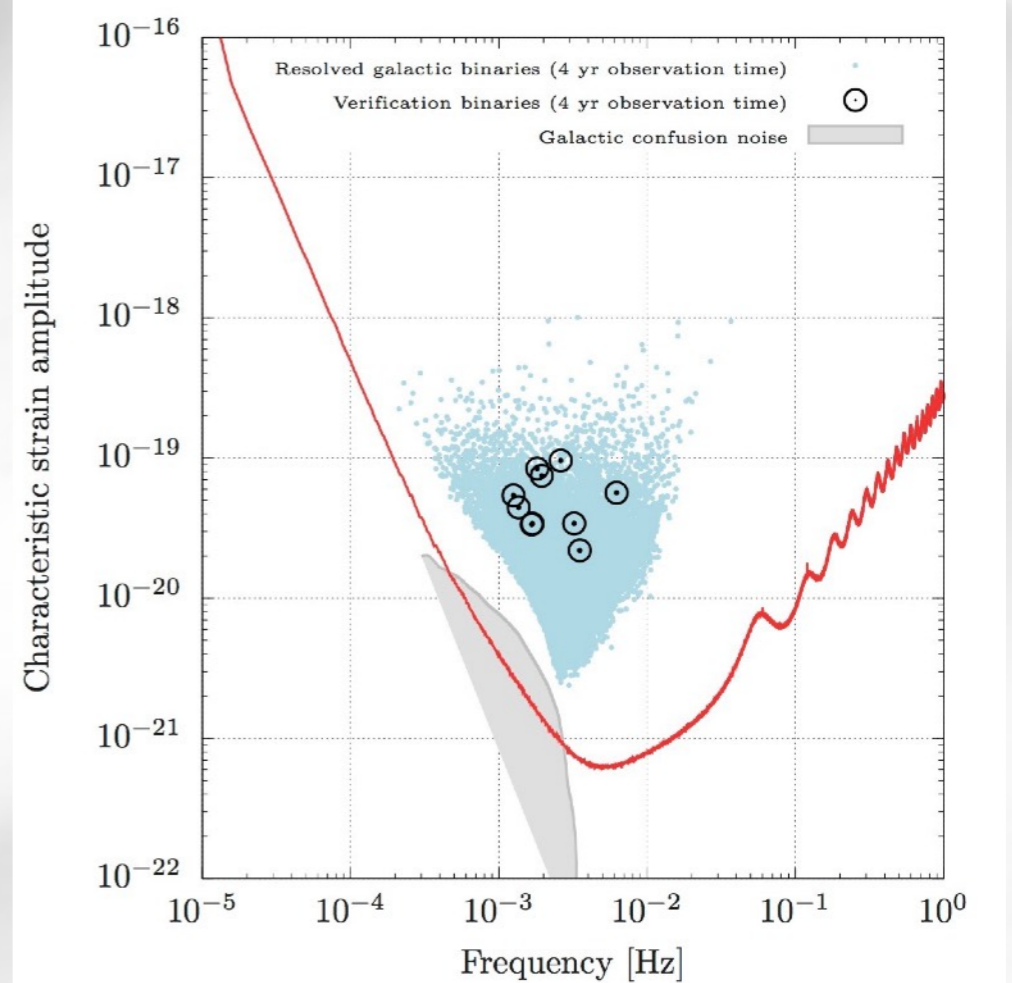
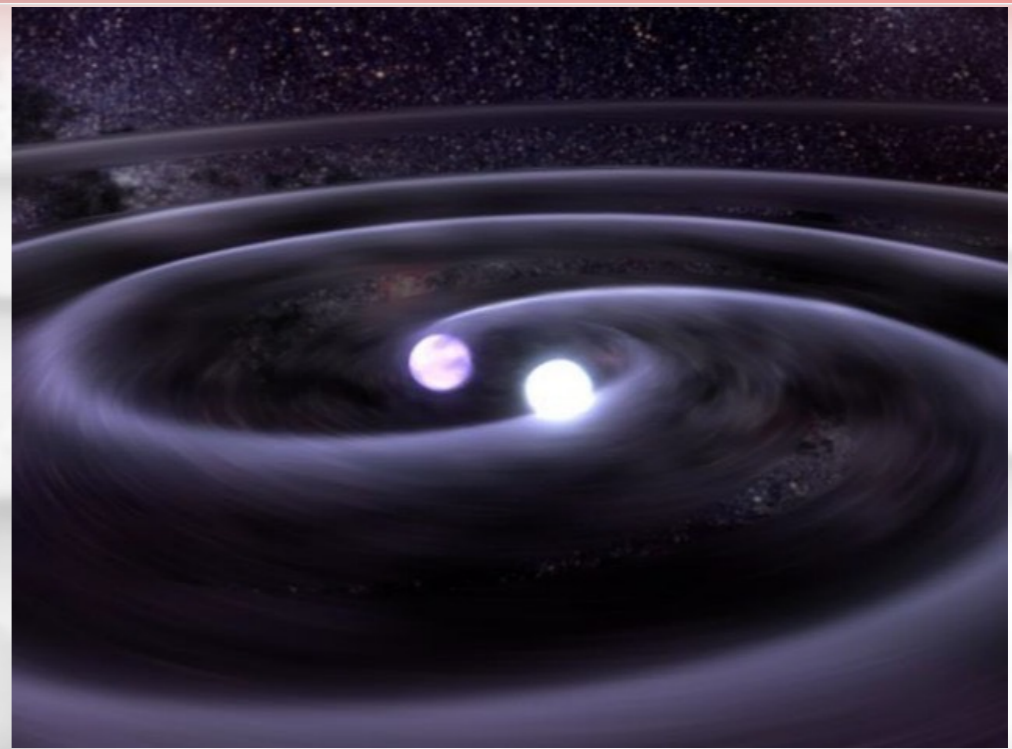
- Joint EM - GW sources (Gaia, LSST)

- Already ~ 10 known verification binaries in the LISA band

- Individually detected : $\sim 10^4$

- Stochastic GW signal

- foreground 'noise'



Massive BH binaries

 Massive BHs in the nucleus of every Galaxy

 $4 \cdot 10^6 M_{\text{sun}}$ at the center of the Milky Way


 MBHs accumulate mass


 gas accretion

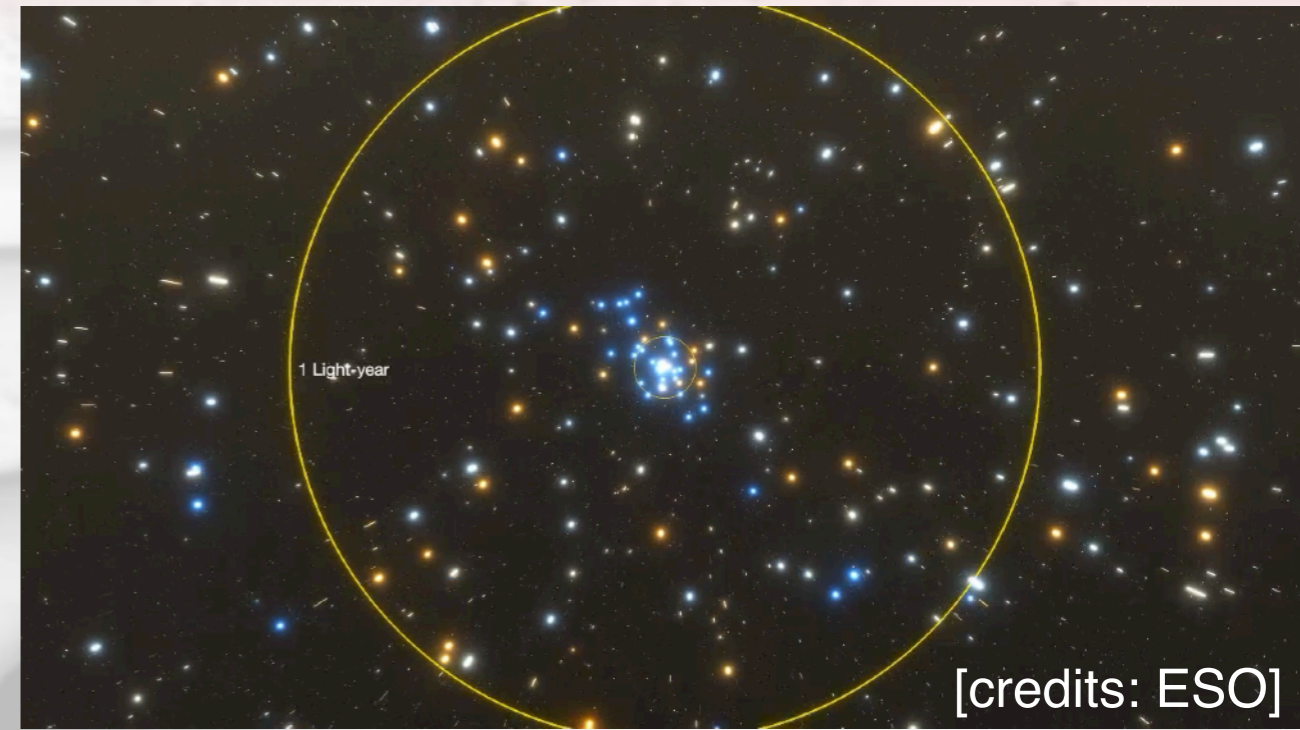
 merging with other BHs

 Galaxies merge

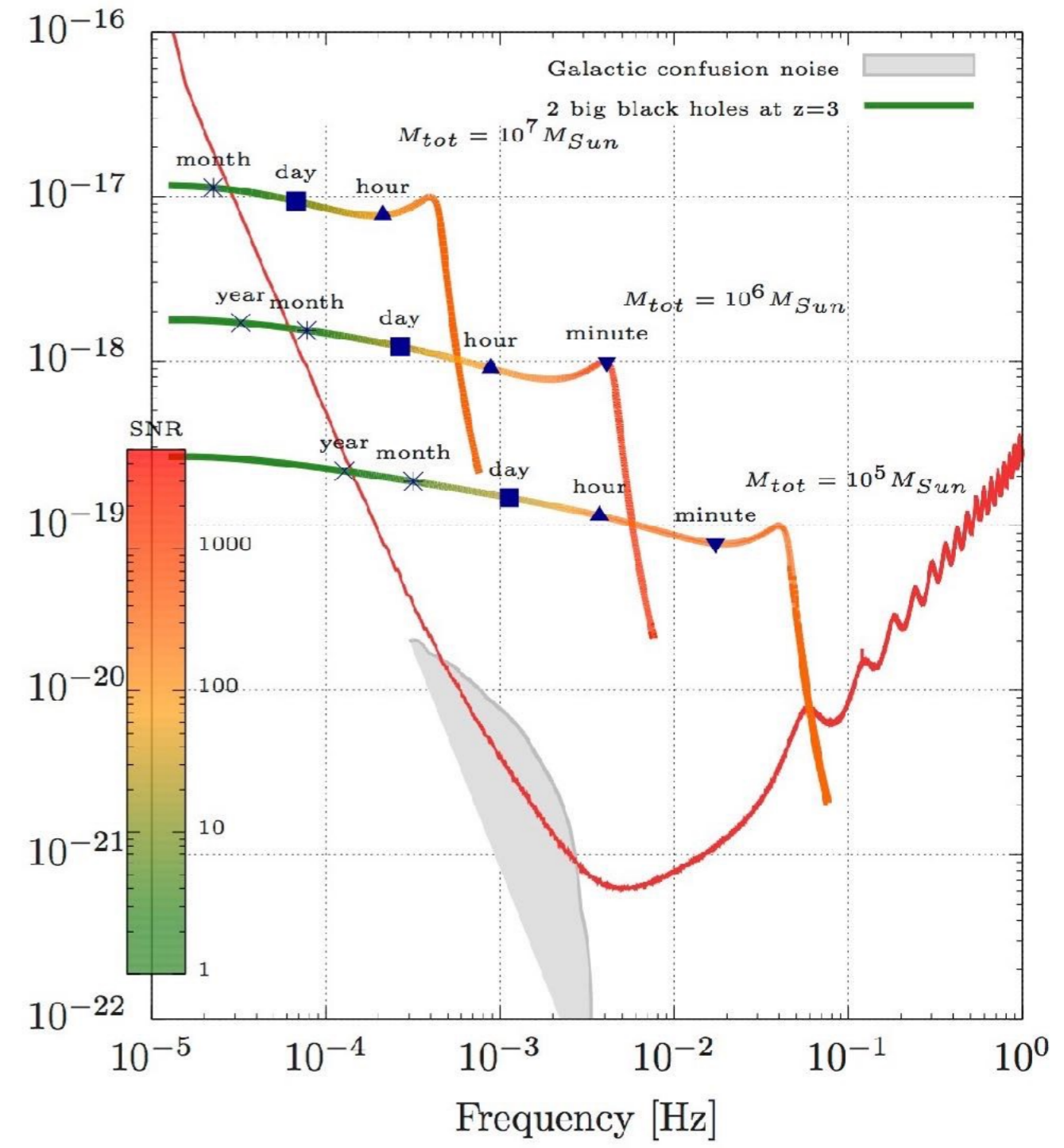
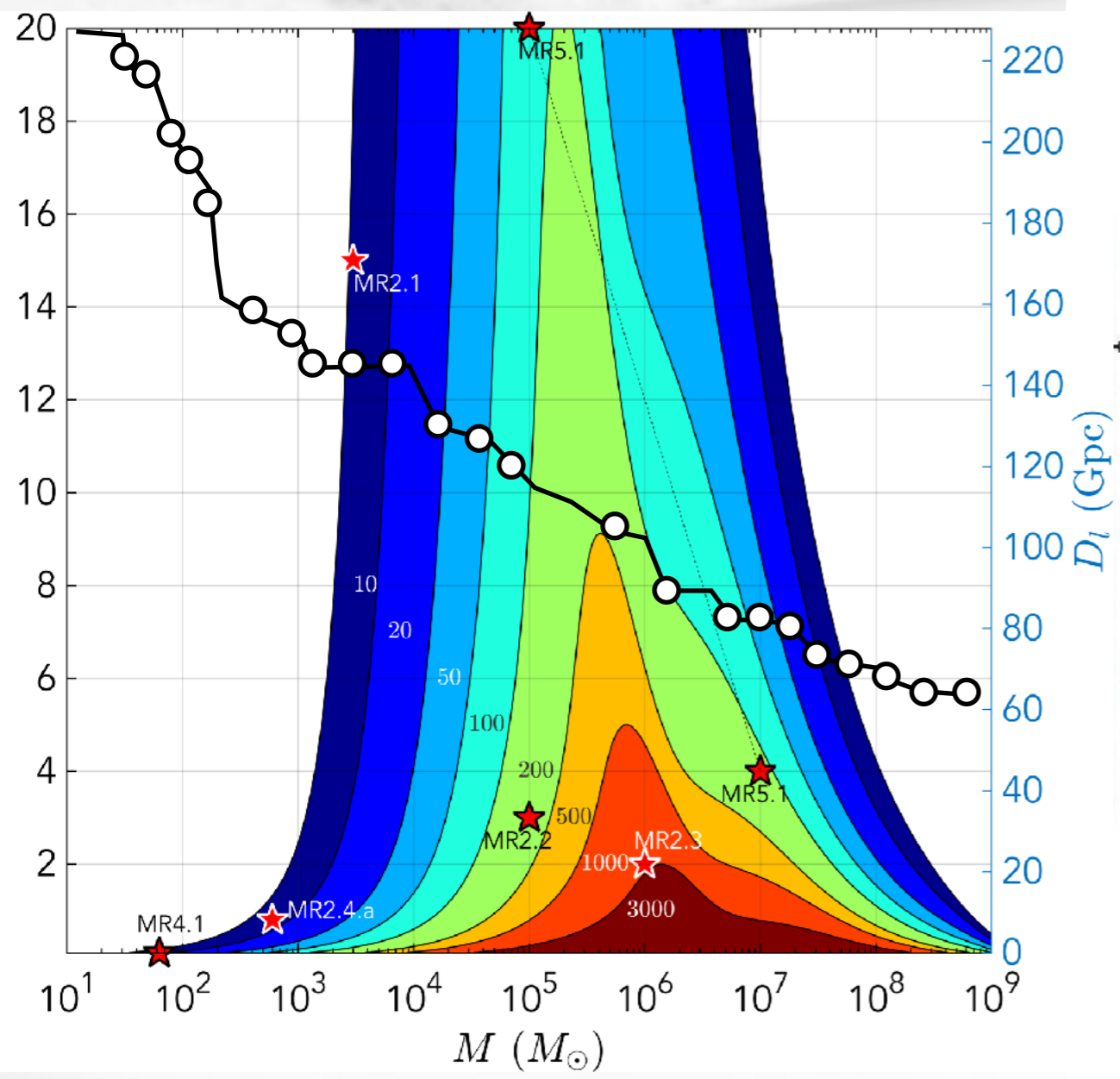
 observed...

 may result in a MBH binary which could merge in a reasonable time



 Stars and/or gas required to dissipate orbital momentum and bring it in GW driven regime








Origin, growth and merger history of massive black holes across cosmic ages






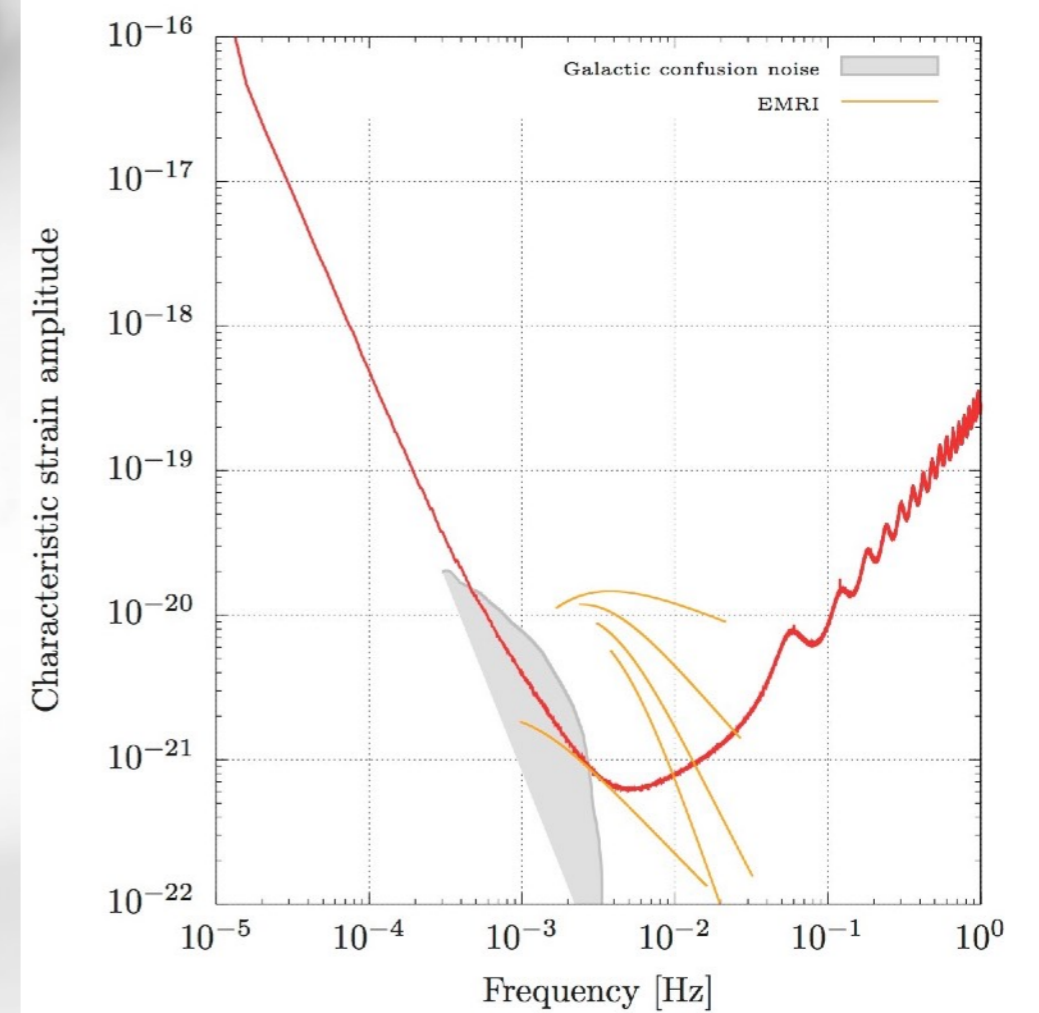
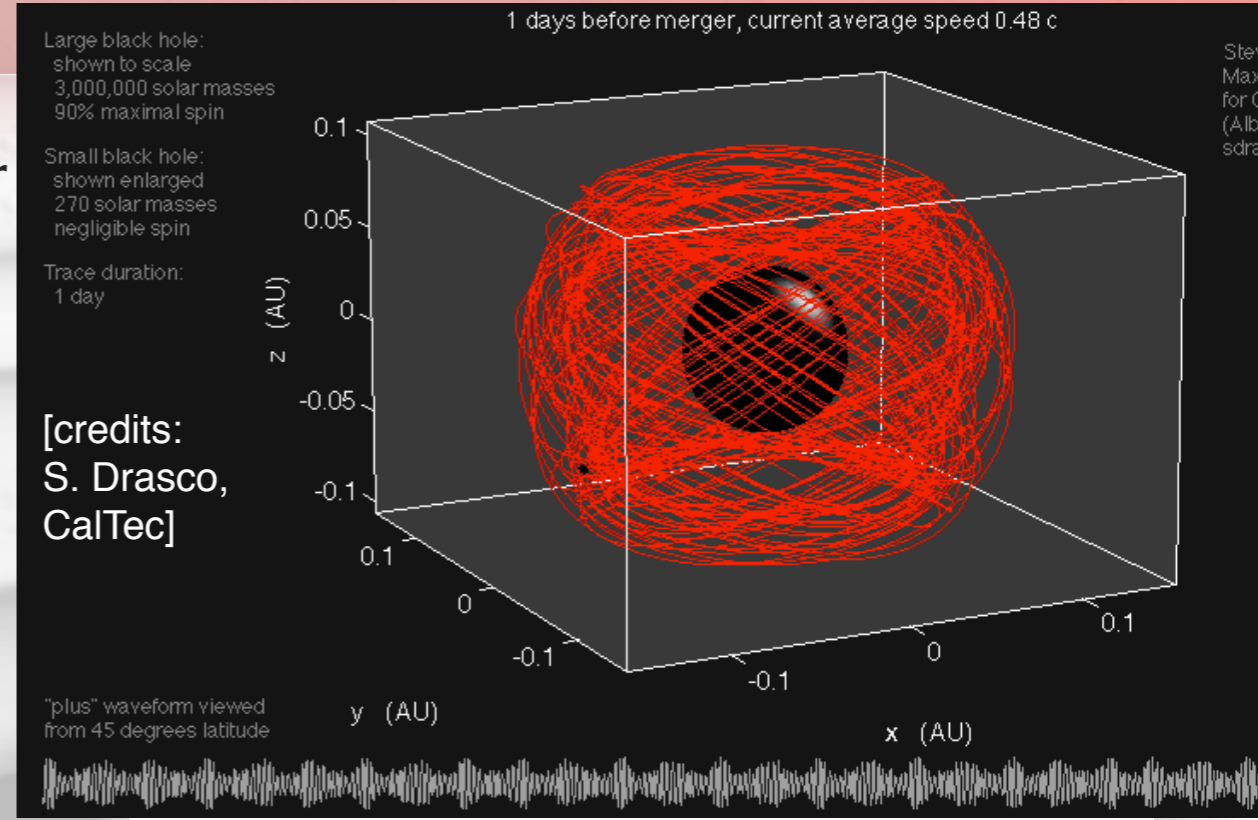
EMRIs (extreme mass ratio inspirals)

-  Massive BHs could be embedded in stellar cusps
 -  high density stellar environment

-  Massive BH could capture a compact object
 -  companion : NS, stellar mass BH
 -  very eccentric orbit shrinking under GW radiation

-  EMRI: Binary system with an extreme mass ratio: $10^{-7} - 10^{-5}$
 -  $\sim 10^6$ orbits of the compact object close to the MBH before the plunge

-  Companion as 'test particle'
 -  Strong relativistic effects
 -  Complex (and very informative...) waveforms



Multiband GW astronomy

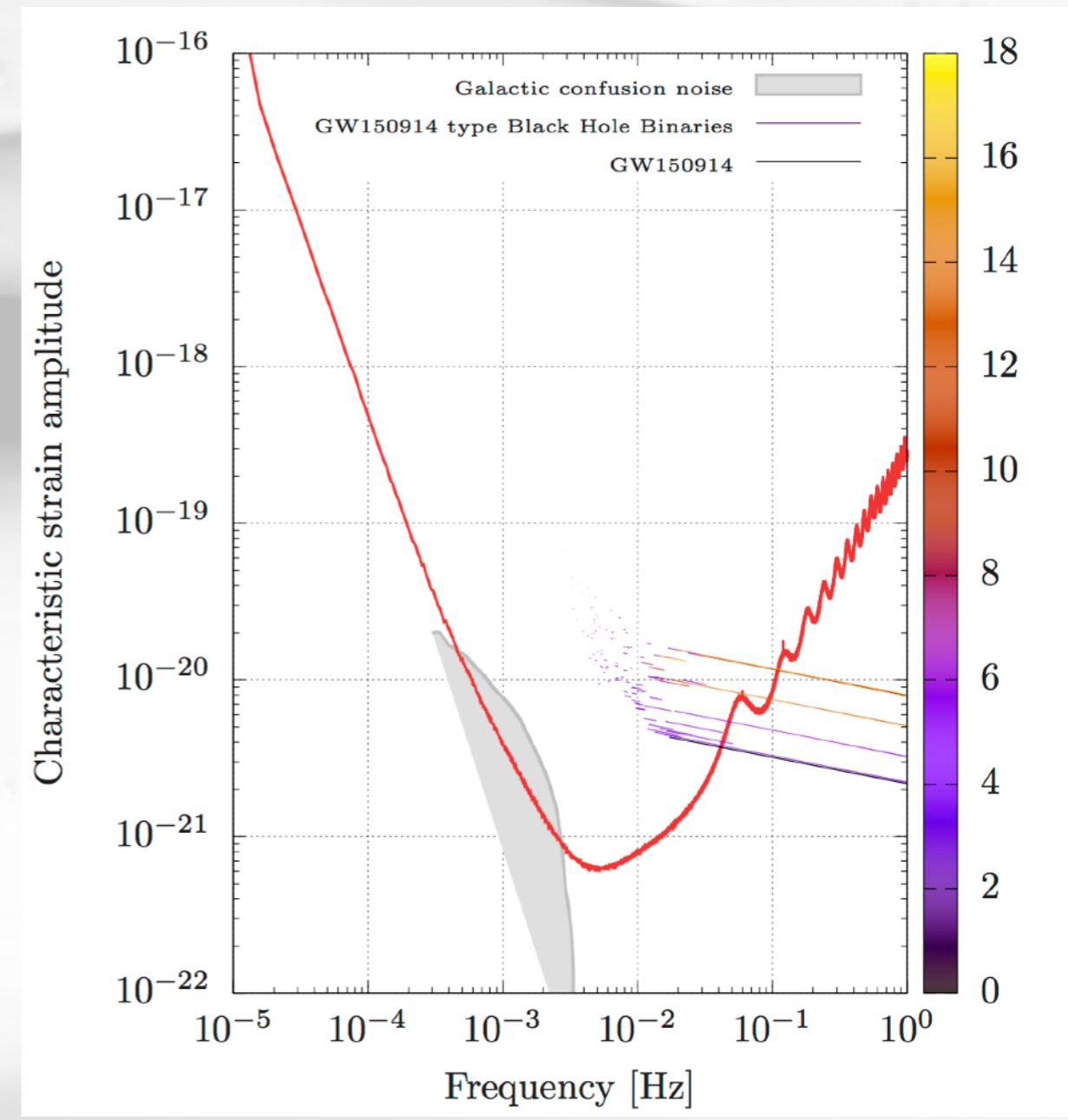
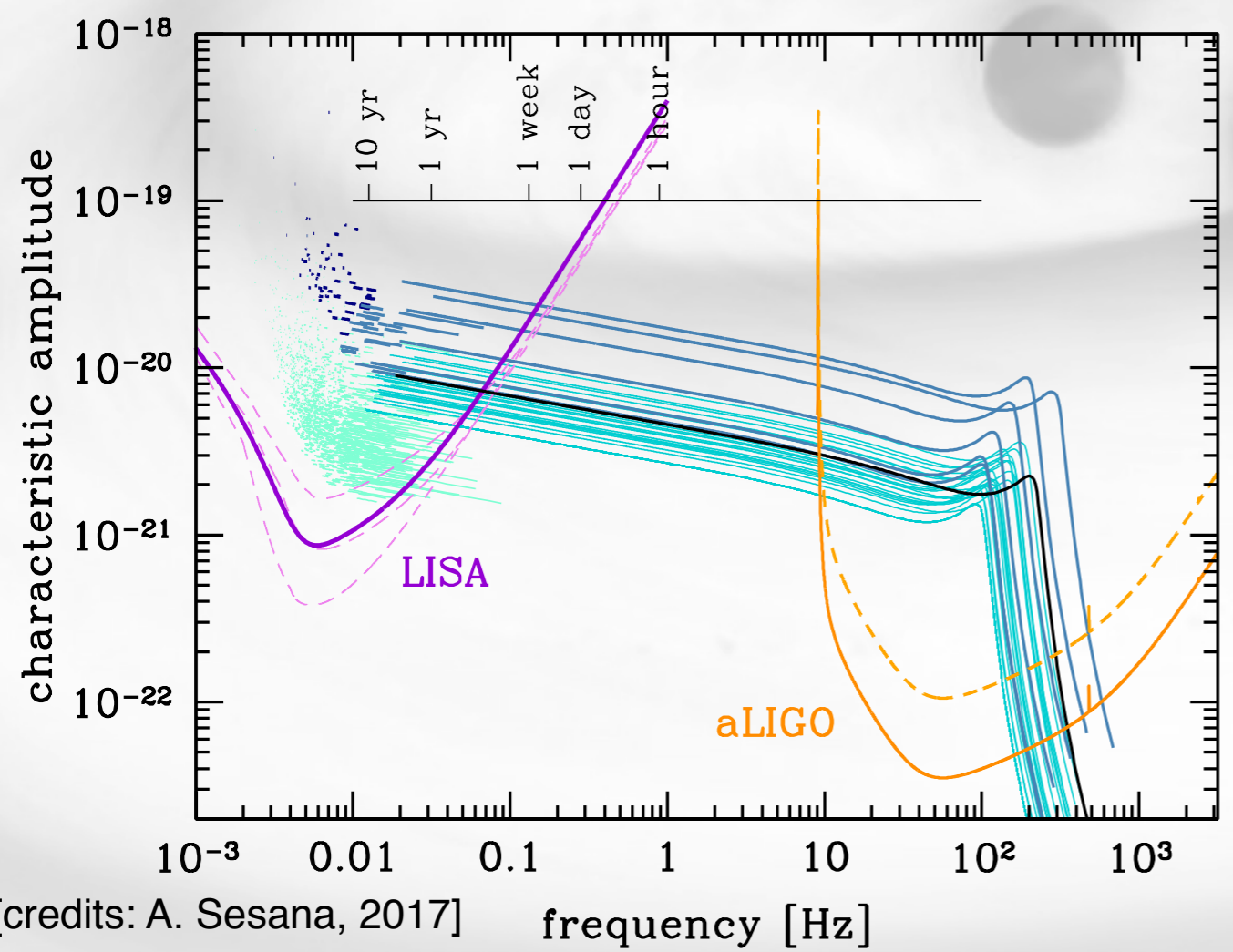
- Stellar BH may be detectable by LISA prior coalescing in the ground based detectors band

- Observed for ~years in LISA until ~days before merger

- Possible pre-warning

- Time of coalescence at ~10s accuracy

- Sky localisation : 0.1 - 1 deg²



Possible e/m counterparts

🚀 Possible X-ray emission during the late stages of the SMBH inspiral (days to hours before final merger) comes from:

🚀 **Circumbinary disc:**

🚀 X-ray emission in soft x-rays ($\leq 1\text{keV}$)

🚀 **Mini-discs around black holes**

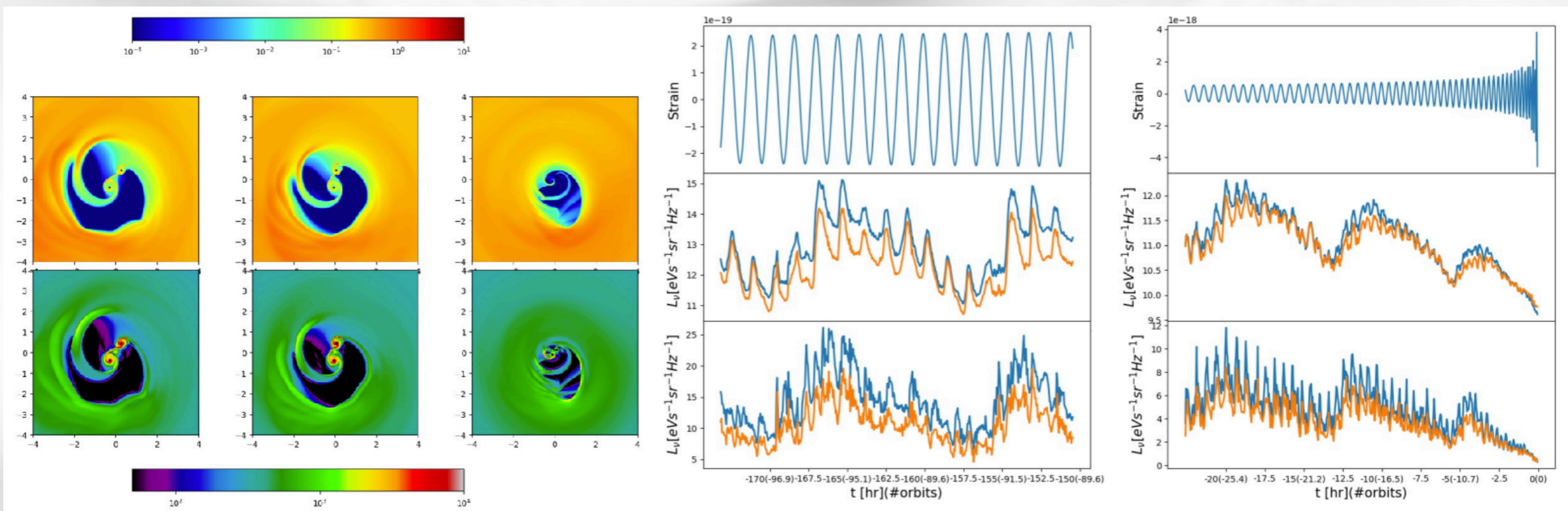
🚀 Hard x-ray emission ($\geq 10\text{keV}$) from accretion of minidisks individually onto each black hole

🚀 **Interaction of circumbinary and mini discs:**

🚀 Accretion of circumbinary disc onto mini-discs via optically thick streams

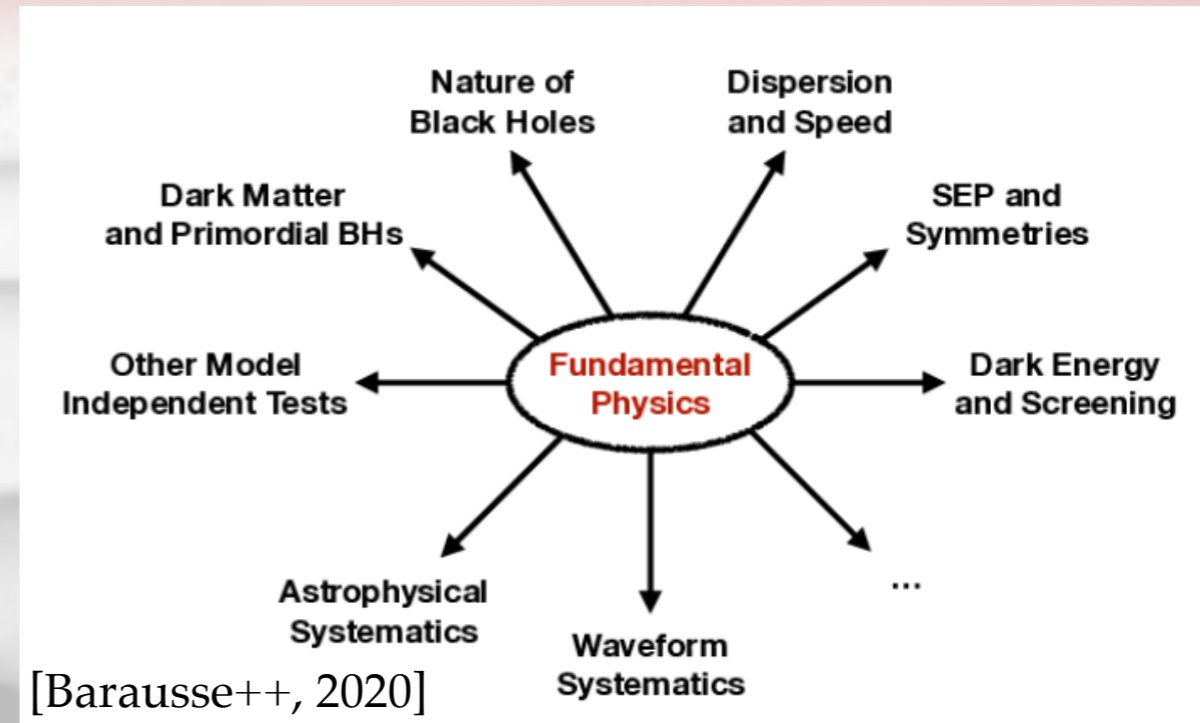
🚀 Thermal radiation dominated by the inner edge of the circumbinary disc, producing soft x-rays ($\sim 2\text{keV}$)

🚀 X-ray emission shows clear modulation on timescales as short as a few hours

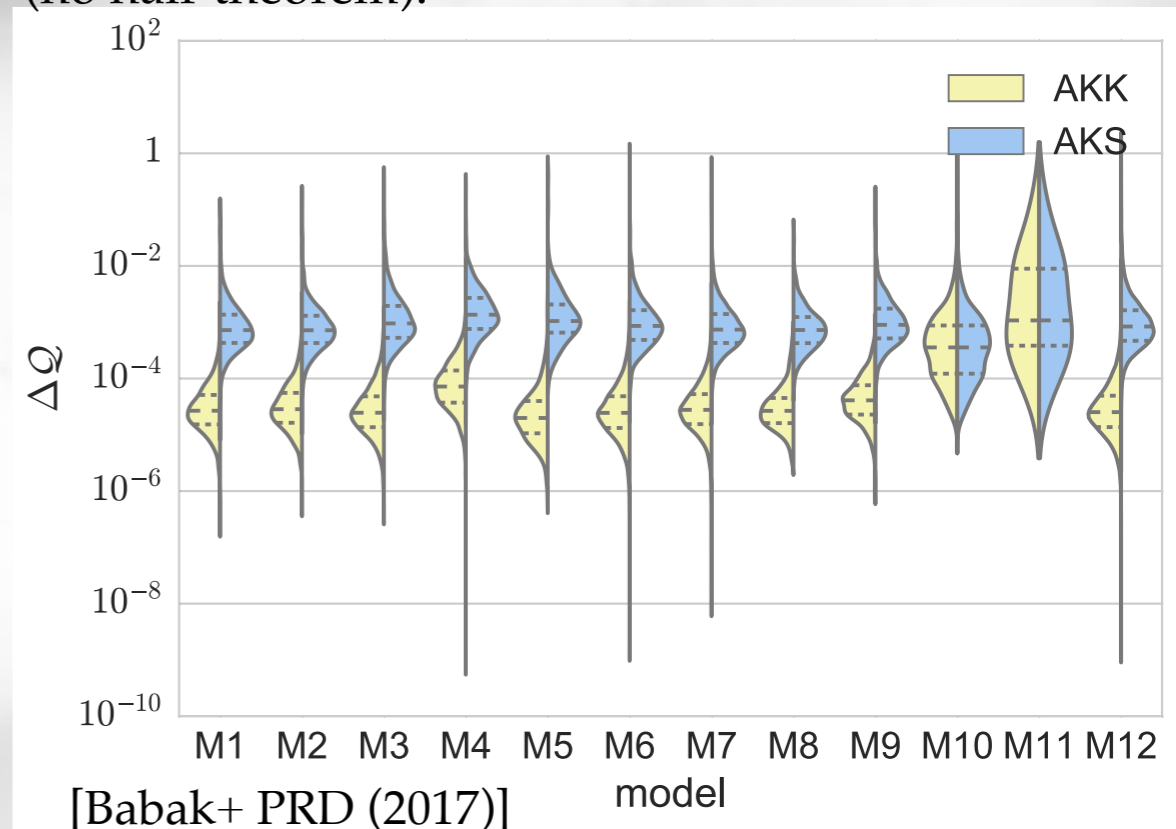


Fundamental physics with LISA

- 🌀 Using emitted GW to map the spacetime structure
- 🌀 Tests of GR
 - 🌀 Fundamental principles and symmetries of GR
 - 🌀 Testing GR with compact objects
- 🌀 Tests of the Nature of Black Holes
- 🌀 Dark matter and Primordial Black Holes
- 🌀 Model-independent tests
 - 🌀 Consistency of GR vs constraining Modified Gravity
 - 🌀 Parameterised tests
 - 🌀 Other tests including: Polarisation, GW propagation, Stochastic GW Background
- 🌀 Astrophysical and Waveform systematics



Deviation in quadrupole moment from Kerr value (no hair theorem):



Cosmography with LISA

LISA may help on many cosmological problems

Expansion rate of the Universe : late acceleration ?

CMB : $H_0 = 66.93 \pm 0.62 \text{ km.s}^{-1}.\text{Mpc}^{-1}$

SN Ia : $H_0 = 73.5 \pm 1.4 \text{ km.s}^{-1}.\text{Mpc}^{-1}$

Dark energy

Cosmological constant ?

Early dark energy: DE evolves with redshift and contributes to rate of expansion at $z > 1$

Modification of GR on large scale

LISA can probe the Universe at different scales

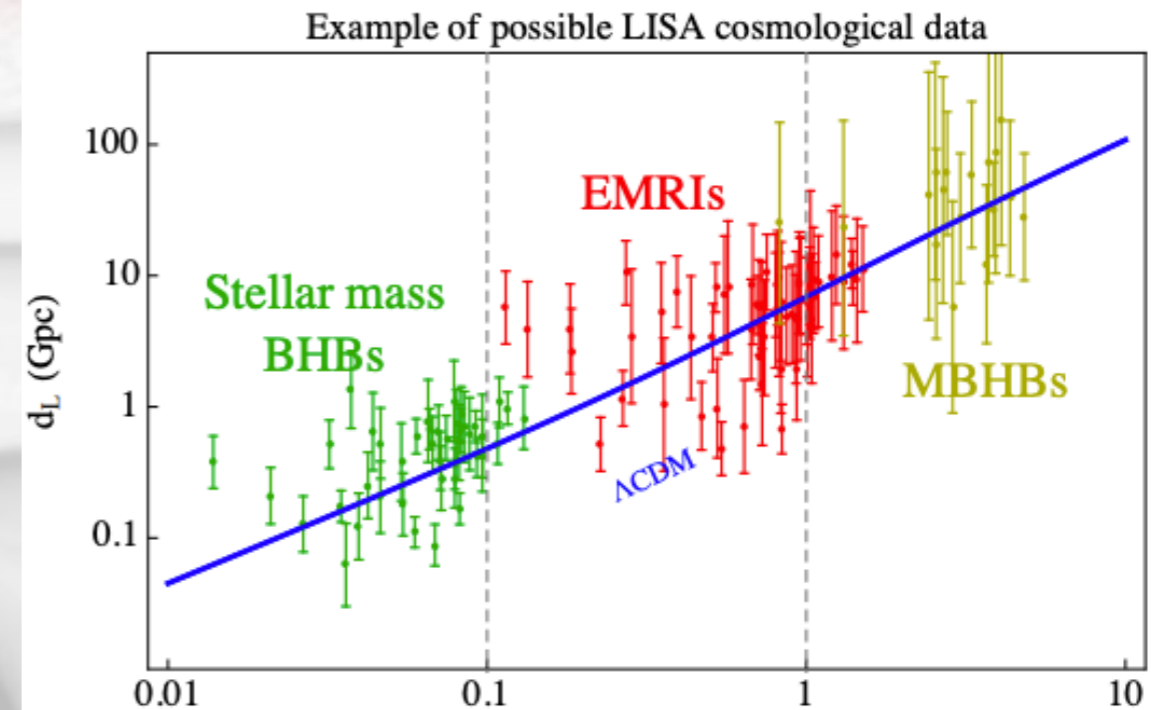
Use BHBs merger events as standard sirens

Requires the knowledge of the redshift

from e/m counterpart of the host galaxy

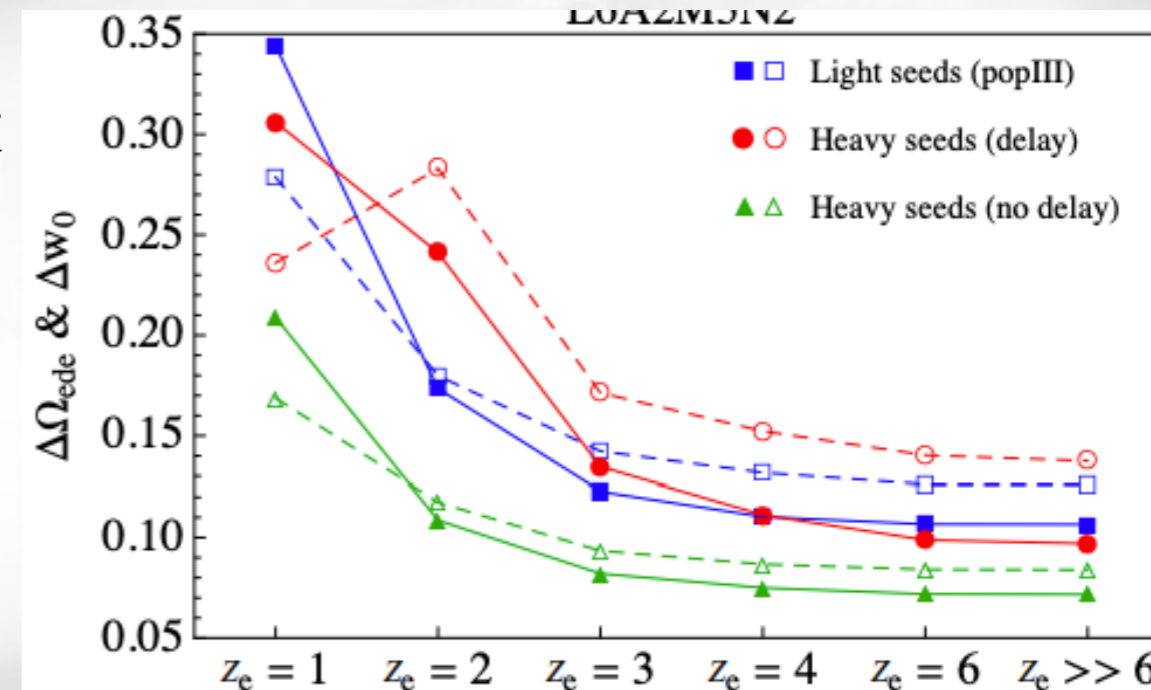
or from statistical inference

Universe expansion rate from GW events :










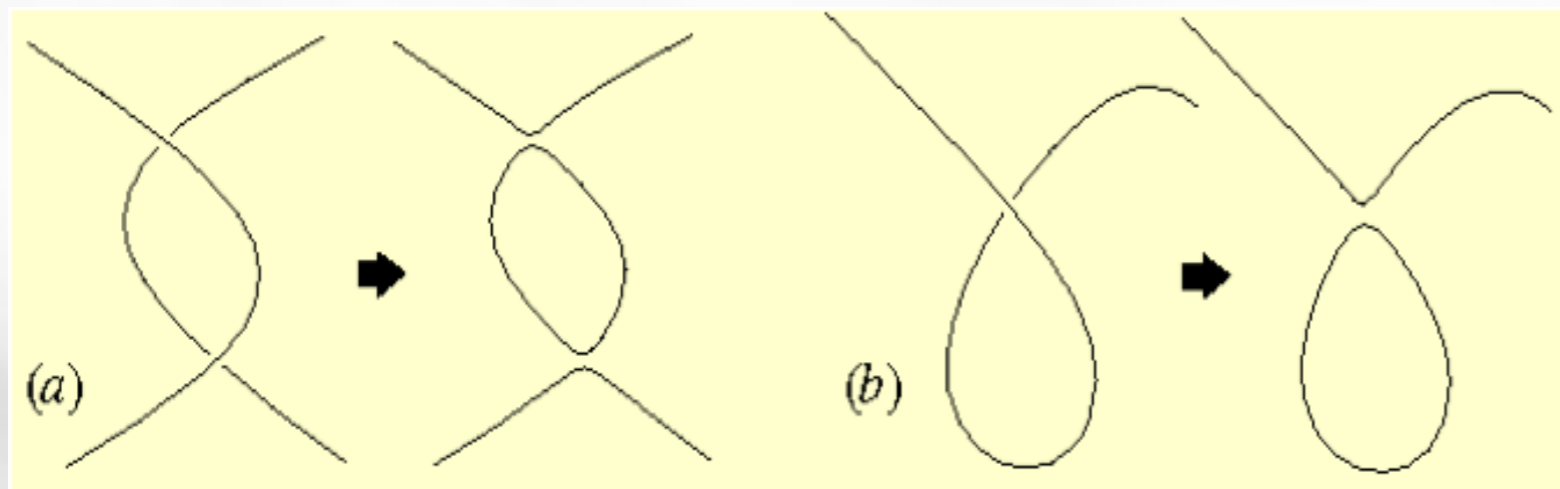
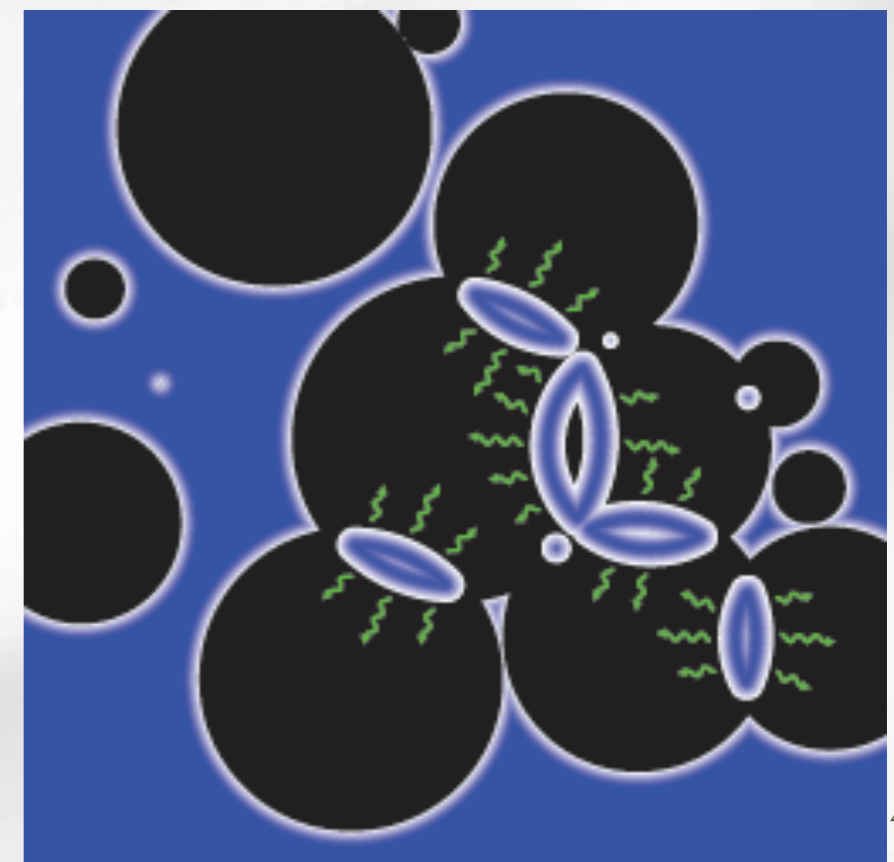
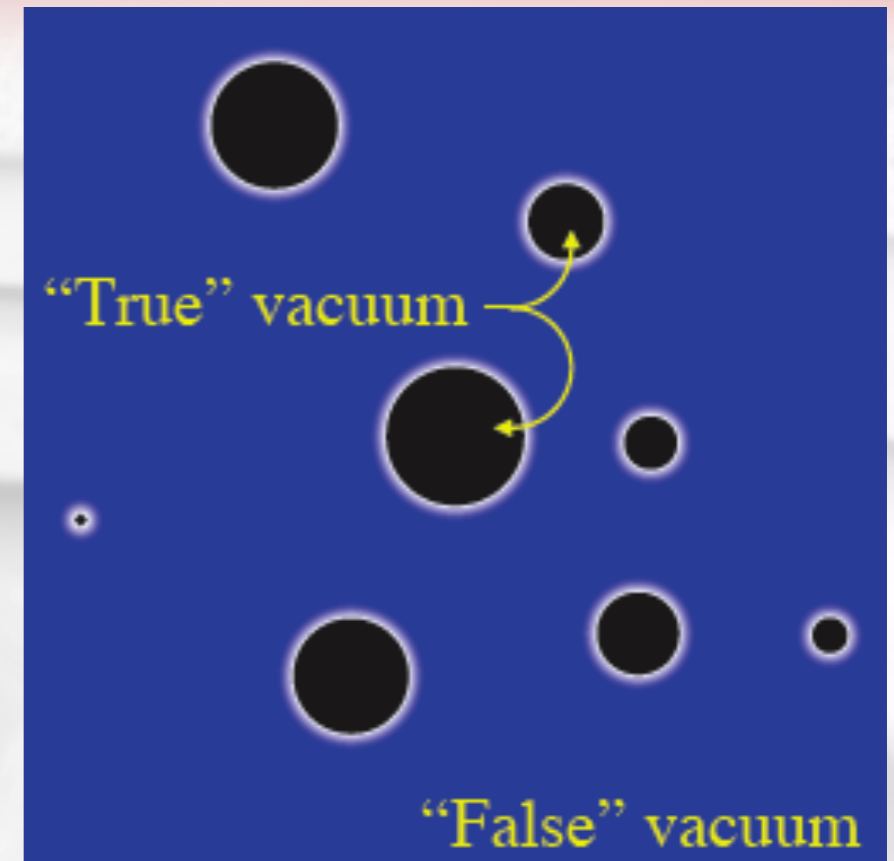
N. Tamanini J. Phys. CF 2016

Universe DE content:

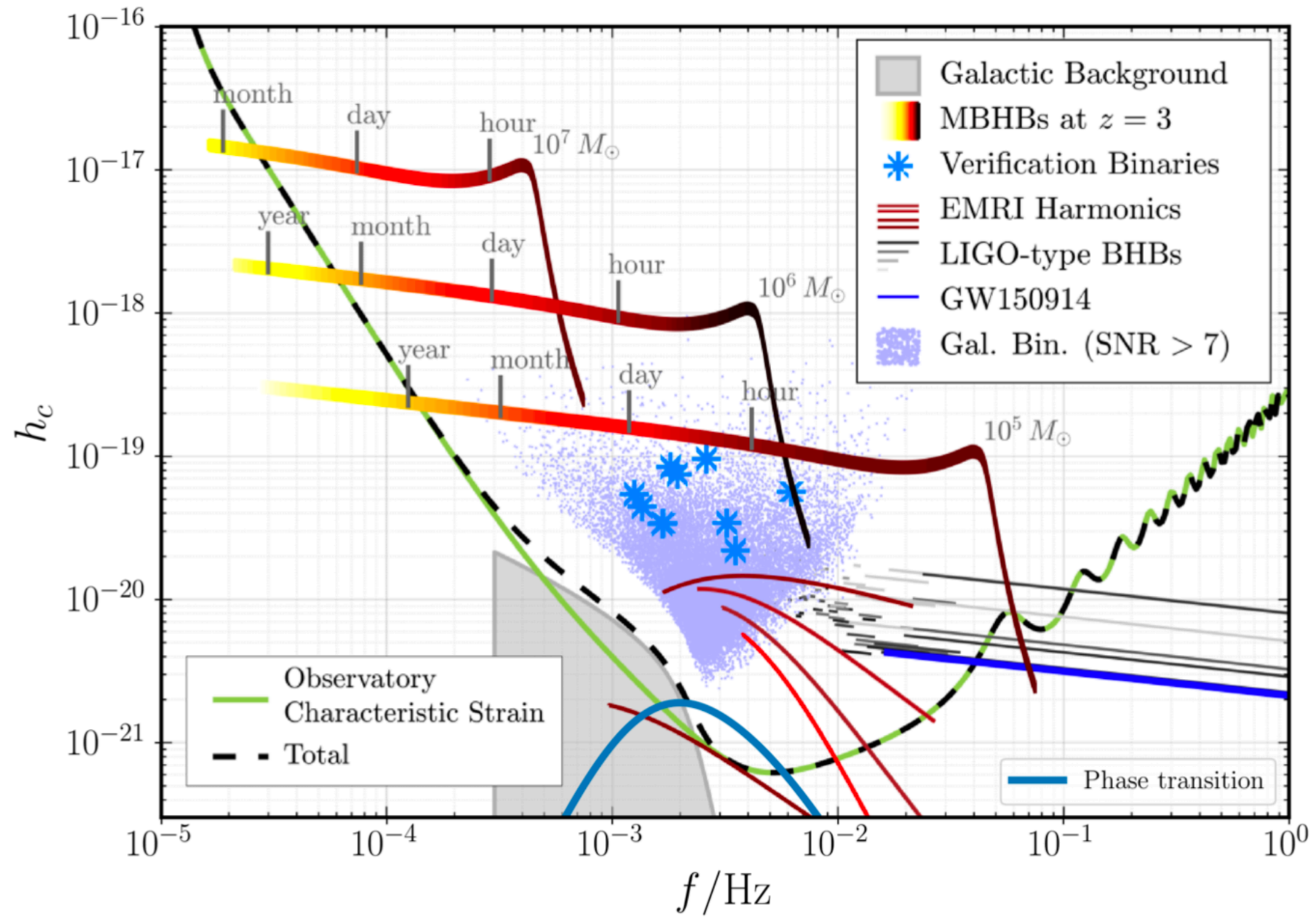


Ch. Caprini, N. Tamanini JCAP 2016

-  Violent processes in the early Universe may produce stochastic GW background (SGWB)
-  First order phase transition
 -  Collision of true vacuum bubbles and conversion to the symmetry-broken phase accompanied with anisotropic stresses.
 -  The LISA band (10^{-4} - 0.1 Hz) corresponds to the energy scale of the EW (electroweak) phase transition (up to 10^4 TeV).
 -  Formation of sound wave, shocks and turbulence in the plasma
-  Cosmic strings:
 -  A network of strings formed in the early Universe generates SGWB (as superposition of many uncorrelated sources) and (possibly) individual bursts



Potential sources for LISA: summary





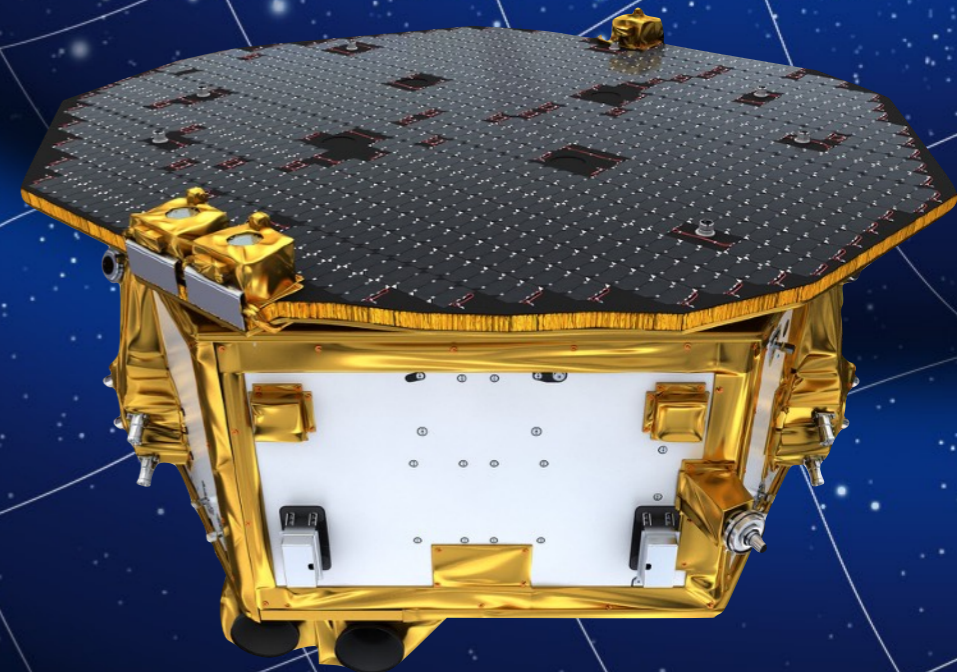
LISA Pathfinder



 LISA Pathfinder = technology demonstrator for LISA

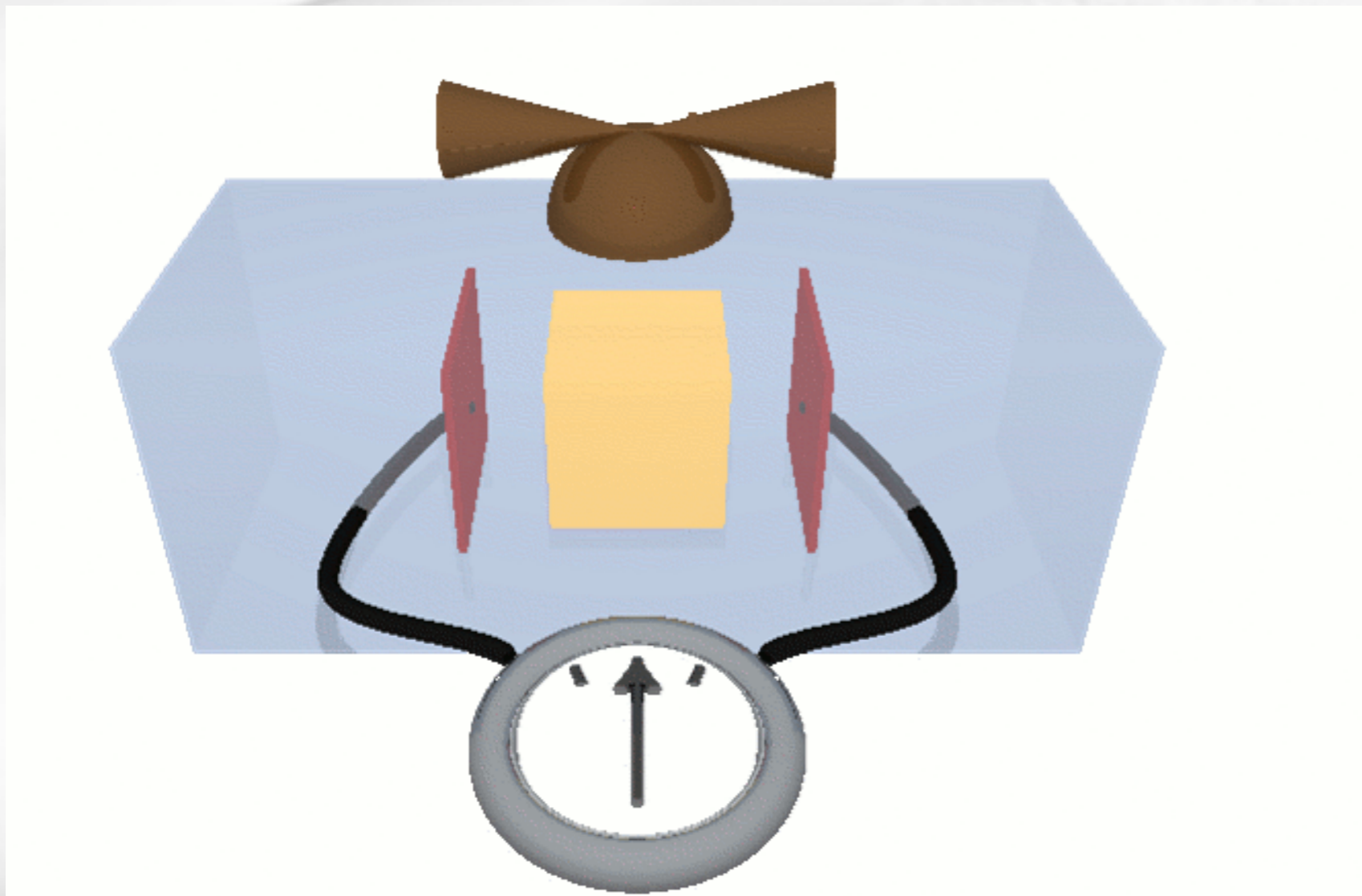
 Launched in December 2015


 End of mission in July 2017










Drag-free flying ?

- Test masses must be protected from external perturbations (mainly solar wind)
- Technology demonstrator : LISA Pathfinder

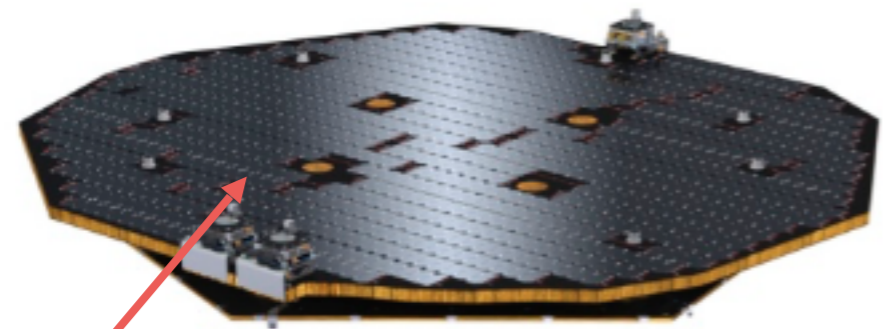


 **Main goal:** demonstrate the possibility of "Free Fall" in space at the level of $\approx 10^{-14} \text{ m.s}^{-2}/\sqrt{\text{Hz}}$, around 1 mHz

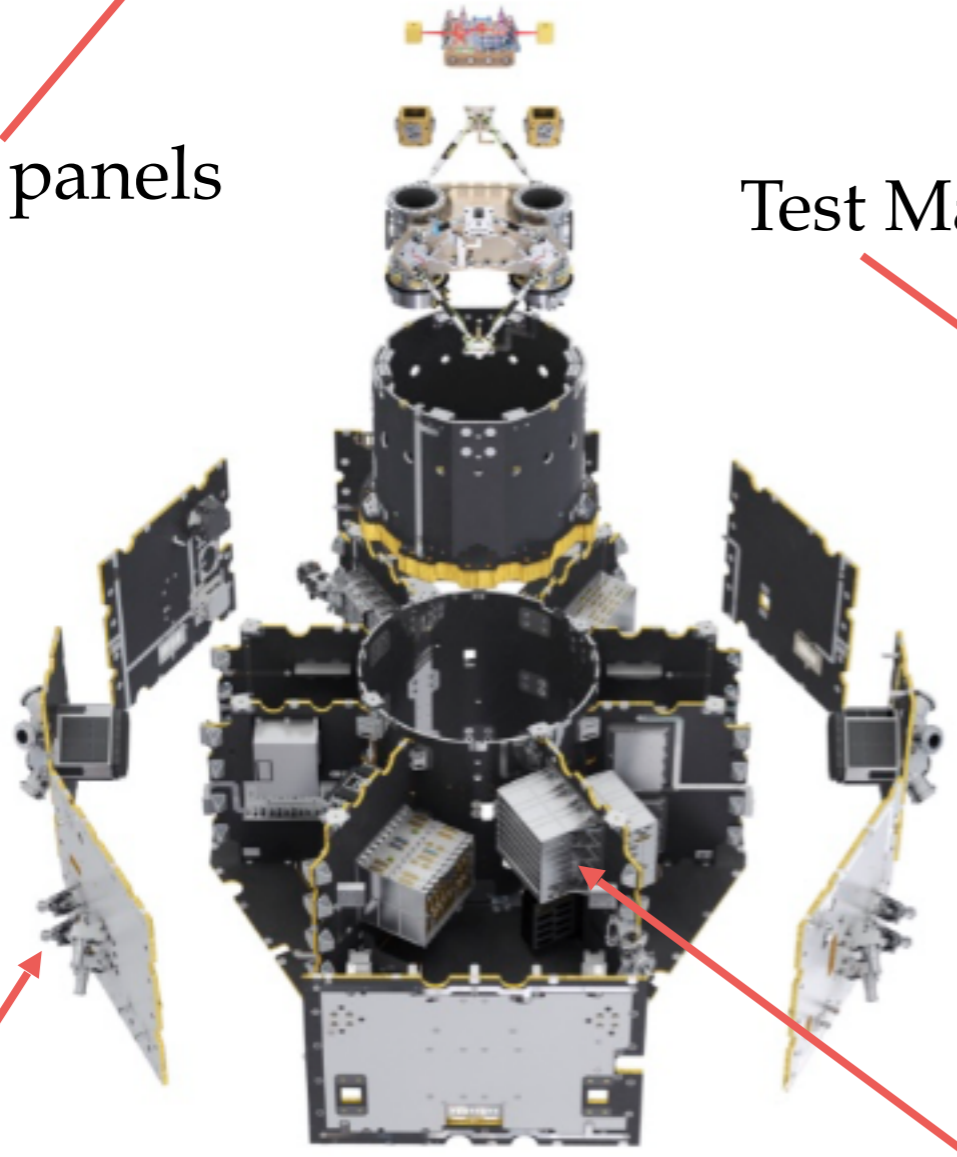
 A number of effects have to be minimized:

-  The static gravitational potential between the TMs and the SC,
-  Residual links of the TMs w.r.t the SC via the residual vacuum,
-  Cross talk between various electrostatic actuators,
-  TM charging by cosmic rays that is eliminated by UV illumination,
-  Temperature fluctuations ,
-  Magnetic field fluctuations,
-  ...

Lisa Pathfinder : A technology demonstrator



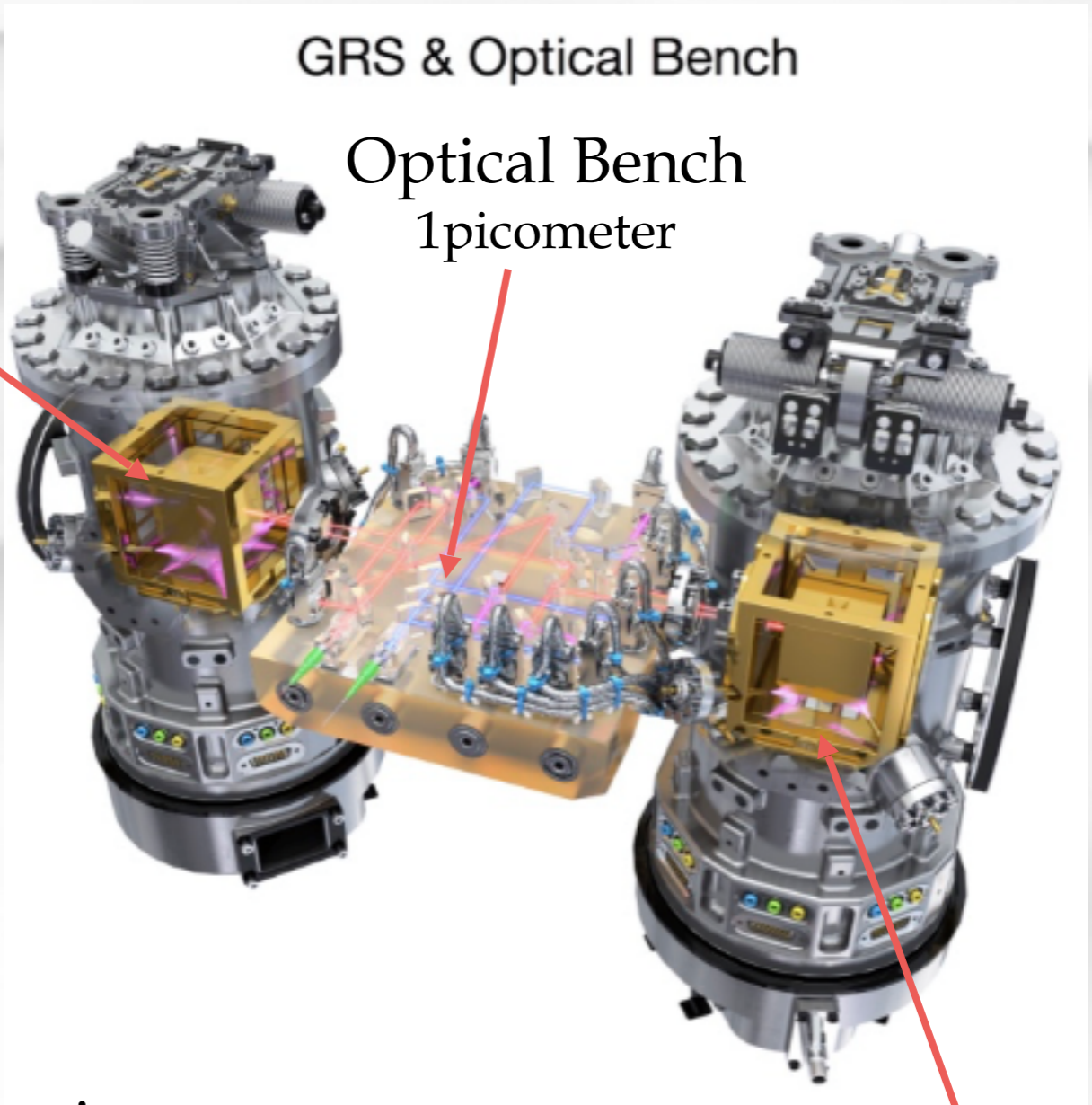
Solar panels



Test Mass

The micro-thrusters
Cold Gas (μ -Newton)

Electronics + computers



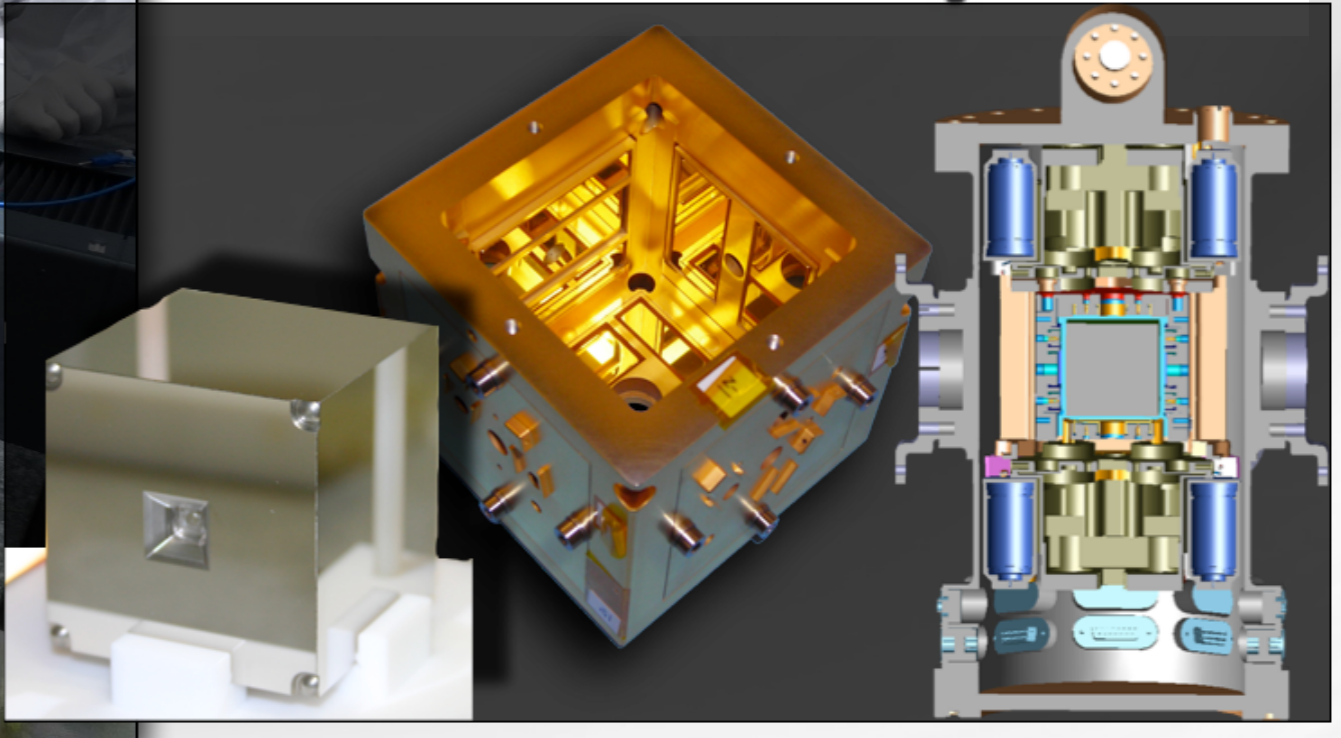
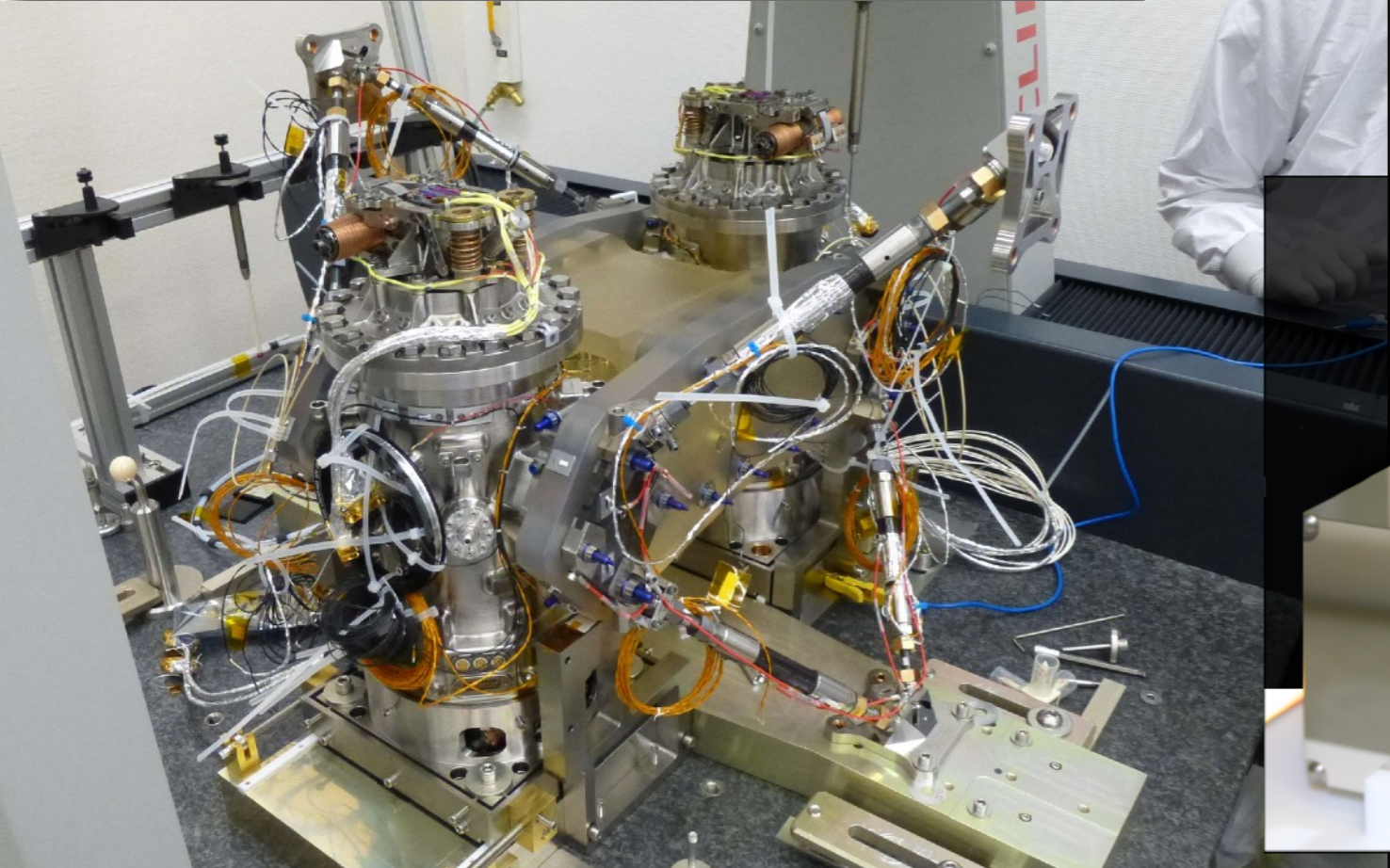
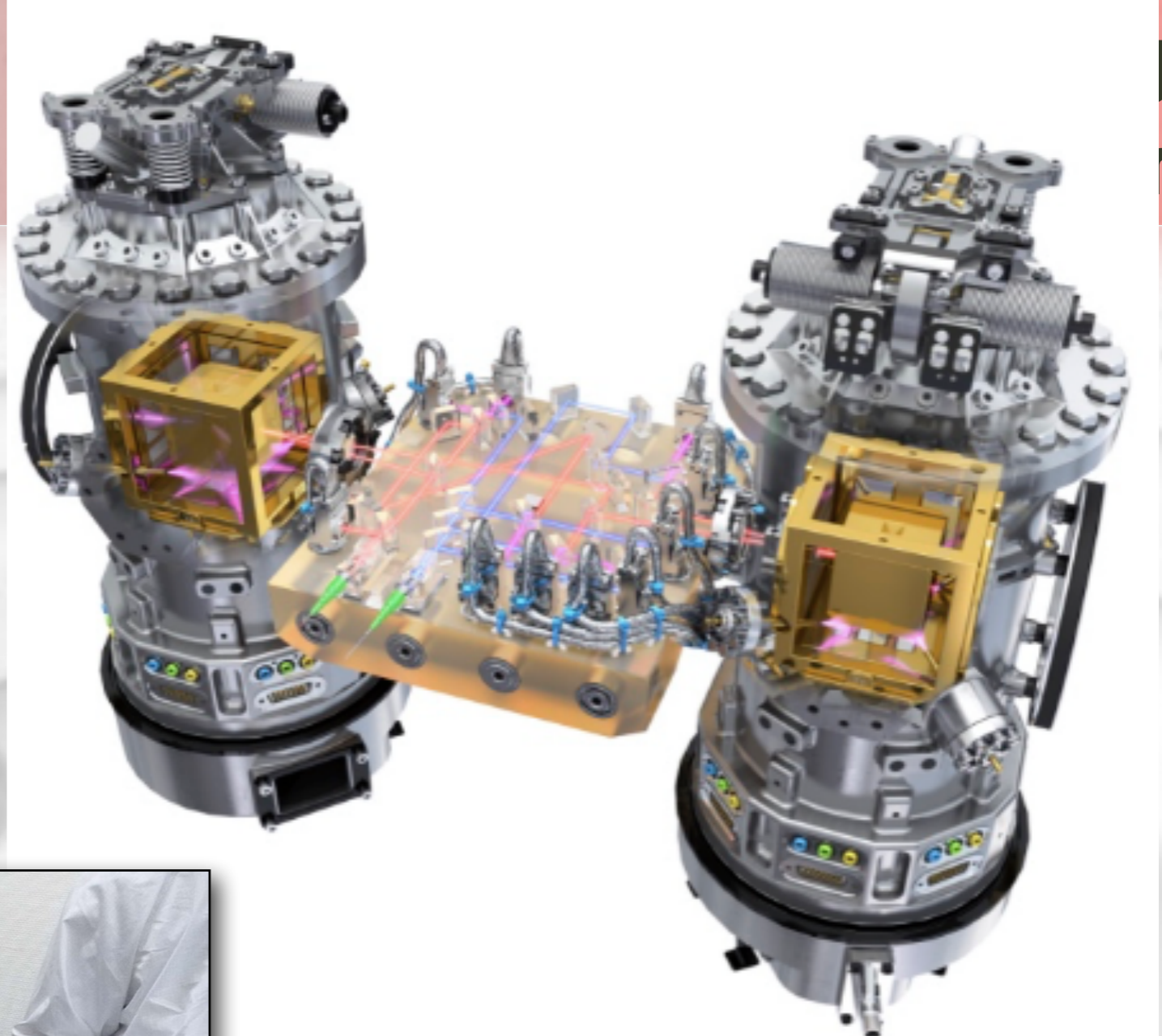
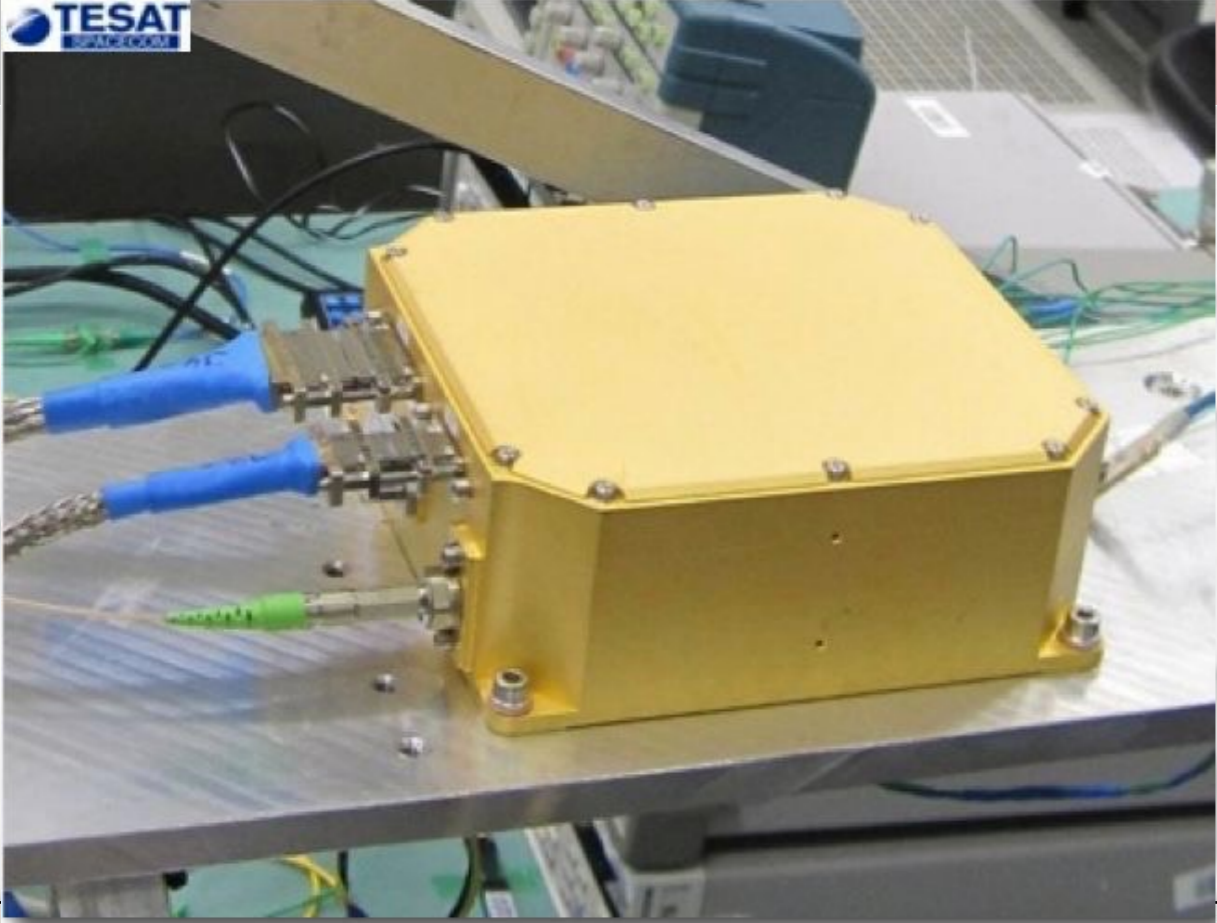
GRS & Optical Bench

Optical Bench
1picometer

UV illumination



TESAT
SPACE





iABG

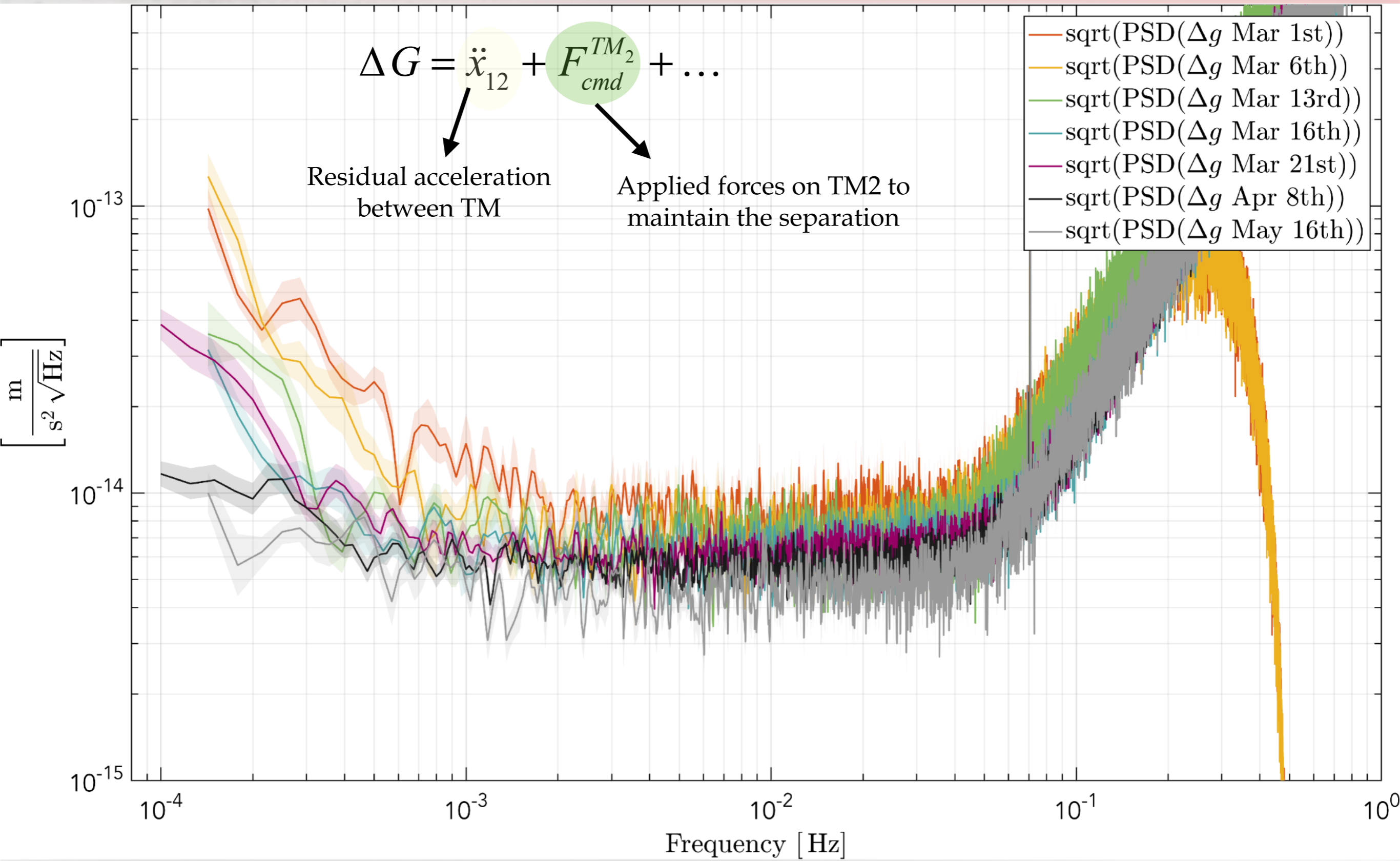
LISA Pathfinder - 03/12/15



00:28

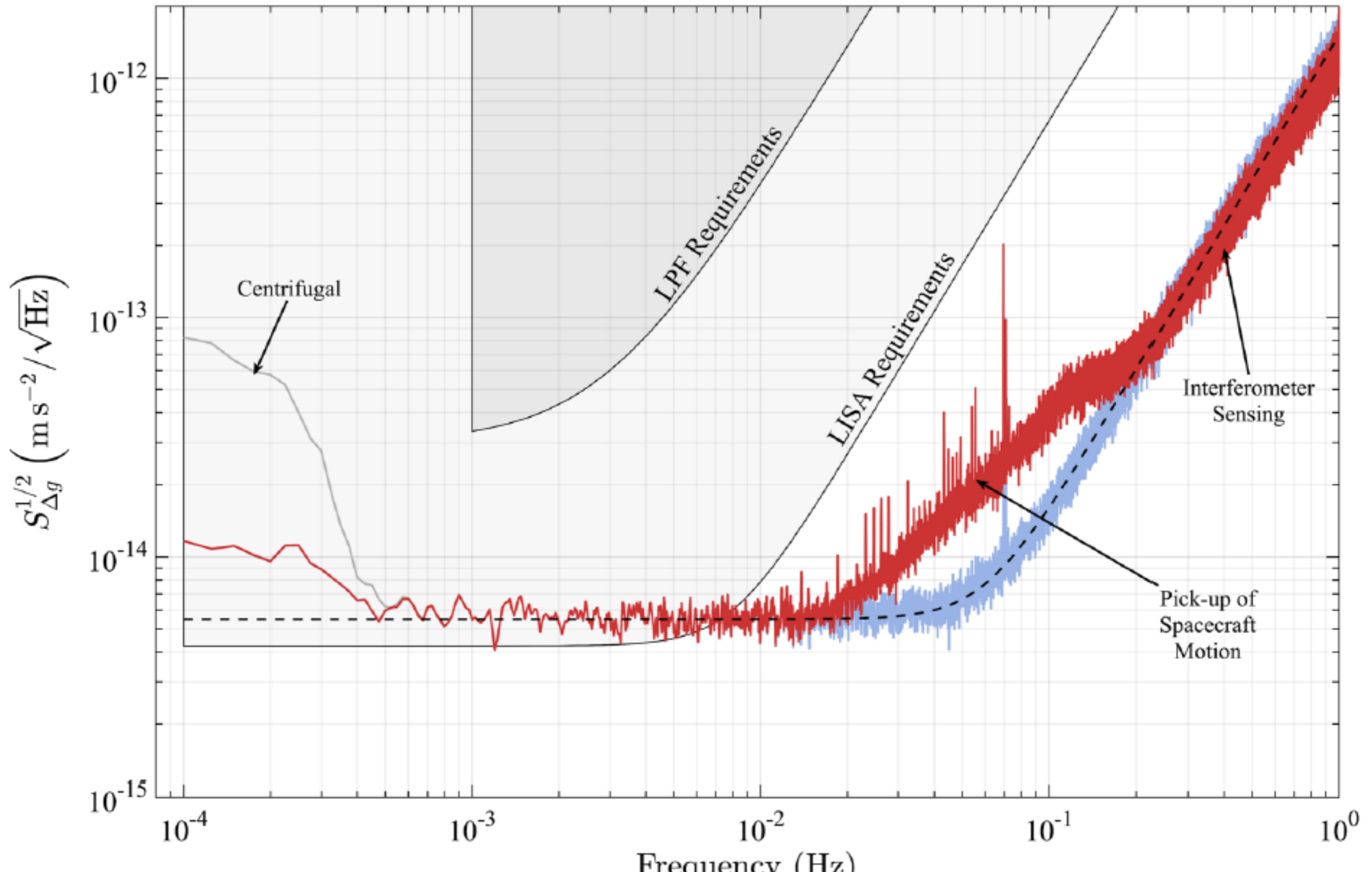


In-flight performance evolution

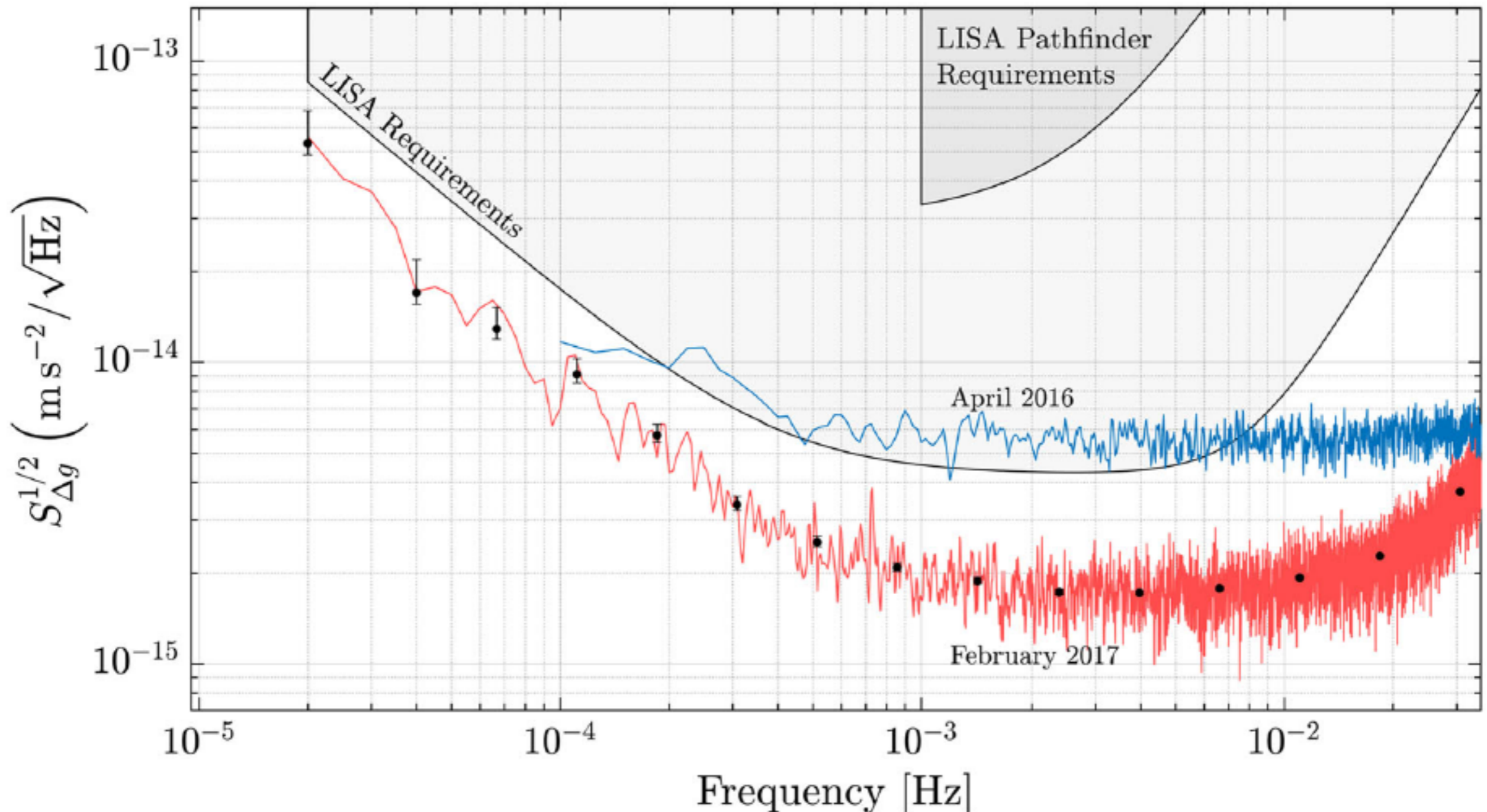




Sub-Femto-g Free Fall for Space-Based Gravitational Wave Observatories: LISA Pathfinder Results



Beyond the Required LISA Free-Fall Performance: New LISA Pathfinder Results down to $20 \mu\text{Hz}$

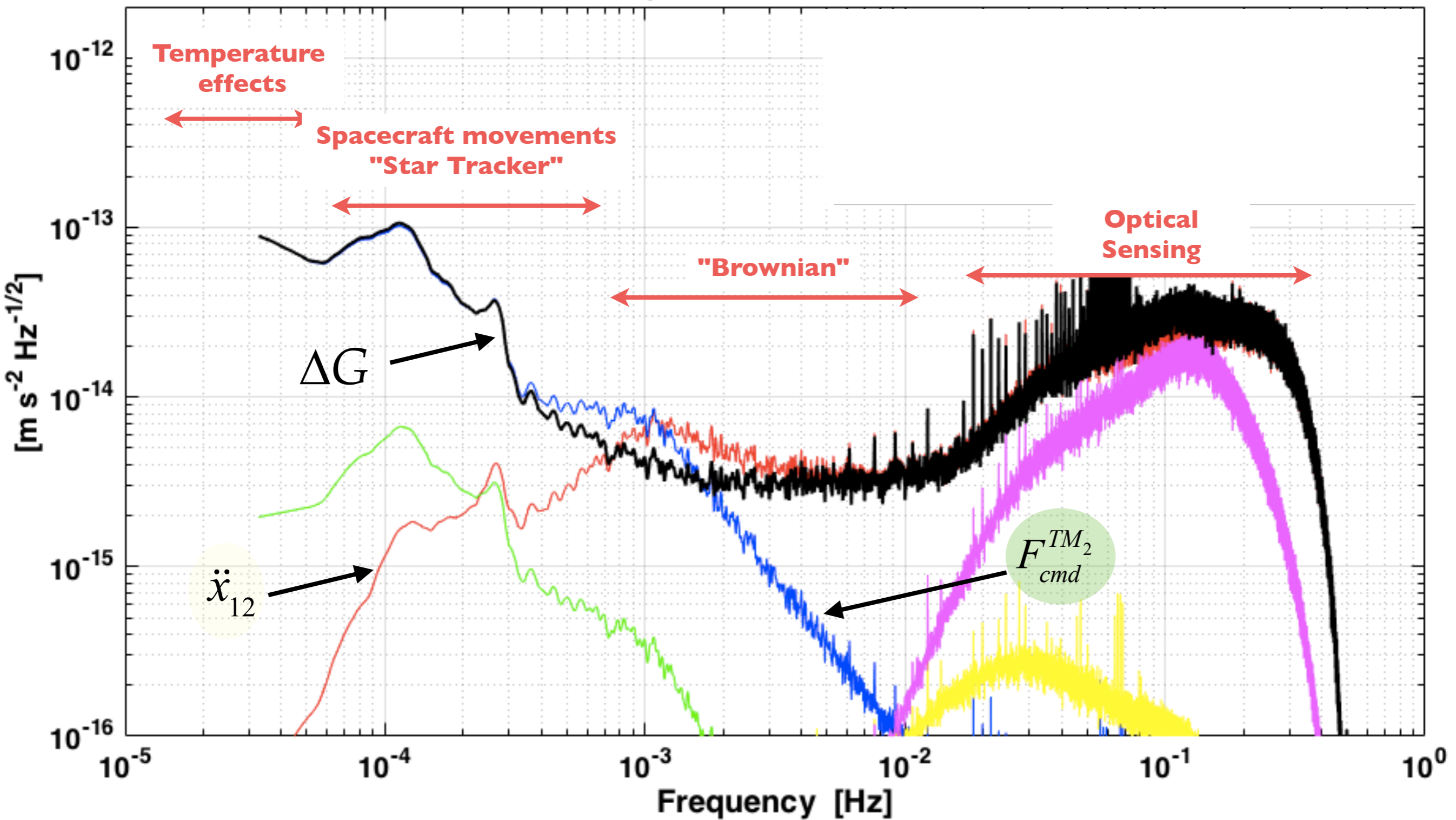


The Different Frequency Ranges

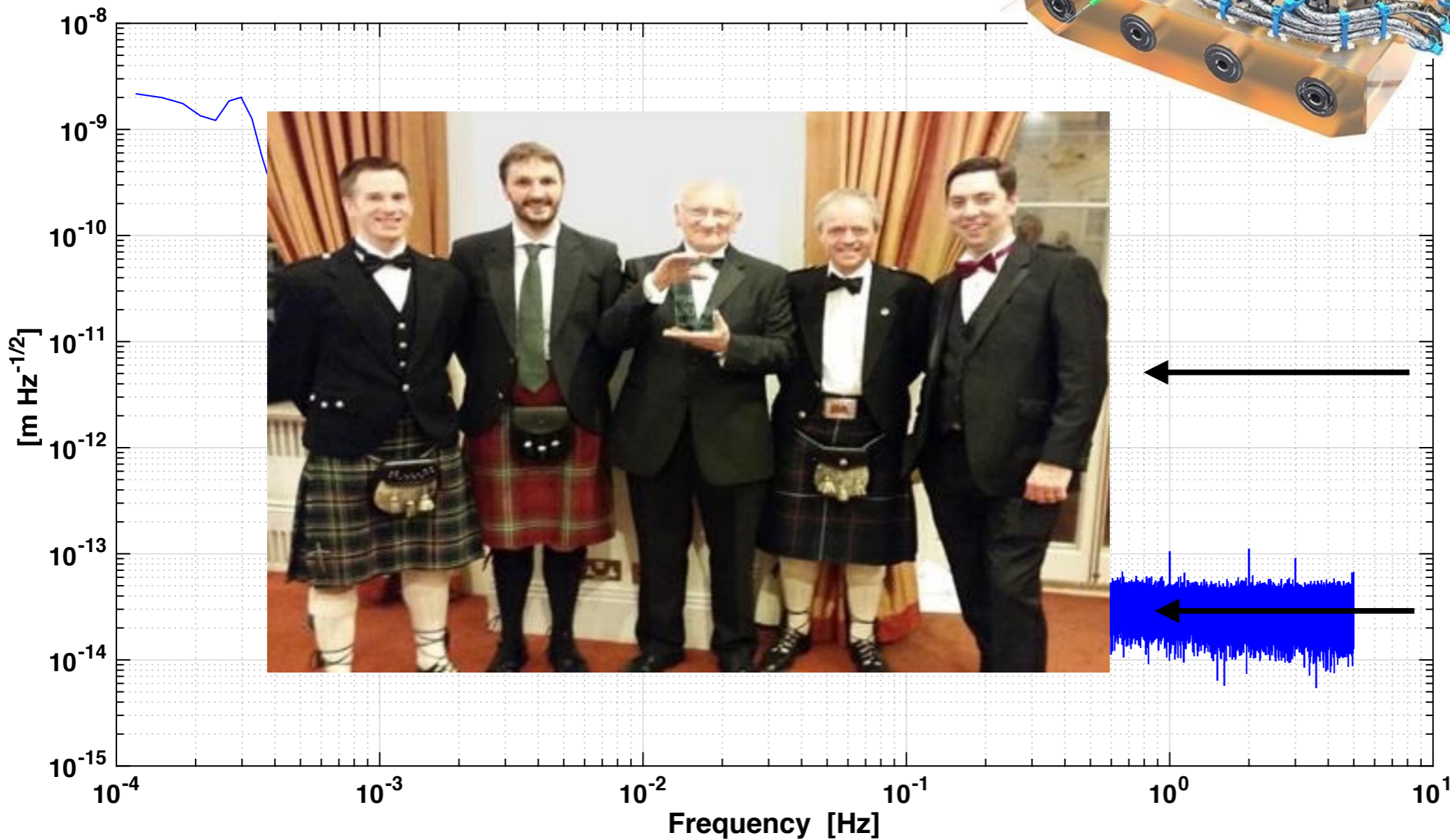
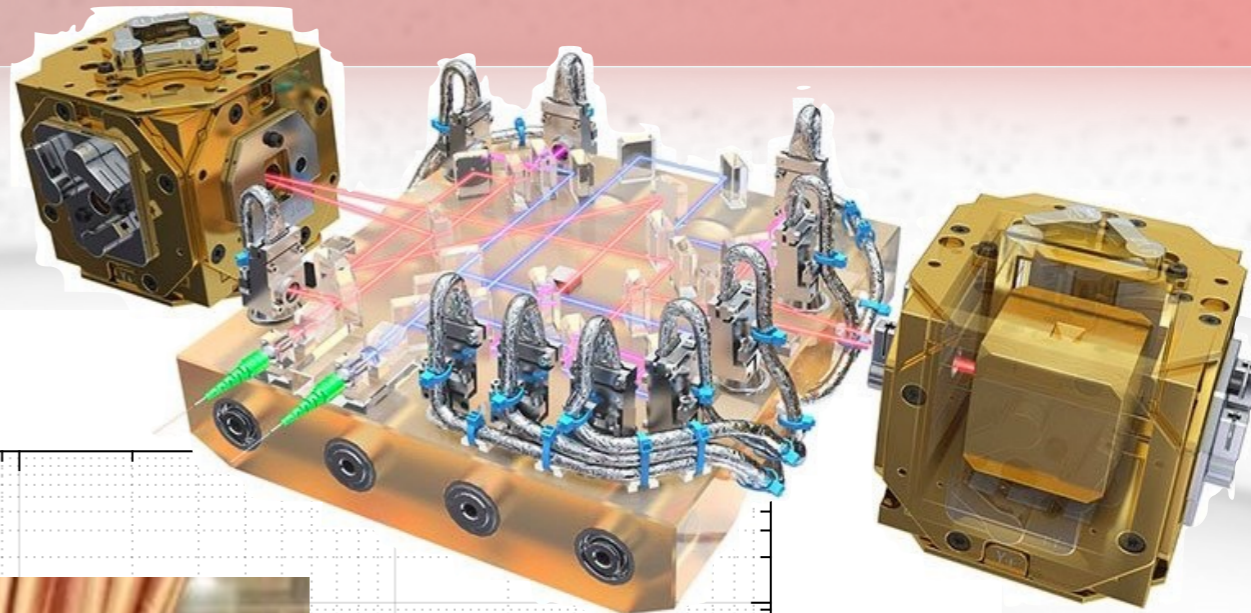
$$\Delta G = \ddot{x}_{12} + F_{cmd}^{TM_2} + \dots$$

\ddot{x}_{12} is measured by the optical bench Obtained by "on board" telemetry and precisely calibrated.

Decomposition of LPF Residual ΔG



Looking in depth: Optical Sensing Noise



in the lab
6 pico metre

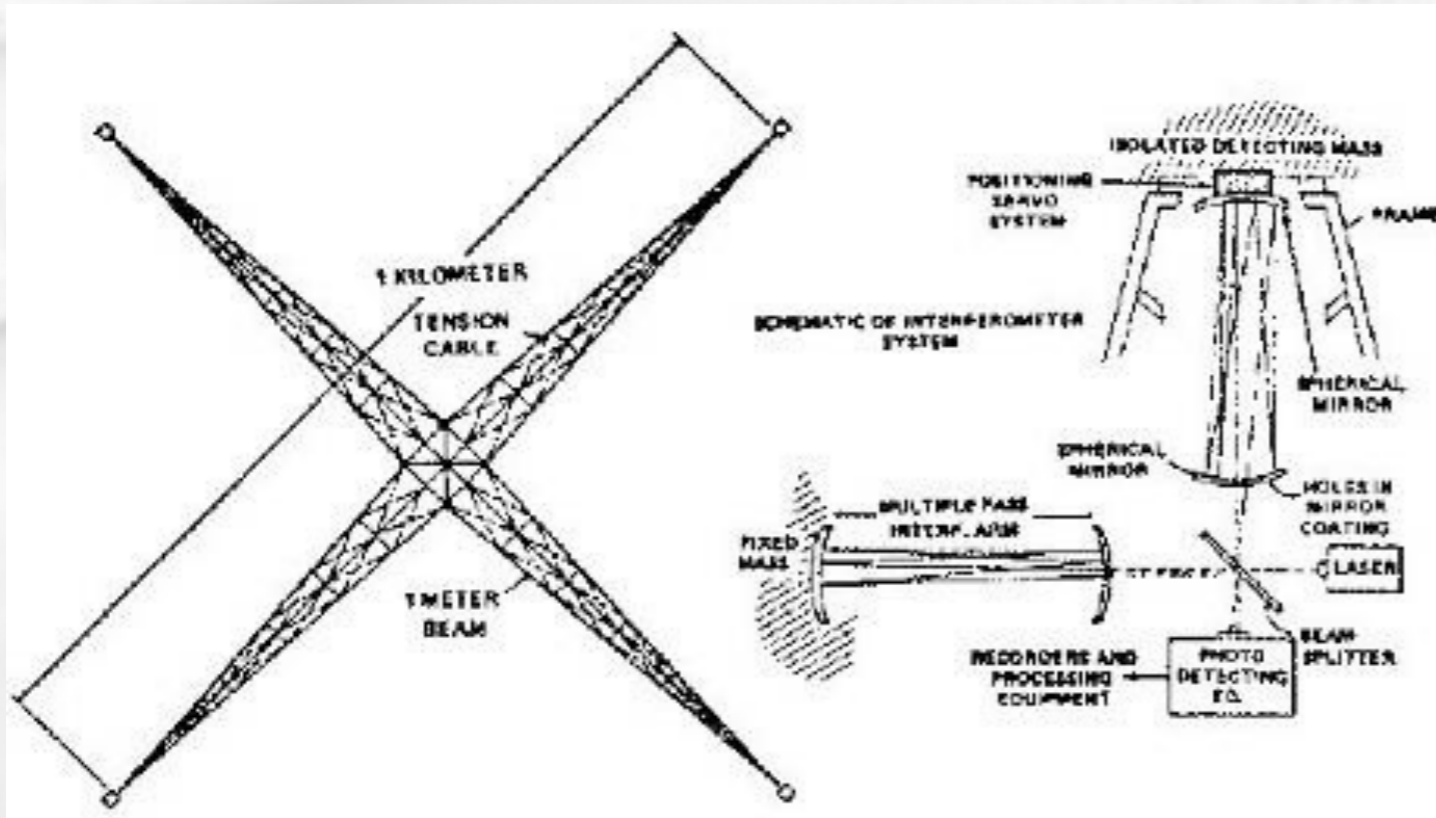
in space
0.03 pico metre



LISA France

Profil mission LISA

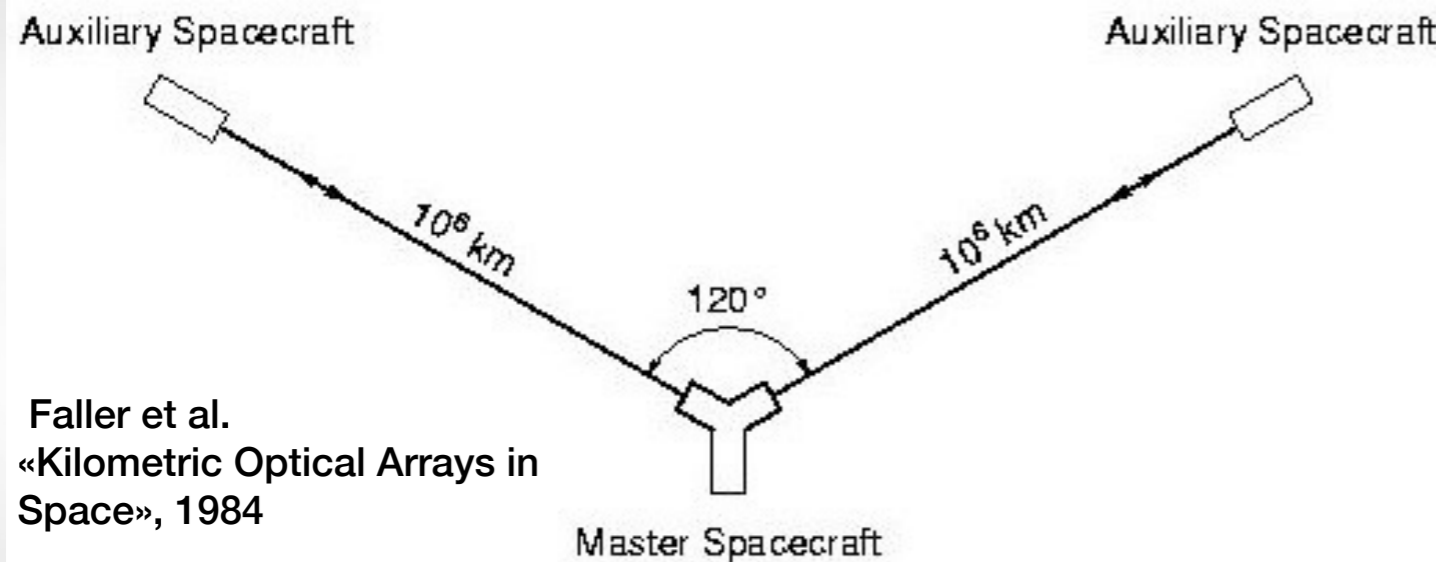
LISA : genèse d'une mission spatiale



Premières études NASA




Based on laser experiments from Apollo missions...




structure rigide 1x1 km (1978)

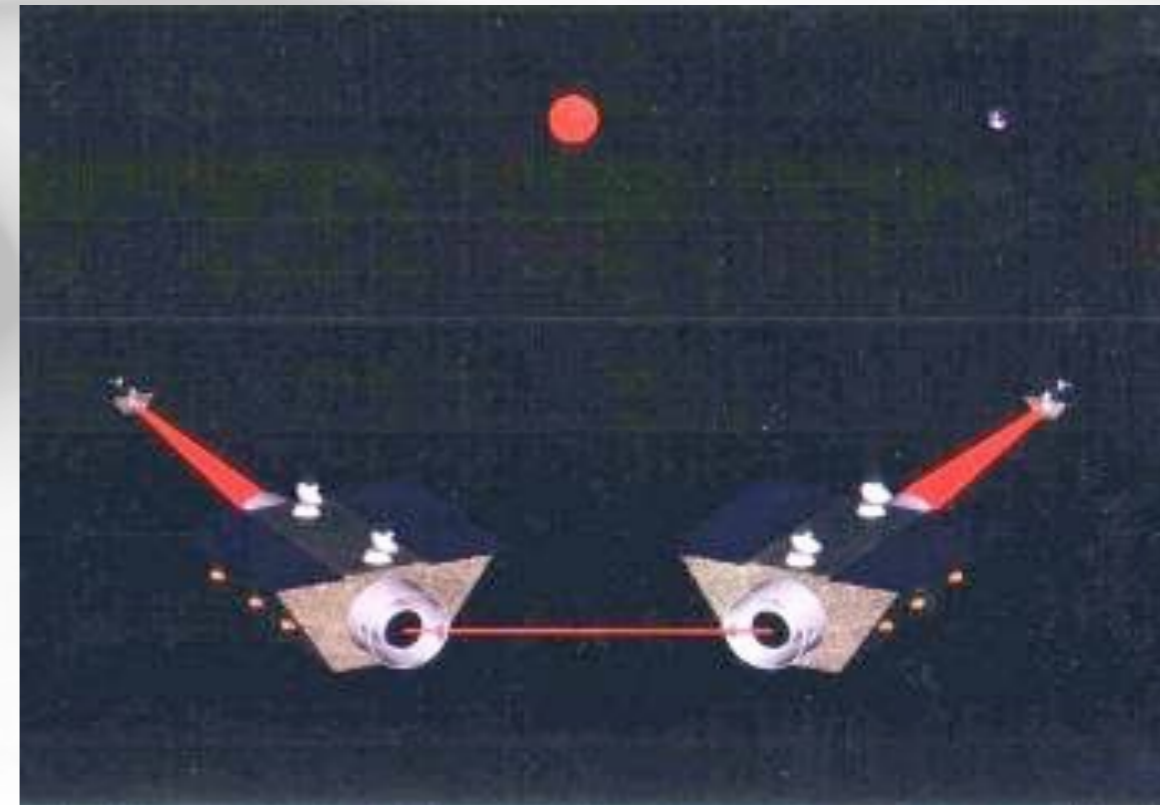











Faller et al.
«Kilometric Optical Arrays in Space», 1984

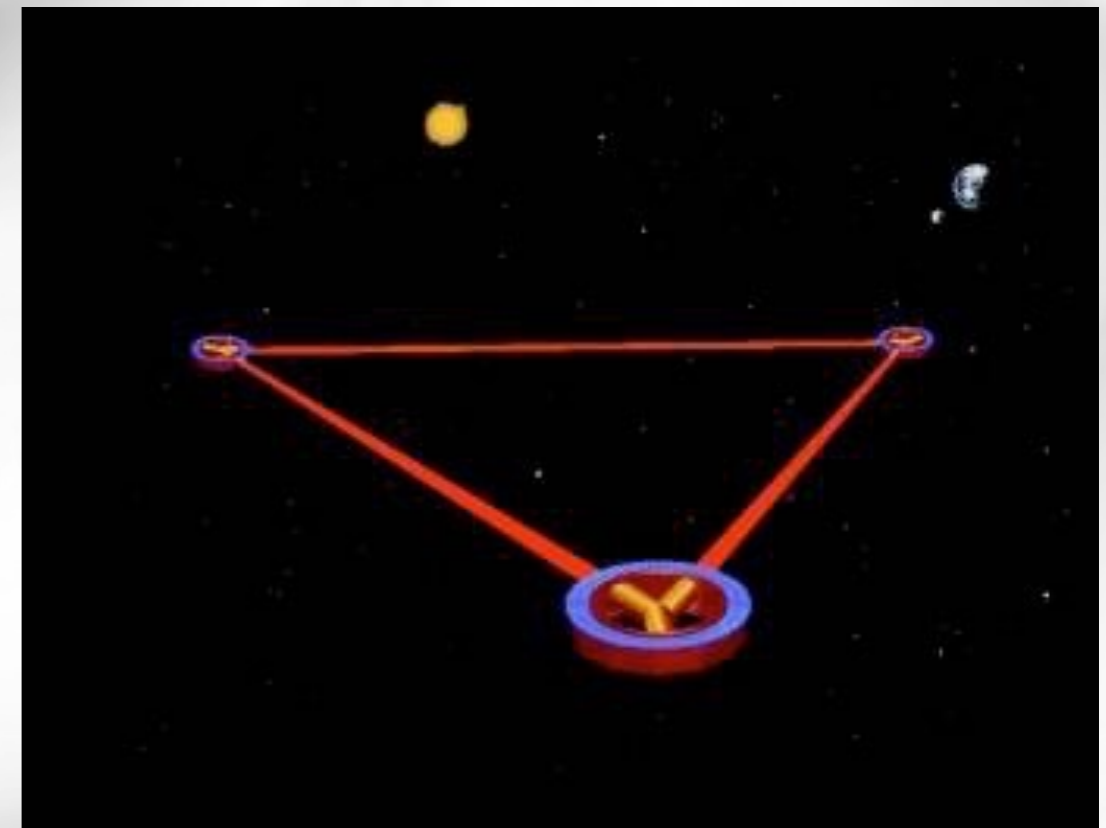
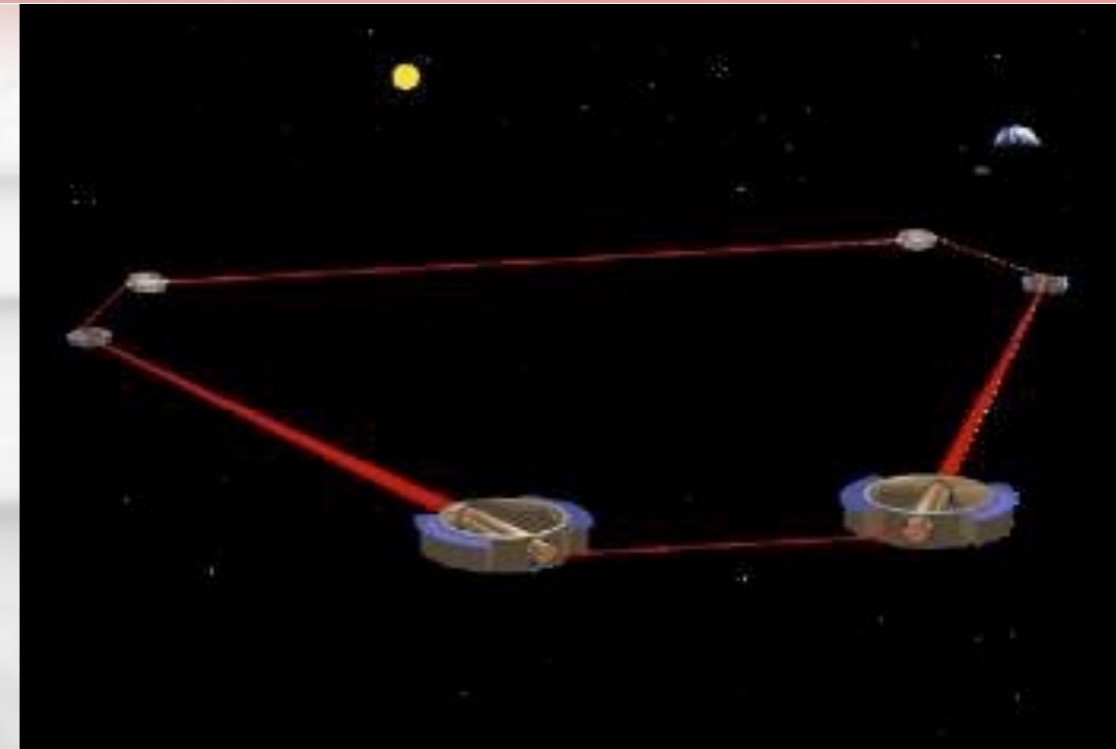
3 satellites en vol libre (années 80), bras d'1 Mkm

-  Proposition conjointe ESA/NASA en 1993 (4 satellites)
 -  Apparition du nom LISA
 -  Sélection pour étude de faisabilité par l'ESA

-  Compromis entre orbite héliocentrique et géocentrique :
 -  Gradients de gravité et thermiques importants en orbite géocentrique
 -  Longueurs des bras limités en orbite basse



-  Proposition en 1993/94 :
 -  6 satellites en orbite héliocentrique
 -  Sélectionnée comme projet « pierre angulaire » par l'ESA
-  1997 : réduction à 3 satellites :
 -  en collaboration avec la NASA
 -  configuration finale ...
-  Jusqu'en 2011, mission conjointe ESA-NASA :
 -  mission L du programme Cosmic Vision à l'ESA
 -  en concurrence avec IXO et Laplace
-  En 2011, proposition de mission sous responsabilité ESA :
 -  conséquence de l'absence de priorité NASA sur les missions conjointes et du manque de financement US au-delà du JWST
 -  réduction du coût de la mission (plus de participation NASA)
 -  redéfinition du projet ...



Processus de sélection des 3 missions 'Large' de l'ESA

 Décembre 2011 : appel à mission pour la mission L1

 Mai 2012 : sélection de JUICE (JUUpiter ICy Moons Explorer), départ en 2022, arrivée en 2030.

 Mai 2013 : appel à 'thèmes scientifiques' pour les missions L2 et L3

 ≈ 40 propositions reçues à l'ESA

 Sélection en Novembre 2013 :

 L2 (départ 2028) : 'L'Univers Chaud' (astronomie X) \Rightarrow mission Athena+

 L3 (départ 2034) : 'L'Univers Gravitationnel'

THE GRAVITATIONAL UNIVERSE

A science theme addressed by the *eLISA* mission observing the entire Universe

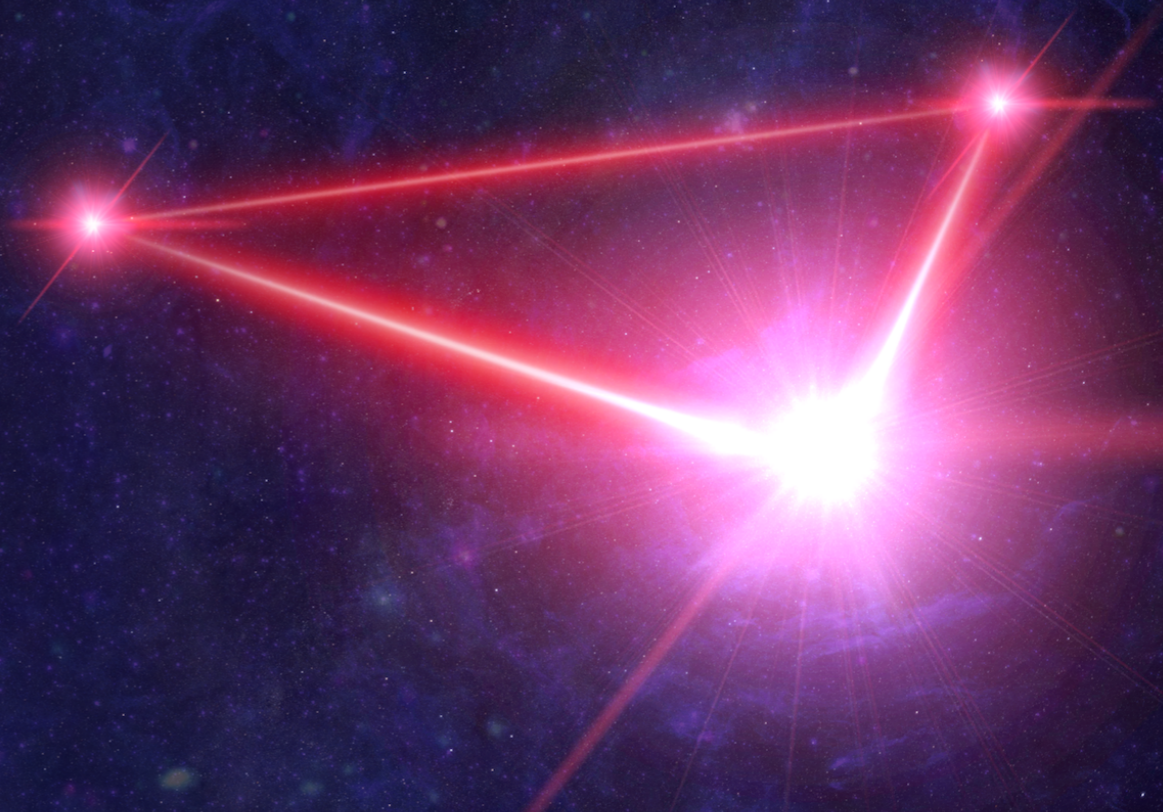


LISA : genèse d'une mission spatiale

- 🌐 October 2016 : call for proposal for the L3 mission slot
 - 🌐 LISA submitted in january 2017
- 🌐 LISA selected as L3 mission in spring 2017
 - 🌐 Launch expected in 2034/2035
- 🌐 Proposal :
 - 🌐 https://www.elisascience.org/files/publications/LISA_L3_20170120.pdf



LISA
Laser Interferometer Space Antenna



A proposal in response to the ESA call for L3 mission concepts

LISA will be complementary of other operational instruments in 2035 - 2045

3rd generation of interferometric GW ground-based detectors (Einstein Telescope, Cosmic Explorer) and Pulsar Timing Array

- Broad simultaneous coverage of the GW spectrum from nHz to kHz
- LISA as early (years in advance...) detection system for some binary sources coalescing in the ET/CE band
- Detection or constraints on the GW backgrounds from the early Universe (at 10^{10} GeV)

Multimessenger astronomy

- With ATHENA for observing the X-ray emission emitted by discs around coalescing massive black holes.
- With wide field telescopes (e.g. LSST, SKA) for identifying e/m counterparts and host galaxies
- With large telescopes on ground (ELT, TMT, GMT) and in space (JWST) for the measurement of redshifts at cosmological distances

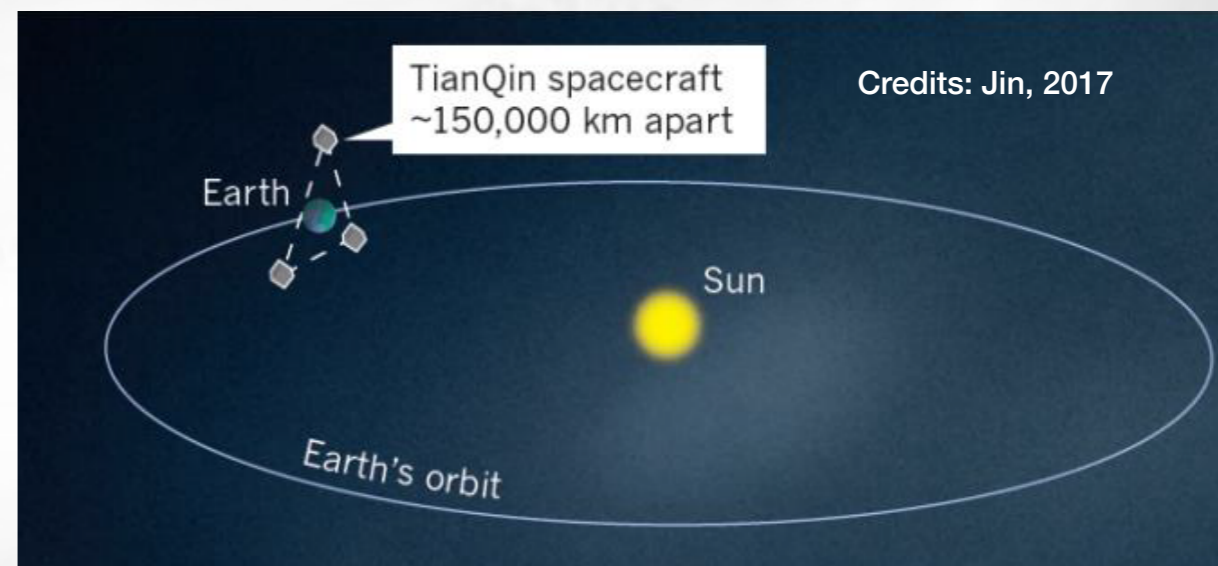
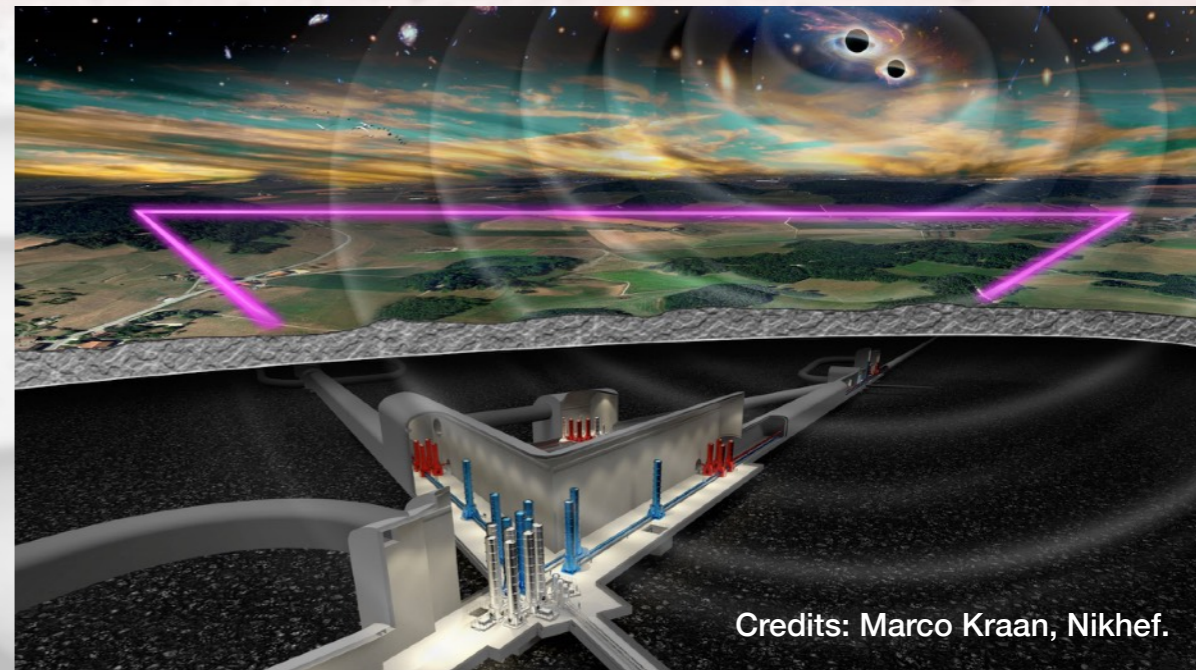
Particle physics

- LISA may be complementary to future colliders to identify physical processes at the TeV scale: constraints on cosmic strings, inflation, ...









No equivalent mission with the same objectives in the same time frame

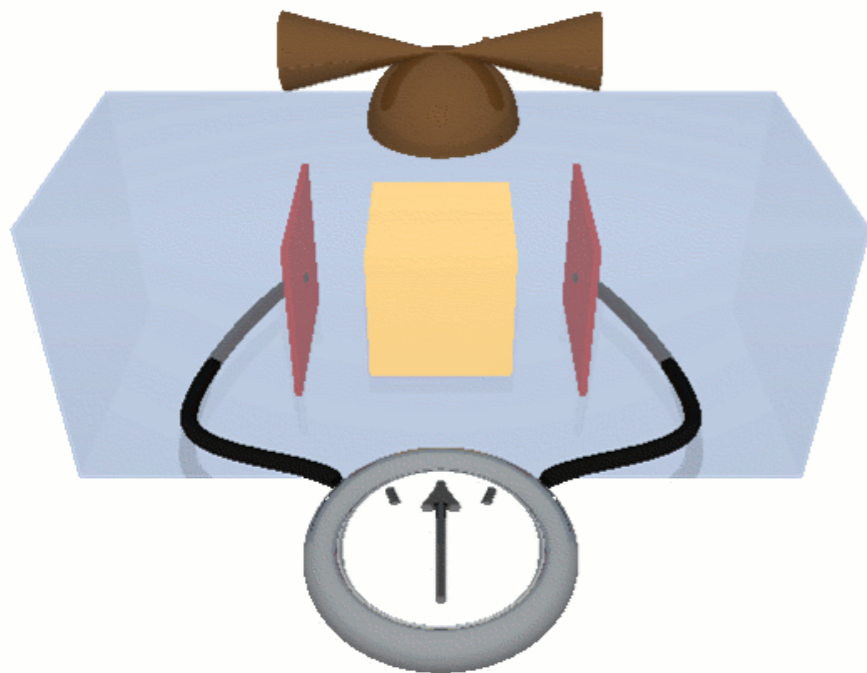
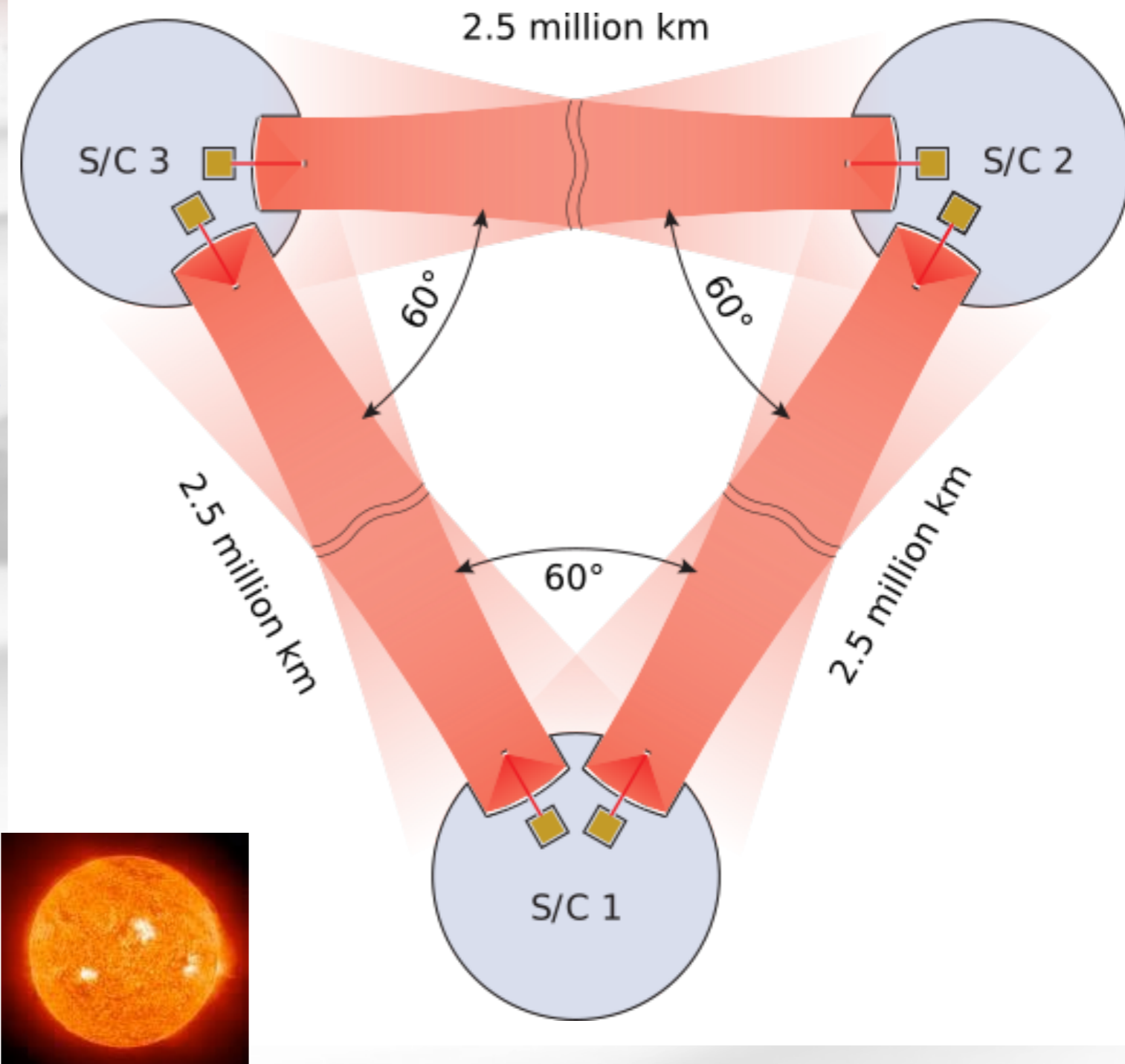
Active development of the TianQin mission by the Chinese Academy of Science

- Rapidly progressing but still a lot of technologies to master
- Launch of TianQin in the same timeframe as LISA difficult to assess

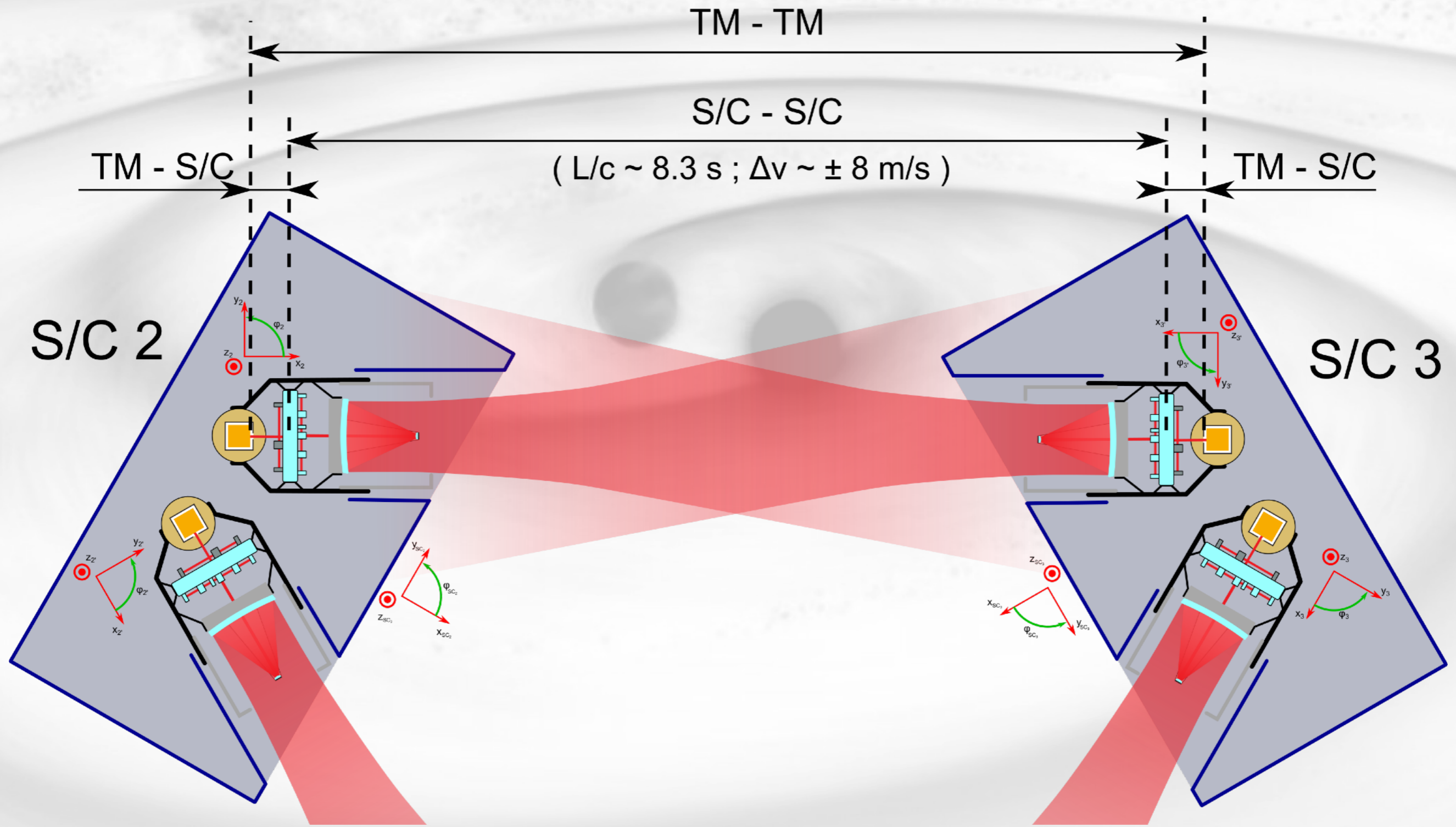


LISA Interferometer

-  Equilateral configuration
 -  3 arms / 6 links ; 2,5 Mkm
-  Inertial test masses
 -  Direct heritage from LISA Pathfinder
 -  2 TM / satellites
 -  2 steerable optical benches / satellite
-  Typical metrology requirement :
 -  $\sim 10 \text{ pm}/\sqrt{\text{Hz}} @ 1 \text{ mHz}$

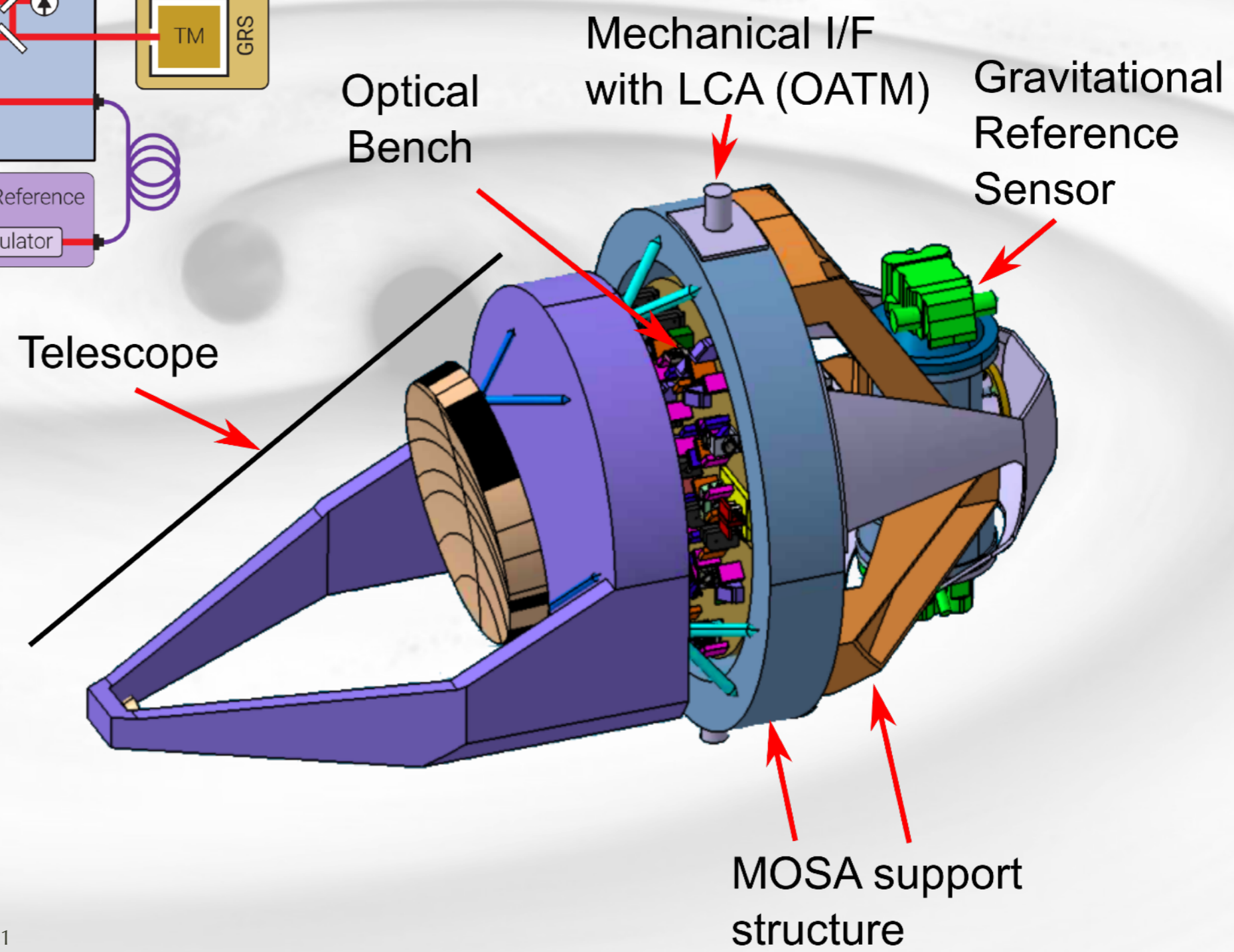
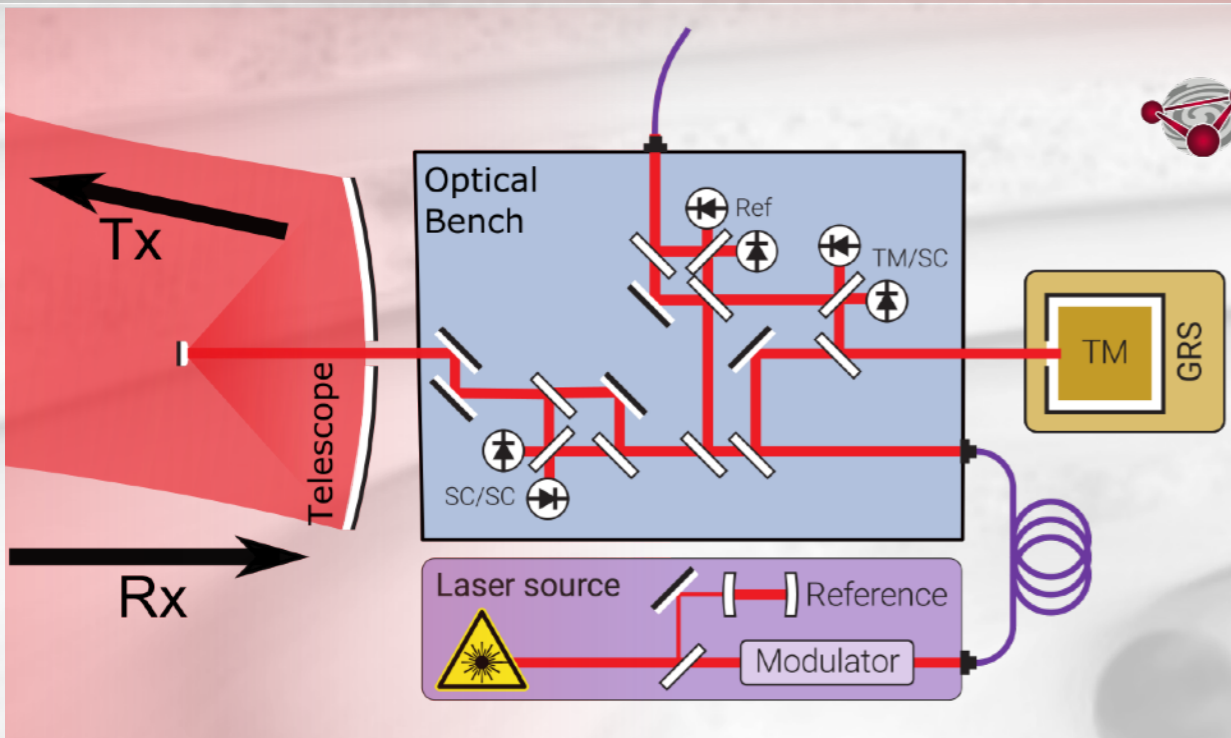


Measurement principle



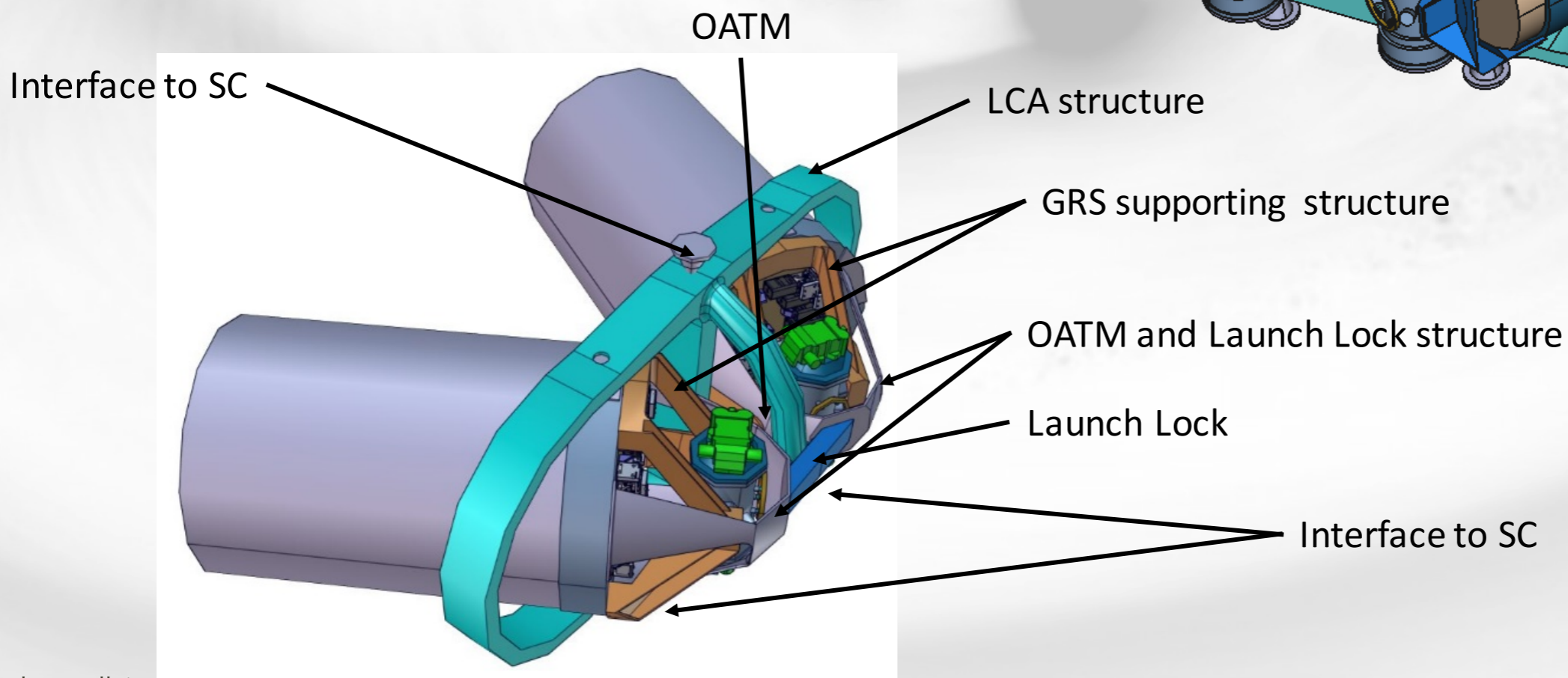
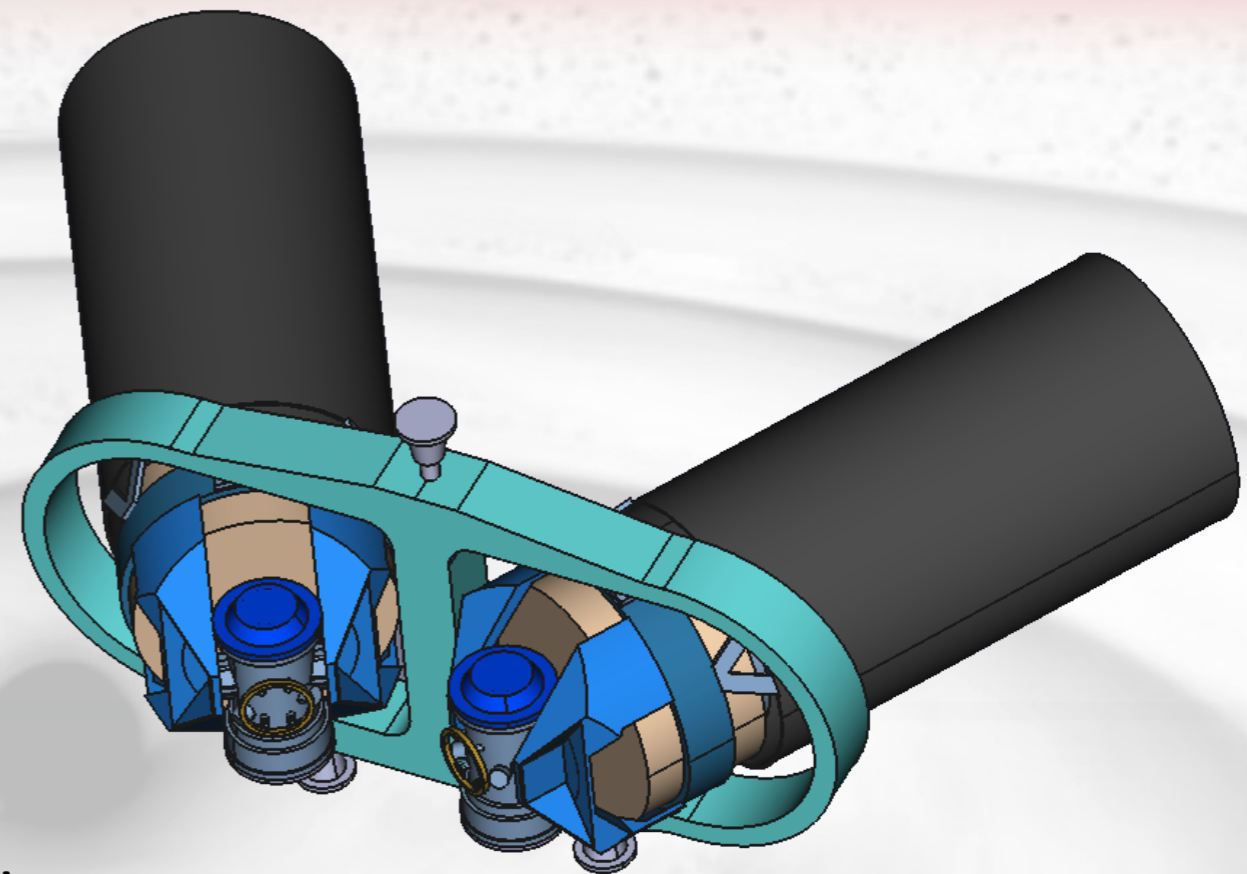
Scheme of a instrument

MOSA = Movable Sub-assembly



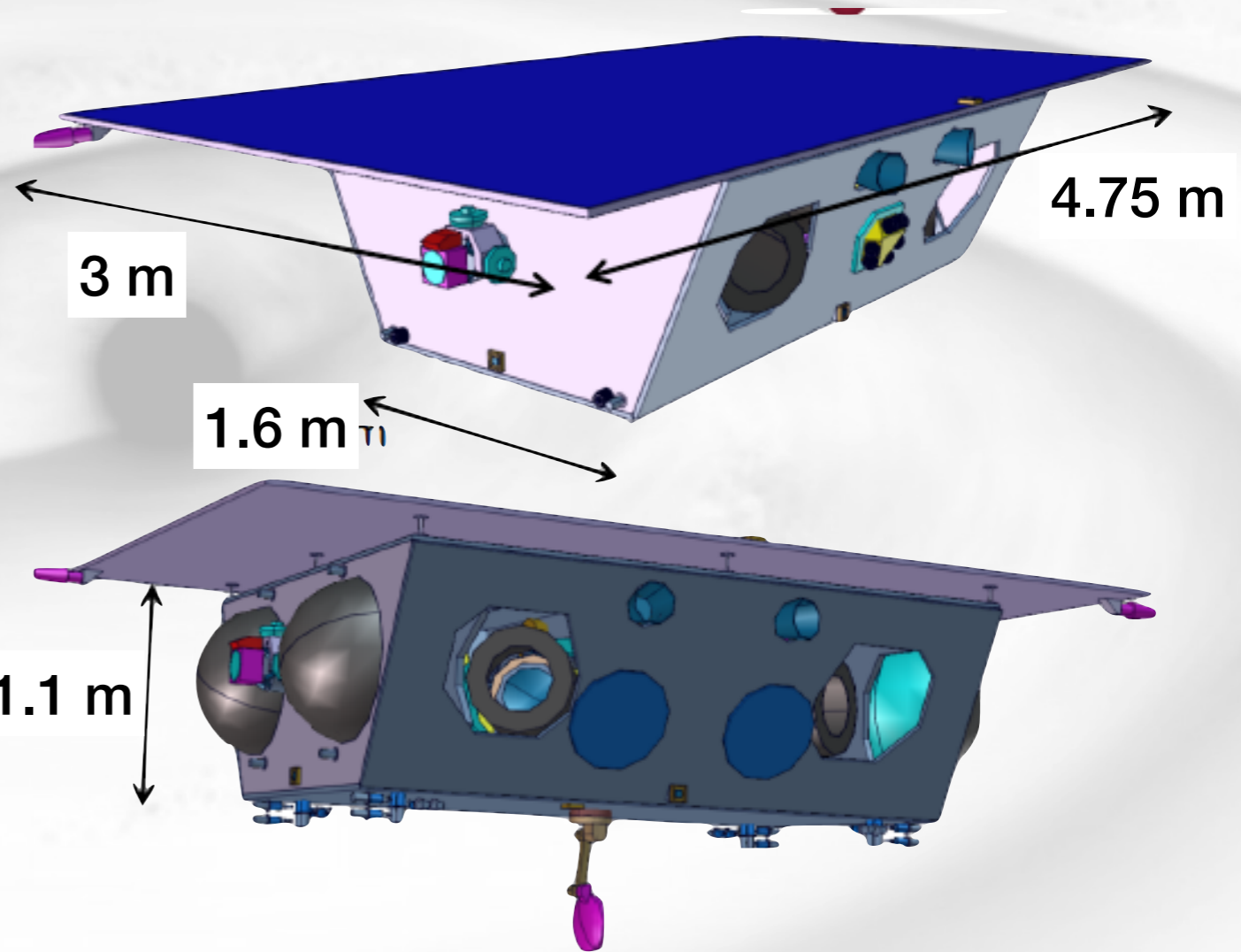
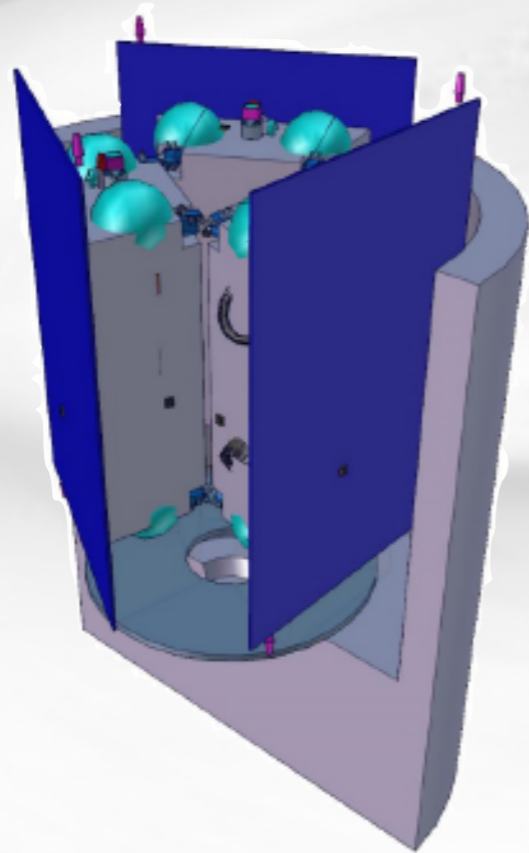
Two MOSAs form an LCA ...

 LCA = LISA Core Assembly









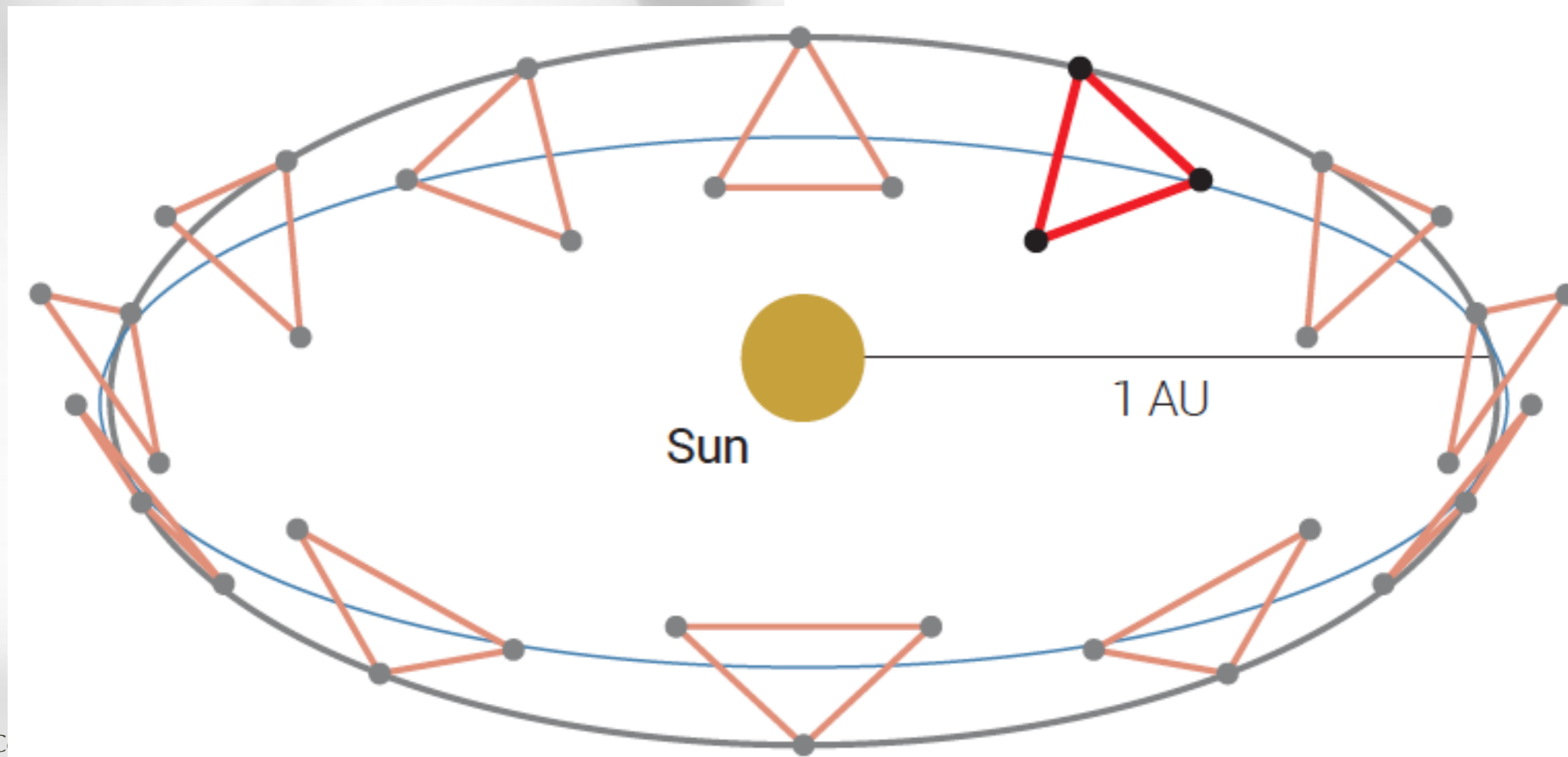
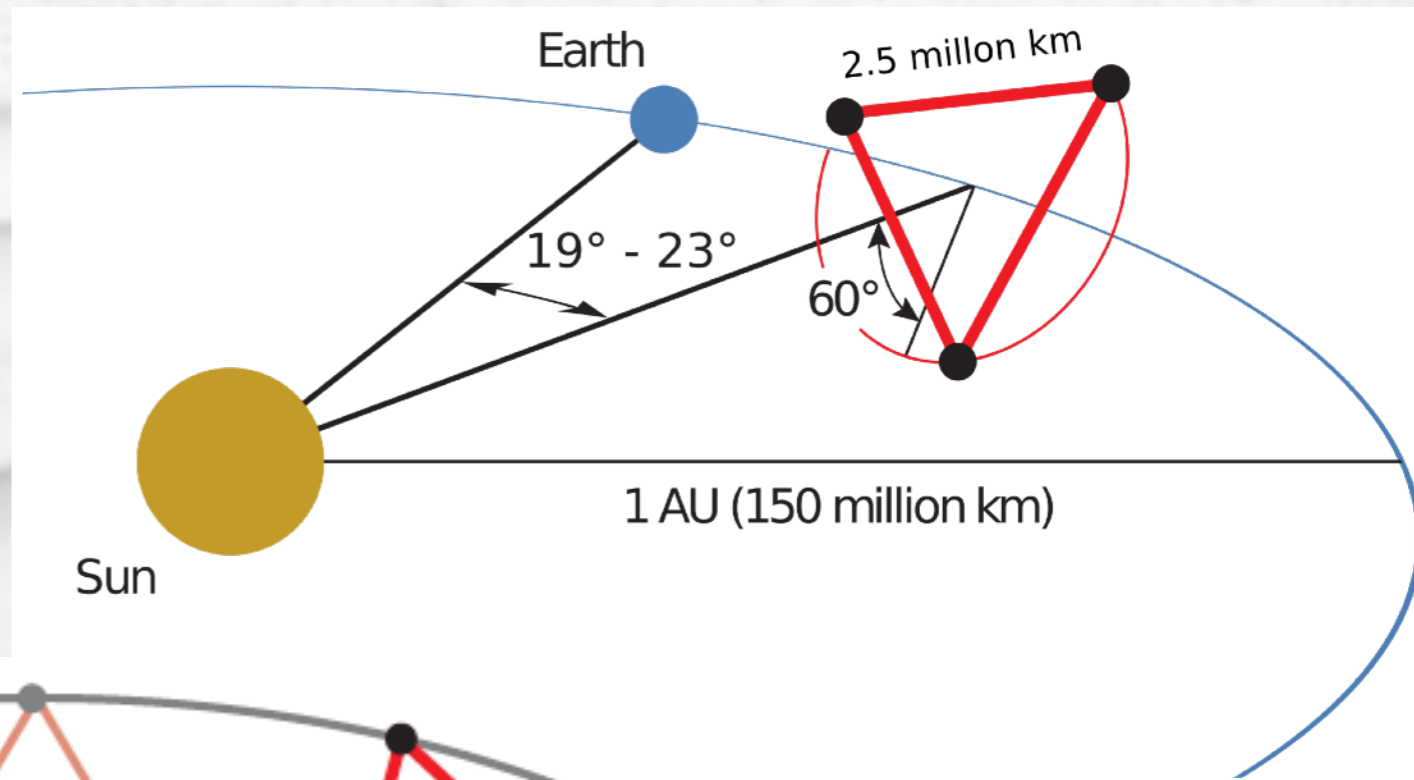
Three S/C fit into an Ariane 6.4


















Configuration orbitale

Orbites terrestres

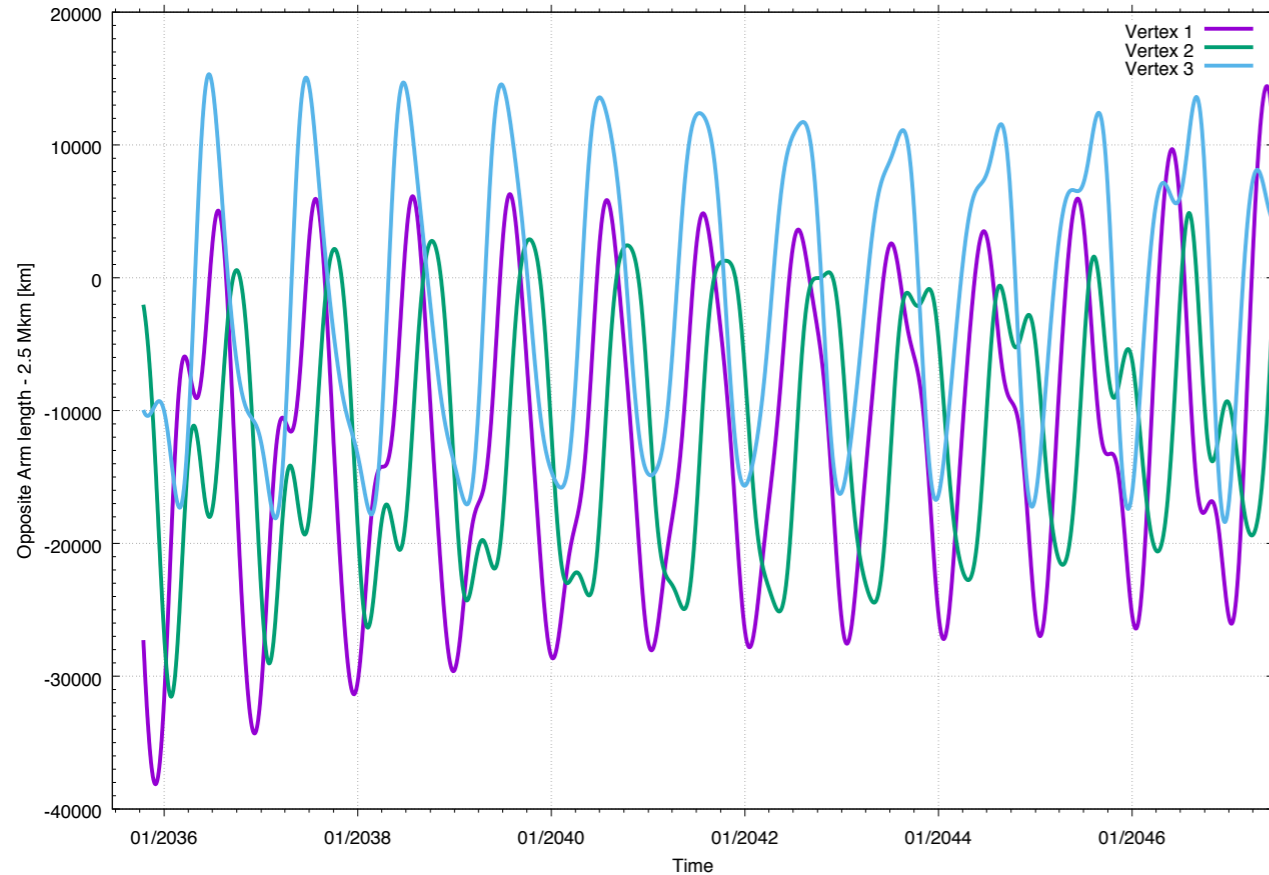
-  19° à 23° derrière la Terre
-  Durée de mission :
 -  6 ans nominal (>4 ans effectif)
 -  consommables pour 10 ans



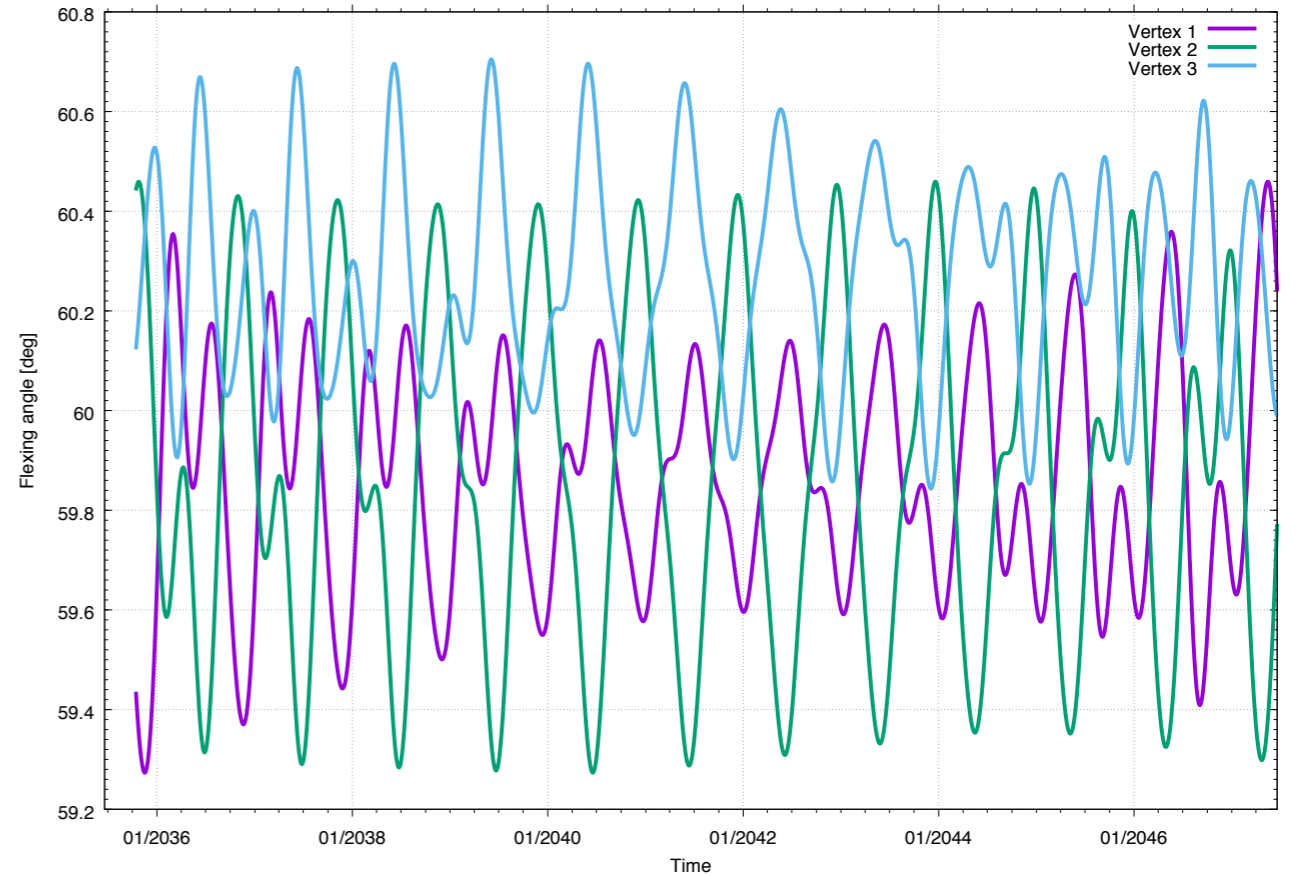
-  On veut, pour une durée de 10 ans :
 -  Minimiser la déformation du triangle due aux perturbations gravitationnelles de la Terre (flexing / Doppler)
 -  Maintenir un débit de communication suffisant avec la Terre (donc pas trop loin...)
 -  Avoir une masse au décollage compatible avec un lancement Ariane 6.4 (donc pas trop de carburant pour aller à poste)
-  Résultats :
 -  Lancement avec échappement direct
 -  Les satellites ne sont plus liés à l'attraction terrestre après le lancement
 -  Propulsion électrique
 -  Impulsion spécifique importante, consommation faible (mais poussée limitée, ~80 mN)
 -  Transfert en 540 jours max
 -  Plus long qu'en propulsion chimique mais moins de masse de carburant
 -  4 poussées par satellite
 -  Trajectoire 'balistique' : LISA se rapproche de la Terre puis s'éloigne
 -  Flexing : ± 0.7 deg
 -  Doppler : ± 6 MHz

Orbites et mise à poste

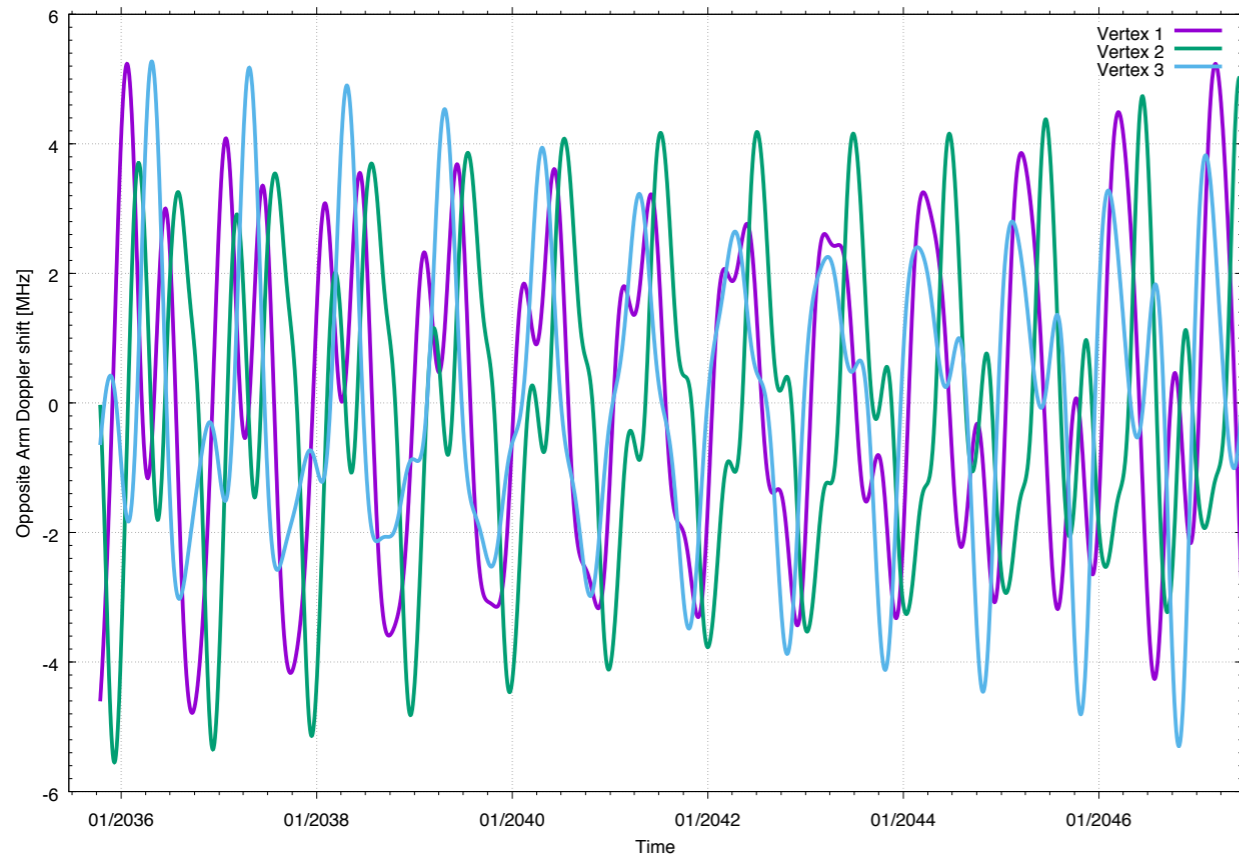
Opposite arm length (L6A2.5M12E65W6CInfS1600)



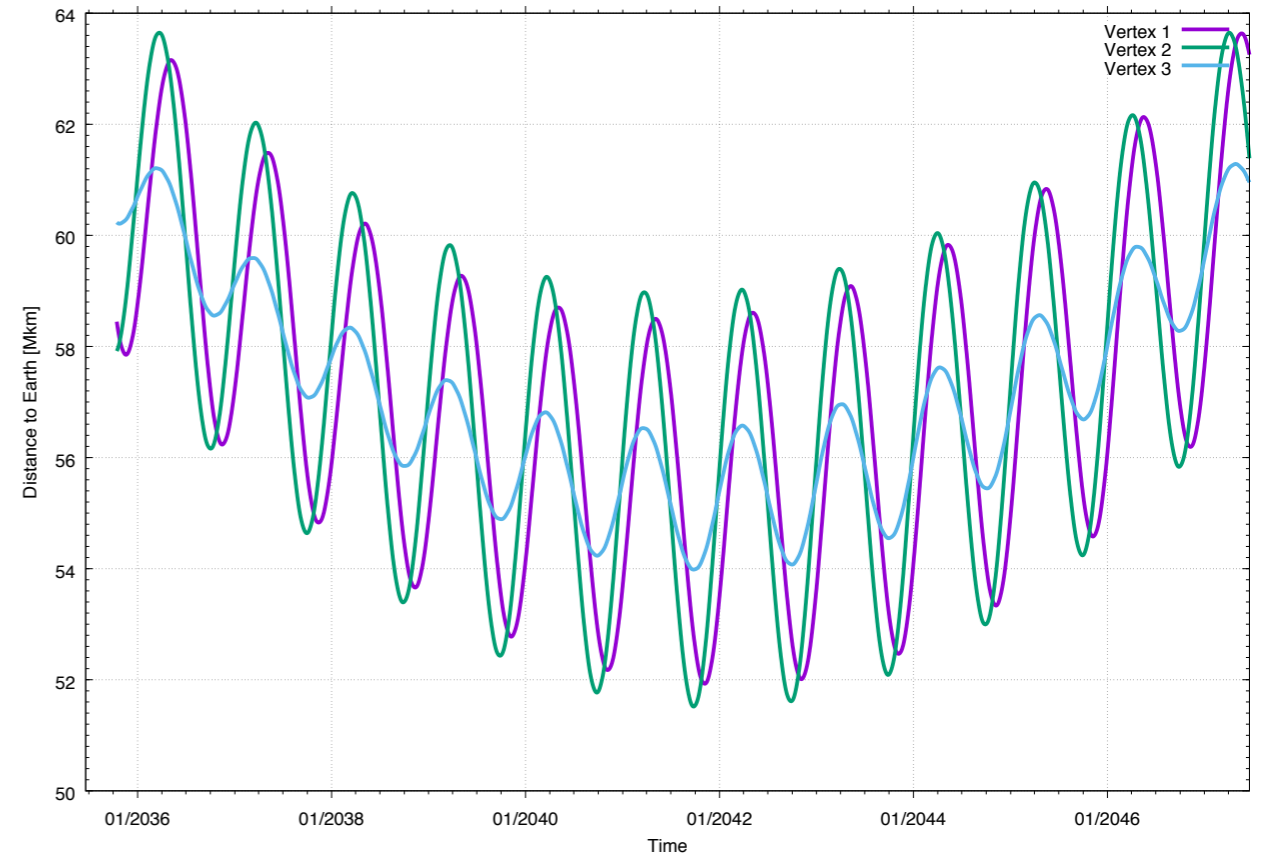
Flexing angle (L6A2.5M12E65W6CInfS1600)



Opposite arm Doppler shift (L6A2.5M12E65W6CInfS1600)



Distance to Earth (L6A2.5M12E65W6CInfS1600)



Number of arms / laser links:

 2 or 3 arms (i.e. 4 or 6 laser links)


 3 arms Pros :

 Allow forming 2 (noise) independent interferometers.

 more robust to the noise rejection and increased sensitivity

 Allow to better determine the GW polarization

 hence the aspect angle and distance of the source)

 More robust to the loss of a laser link

 3 arms Cons :


 Increasing the number of laser links implies additional 'instruments' (telescope + optical bench + GRS + phasemeter +...)

 hence a mass, volume and (some) cost increase.


Armlength:

 1 to 5 Mkm

 The armlength changes the antenna frequency response

 an interferometer with arms of equal length L is sensitive up to a wave cut-off frequency of $c/(2L)$ (=150 mHz for $L=1$ Mkm)

 The low frequency cut-off is due to the residual acceleration noise, independent of L

 Increasing the armlength has also major impacts on the instrument design and noise performance:





 Larger shot noise (due to free space losses) for a given emitted laser power

 Larger relative S/C velocities, hence deeper Doppler modulation, which will require more complex frequency planning (laser frequencies jumps) to fit within the phase measurement system bandwidth



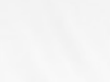



 Larger point ahead angle (PAA): a point ahead angle mechanism (PAAM) is required if the PAA is greater than the instantaneous FOV.

Paramètres dimensionnant

Telescope diameter:

-  20 to 40 cm
-  The telescope diameter defines the divergence of the beam as well as the collection area. It has a major impact on shot noise.
-  For the same reason, it defines the instantaneous field-of-view of the instrument and is therefore linked to the need of a PAAM.
-  Increasing the size of the telescopes also increases the mass and volume of the instrument and is more difficult to manufacture at the required surface accuracy.

Mission duration:

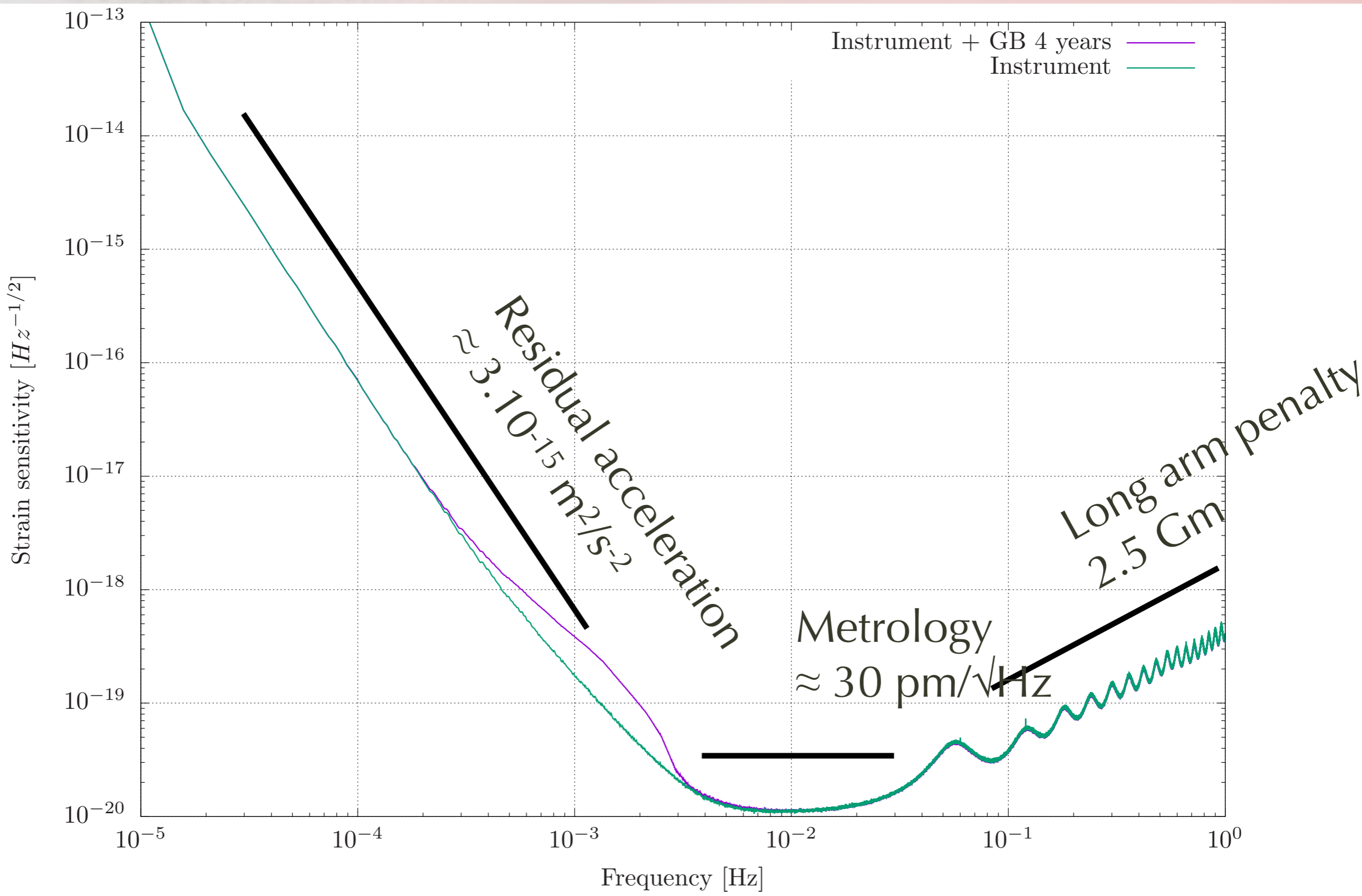
-  2 to 10 years
-  In the present context, the mission duration is the time over which the stability of the constellation is optimized (flexing, armlength, distance to Earth, total wet mass, etc).
-  Increasing the mission duration requires a slow drift away velocity
 -  therefore, a larger gravitational influence of the Earth and a degraded stability (higher Doppler shifts, flexing, etc)
-  The mission duration has also an impact on the required tank capacity for station keeping (hence on the S/C mass).
 -  Gold gas propellant required for counter acting the solar wind pressure

Mission Duration [Years]	Parameter	Linear trend
2	Armlength breathing (km, peak-to-peak)	$5\,000 \times L_{\text{arm}}[\text{Mkm}] \text{ km}$
	Maximum Doppler shift (MHz)	$1 \times L_{\text{arm}}[\text{Mkm}] \text{ MHz}$
	Flexing angle (deg, peak-to-peak)	$0.18 \times L_{\text{arm}}[\text{Mkm}] \text{ deg}$
5	Armlength breathing (km, peak-to-peak)	$7\,000 \times L_{\text{arm}}[\text{Mkm}] \text{ km}$
	Maximum Doppler shift (MHz)	$2 \times L_{\text{arm}}[\text{Mkm}] \text{ MHz}$
	Flexing angle (deg, peak-to-peak)	$0.33 \times L_{\text{arm}}[\text{Mkm}] \text{ deg}$
10	Armlength breathing (km, peak-to-peak)	$10\,000 \times L_{\text{arm}}[\text{Mkm}] \text{ km}$
	Maximum Doppler shift (MHz)	$4 \times L_{\text{arm}}[\text{Mkm}]$
	Flexing angle (deg, peak-to-peak)	$0.65 \times L_{\text{arm}}[\text{Mkm}] \text{ deg}$

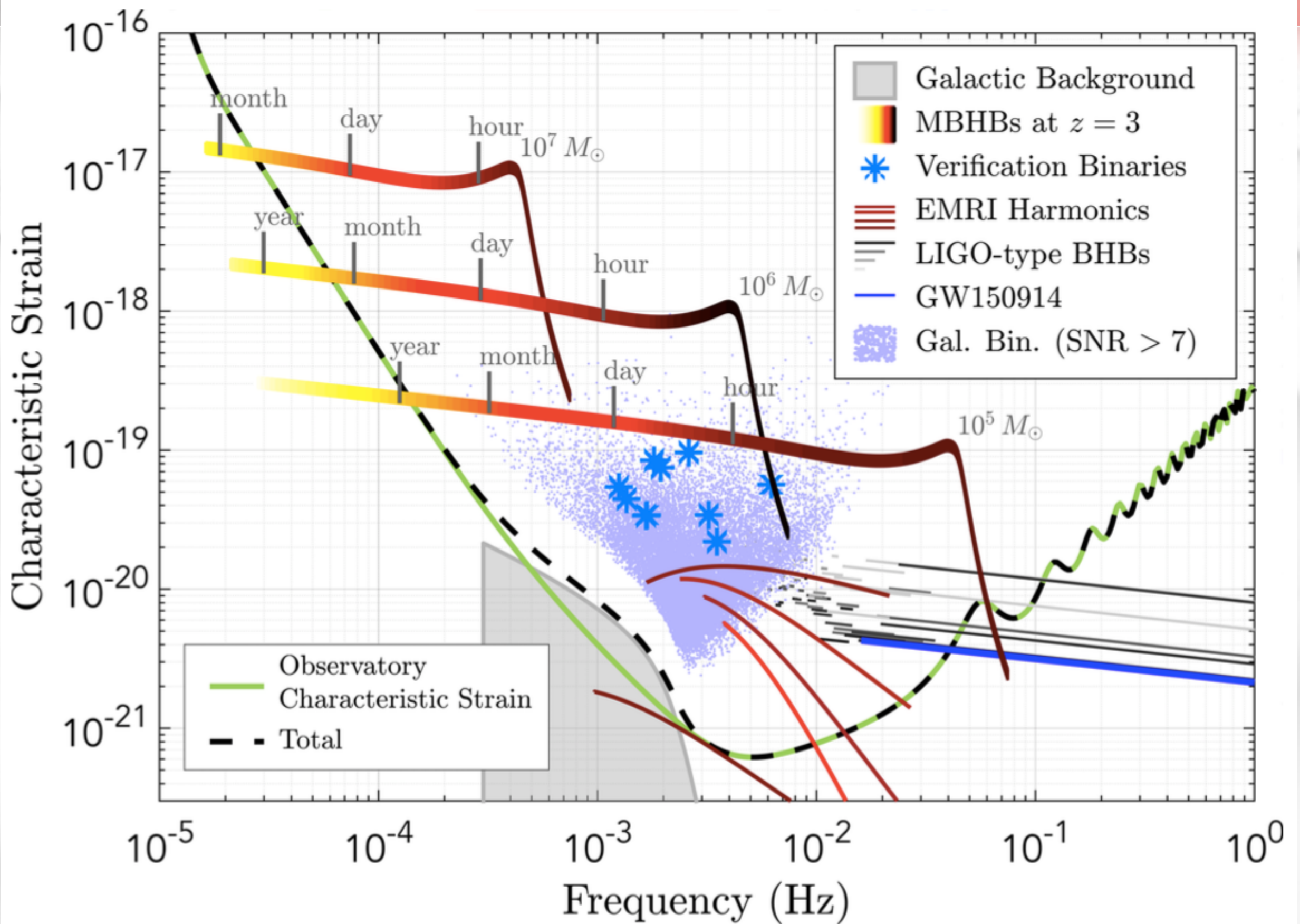
	L6A1M2D20	L6A1M2D30	L6A1M2D40	L6A1M5D20	L6A1M5D30	L6A1M5D40	L6A1M10D20	L6A1M10D30	L6A1M10D40	L6A2,5M2D20	L6A2,5M2D30	L6A2,5M2D40	L6A2,5M5D20	L6A2,5M5D30	L6A2,5M5D40	L6A2,5M10D20	L6A2,5M10D30	L6A2,5M10D40	L6A3M2D20	L6A3M2D30	L6A3M2D40	L6A3M5D20	L6A3M5D30	L6A3M5D40	L6A3M10D20	L6A3M10D30	L6A3M10D40	L6A5M2D20	L6A5M2D30	L6A5M2D40	L6A5M5D20	L6A5M5D30	L6A5M5D40	L6A5M10D20	L6A5M10D30	L6A5M10D40			
Max distance to Earth [Mkm]	65																																						
Number of laser links (4/6)	6	6	6	6	6	6	6	6	6	6	6	6	6	6	6	6	6	6	6	6	6	6	6	6	6	6	6	6	6	6	6	6	6	6	6	6	6		
Target armlength [Mkm]	1	1	1	1	1	1	1	1	1	2,5	2,5	2,5	2,5	2,5	2,5	2,5	2,5	2,5	2,5	3	3	3	3	3	3	3	3	3	5	5	5	5	5	5	5	5	5	5	
Mission Duration [Years]	2	2	2	5	5	5	10	10	10	2	2	2	5	5	5	10	10	10	2	2	2	5	5	5	10	10	10	2	2	2	5	5	5	10	10	10	2	2	2
Telescope diameter [cm]	20	30	40	20	30	40	20	30	40	20	30	40	20	30	40	20	30	40	20	30	40	20	30	40	20	30	40	20	30	40	20	30	40	20	30	40	20	30	40
Minimum laser power (W) - Constant metrology	1,64	0,32	0,10	1,64	0,32	0,10	1,64	0,32	0,10	10,27	2,03	0,64	10,27	2,03	0,64	10,27	2,03	0,64	14,80	2,92	0,92	14,80	2,92	0,92	14,80	2,92	0,92	41,10	8,12	2,57	41,10	8,12	2,57	41,10	8,12	2,57	41,10	8,12	2,57
Minimum laser power (W) - Constant strain	1,64	0,32	0,10	1,64	0,32	0,10	1,64	0,32	0,10	1,64	0,32	0,10	1,64	0,32	0,10	1,64	0,32	0,10	1,64	0,32	0,10	1,64	0,32	0,10	1,64	0,32	0,10	1,64	0,32	0,10	1,64	0,32	0,10	1,64	0,32	0,10	1,64	0,32	0,10
Maximum Doppler shift (MHz)	1,0	1,0	1,0	2,0	2,0	2,0	4,0	4,0	4,0	2,5	2,5	2,5	5,0	5,0	5,0	10,0	10,0	10,0	3,0	3,0	3,0	6,0	6,0	6,0	12,0	12,0	12,0	5,0	5,0	5,0	10,0	10,0	10,0	20,0	20,0	20,0	20,0	20,0	20,0
PAA Laser power (W) - Constant Metrology	1,7	0,3	0,1	1,7	0,3	0,1	1,7	0,3	0,1	12,1	2,9	1,2	12,1	2,9	1,2	12,1	2,9	1,2	18,6	4,9	2,3	18,6	4,9	2,3	18,6	4,9	2,3	78,0	34,3	33,3	78,0	34,3	33,3	78,0	34,3	33,3	78,0	34,3	33,3
PAA Laser power (W) - Constant strain	1,7	0,3	0,1	1,7	0,3	0,1	1,7	0,3	0,1	1,9	0,5	0,2	1,9	0,5	0,2	1,9	0,5	0,2	2,1	0,5	0,3	2,1	0,5	0,3	2,1	0,5	0,3	3,1	1,4	1,3	3,1	1,4	1,3	3,1	1,4	1,3	3,1	1,4	1,3



LISA Global Performance



LISA Strain Sensitivity



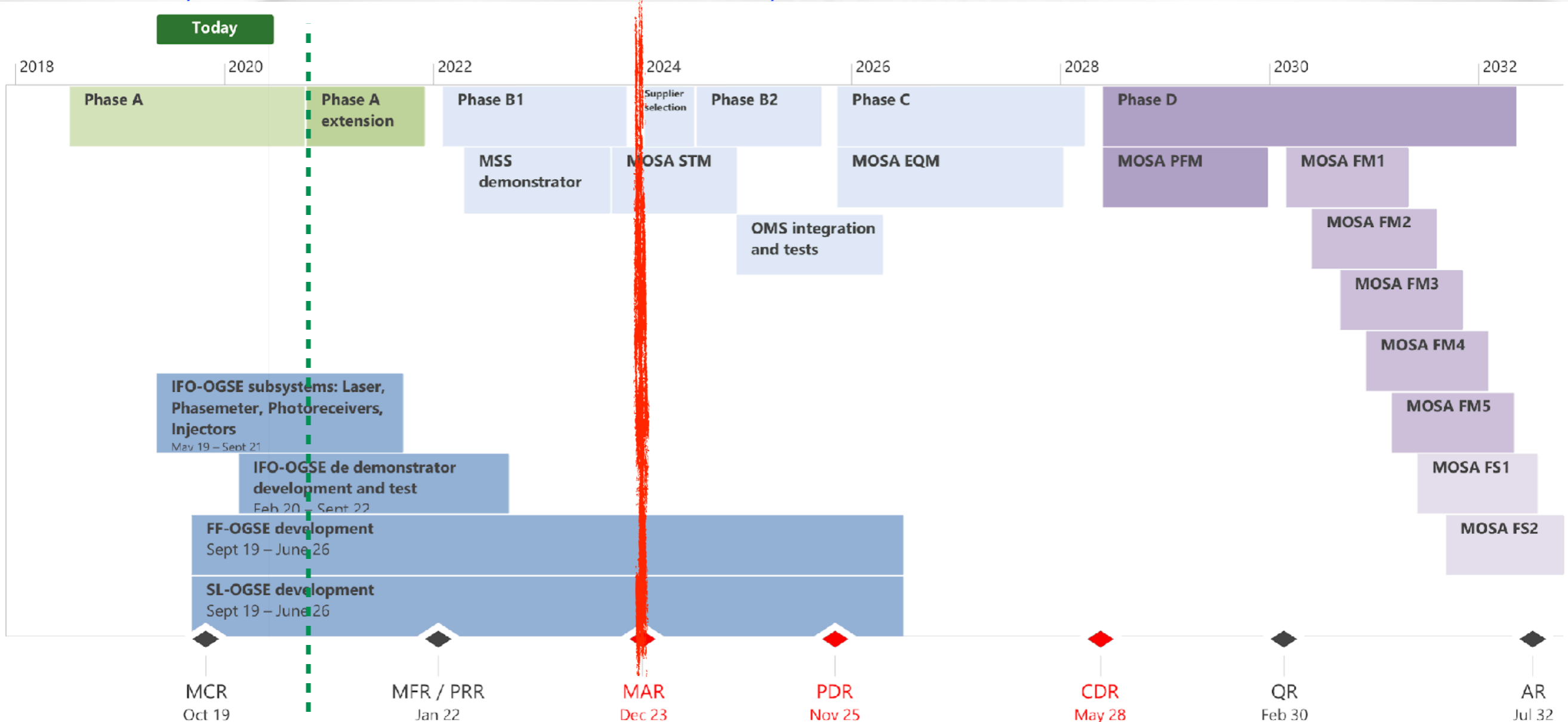


LISA France

L'organisation LISA

LISA development schedule

- 🚀 Major milestone : adoption end 2023 / early 2024
- 🚀 Launch : 2034/2035
- 🚀 In-flight operations : up to 12.5 years
 - 🚀 2.5 years cruise + commissioning
 - 🚀 6 years science mission, extendable to 10 years

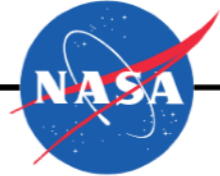


What contribution for France ?

Phase A



P/L
syst. engineering
& architect



Telescope

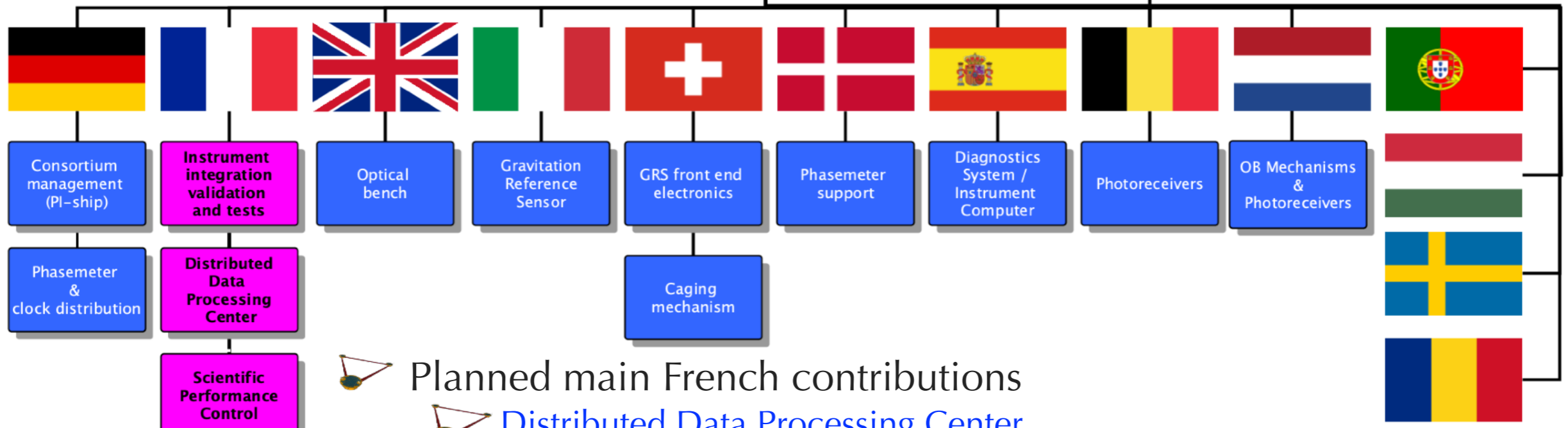
Charge
Management
System

Laser
system

Constellation
acquisition
sensor

MOSA
support
structure

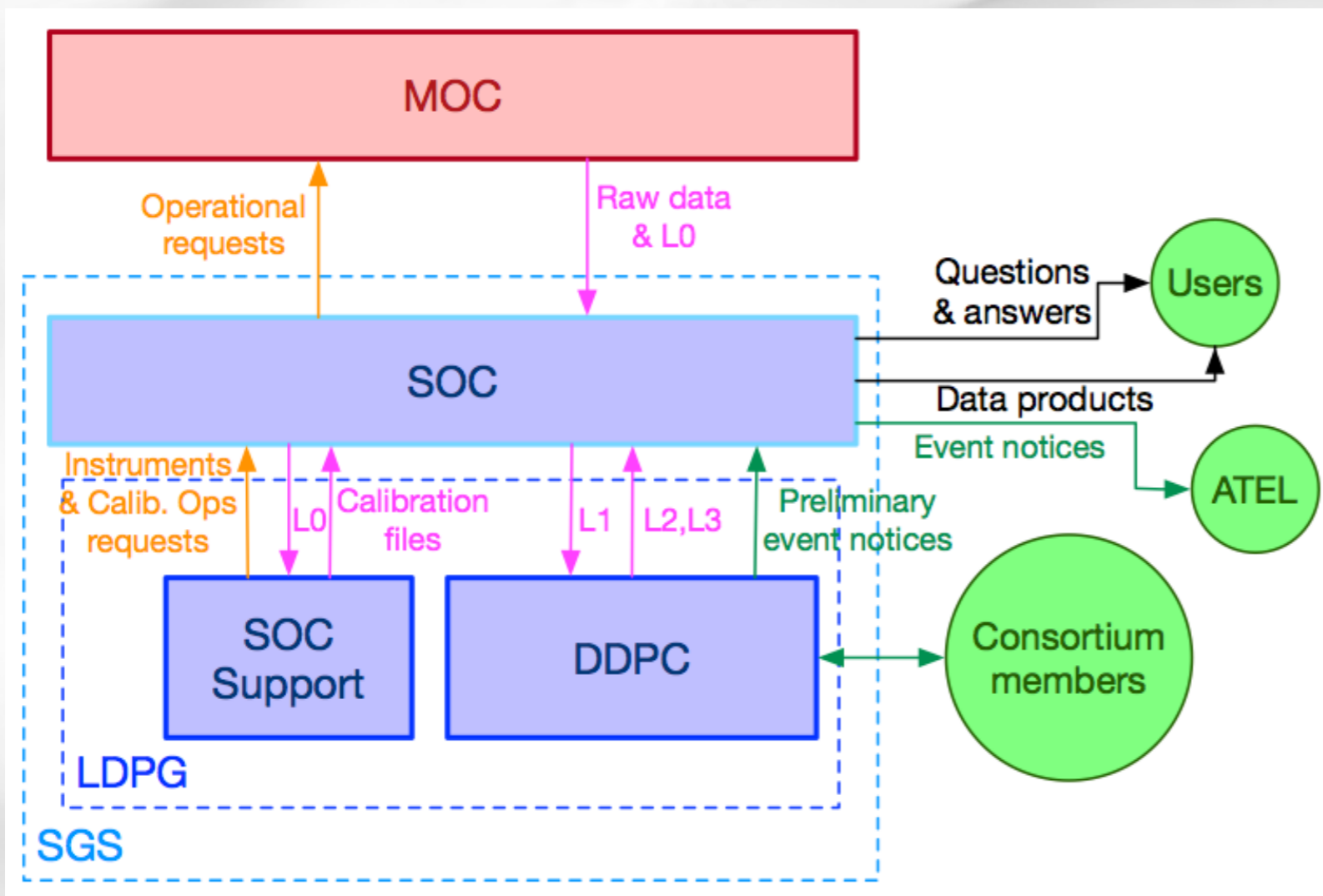
National Project Manager Board
System Engineering Office
Consortium Board



- Planned main French contributions
- Distributed Data Processing Center
- MOSA AIVT & Perf. Control

- Presently 19 laboratories / research institutes participate to the LISA France collaboration
 - @IN2P3 : APC, CPPM, L2IT, LPCC, LMA/IP2I, CC-IN2P3
 - @INSU : LAM, IAP, LPC2E
 - @INSIS : Institut Fresnel
 - @Obs de Paris / INSU : SYRTE, LUTh
 - @Obs. de la Côte d'Azur / INSIS : ARTEMIS
 - @CEA : IRFU (DEDIP, DIS, DPhN, DPhP, DAP), IPhT
 - @Obs Midi Pyrénées / INSU : IRAP
- CNES is managing and supporting the project activities with engineers and financial resources (incl. short-term contracts).
- Members from French institutes in the LISA Consortium (
 - 130 Full members
 - 63 FTEs
 - 1358 members in the LISA Consortium
 - 68 Associates

- 🌐 Development of a Distributed Data Processing Center for LISA
 - 🌐 Produces scientific L2&L3 data and supports ESA on L0 to L1 software
 - 🌐 Will implement, maintain and operate simulations and data analysis
 - 🌐 Supports the LISA community for SW and collaborative tools
 - 🌐 Prototype architecture based on virtualisation and continuous integration



docker



GitLab



jupyter



S

Scientific Performance Budget

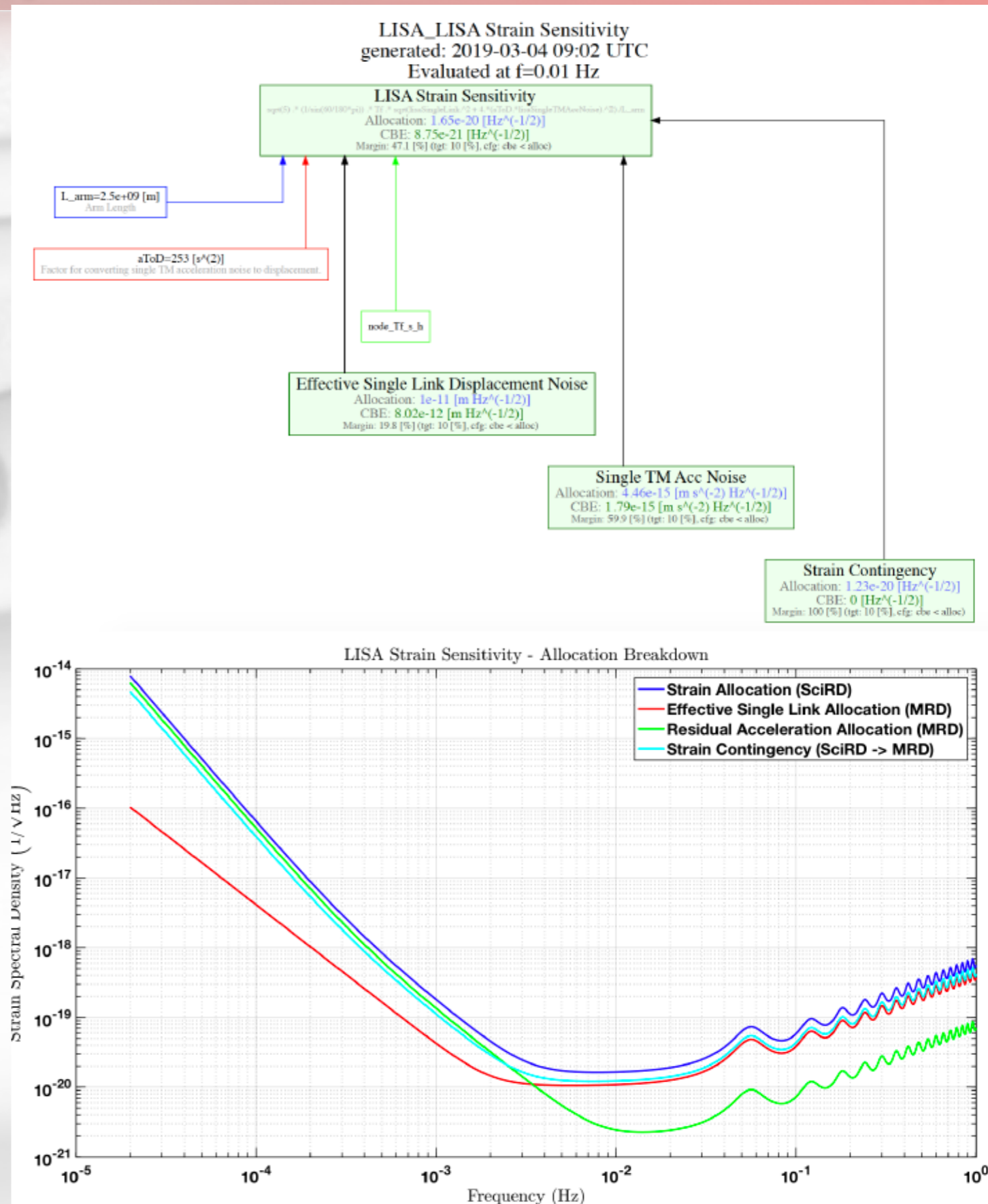
Objective : build a 'simplified', system-level, performance model

- Identify critical items
- Unified view of the system performance from science requirement to sub-systems level.
- Support the allocation breakdown for each sub-system
- Sensitivity analysis to support design trade-off

Different sources of information

- Specific or 'end-to-end' simulations
- Mathematical & physical models
- Lab experiments

Interface with all stakeholders – Consortium, Agencies, Industry.



LISA will be the first instrument of its kind

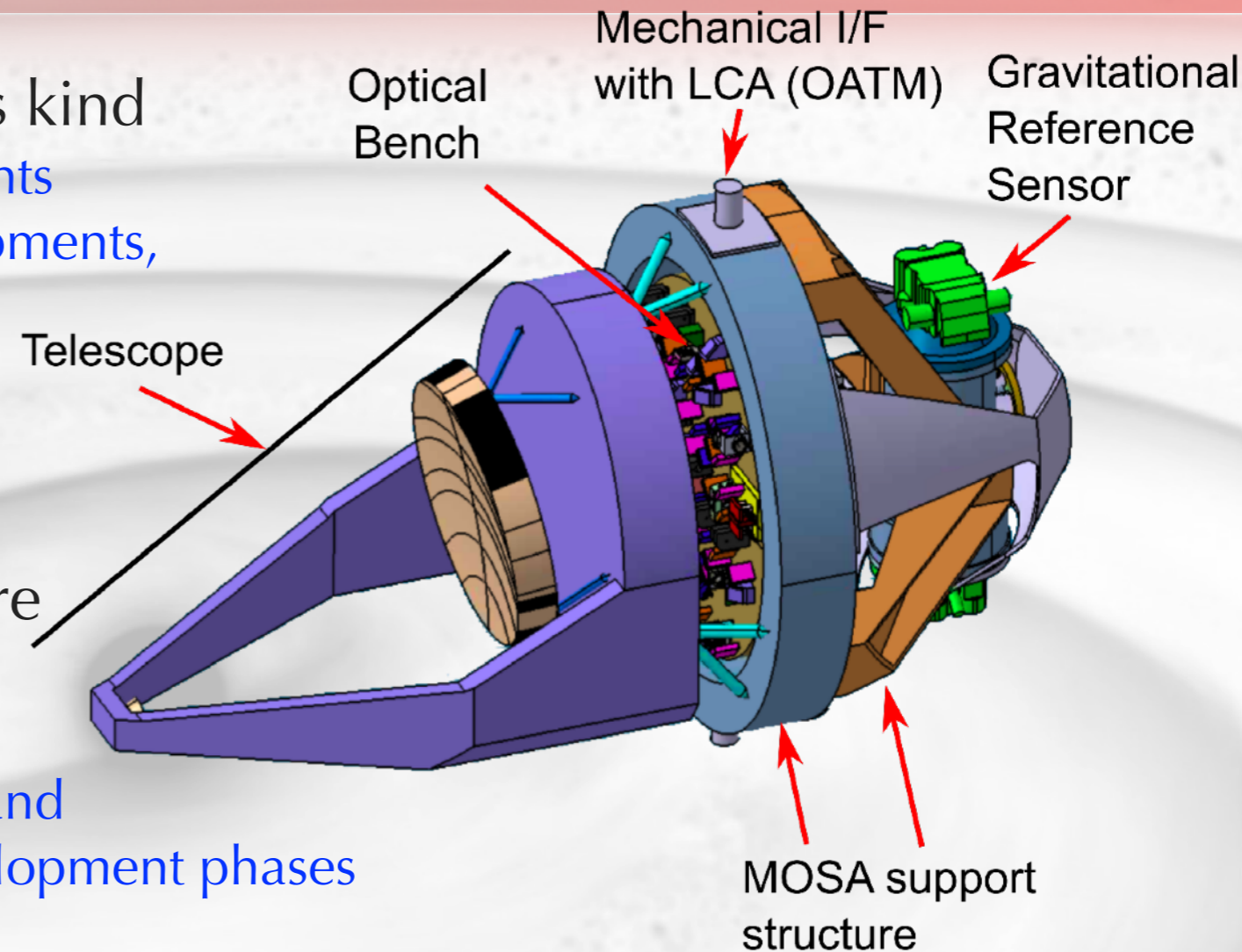
- Not a collection of separate instruments
- Combination of finely designed equipments, forming a Mkm-scale instrument

LISA science return depends on the in-depth performance characterisation of the metrology core

- Importance of the AIVT and scientific performance modelling
- Crucial activity giving high visibility and involvement in early instrument development phases

Integration and tests in close collaboration with industries

- 10 MOSAs to integrate and validate (1 STM, 1 EQM, 1 PFM, 5 FMs, 2 spares)
- Research institutes : development of optical metrology test benches and strong involvement in the EQM characterisation
 - Experience on MOSA testing transferred to industry with PFM
- Industries : integration procedures and semi-serialisation of FMs & spares AIVT
 - The research institutes still follow the process and interpret the measurements



Broad and continuous coverage, from instrument to GW science

AIVT / R&D

Performance

Data Processing

GW Science

